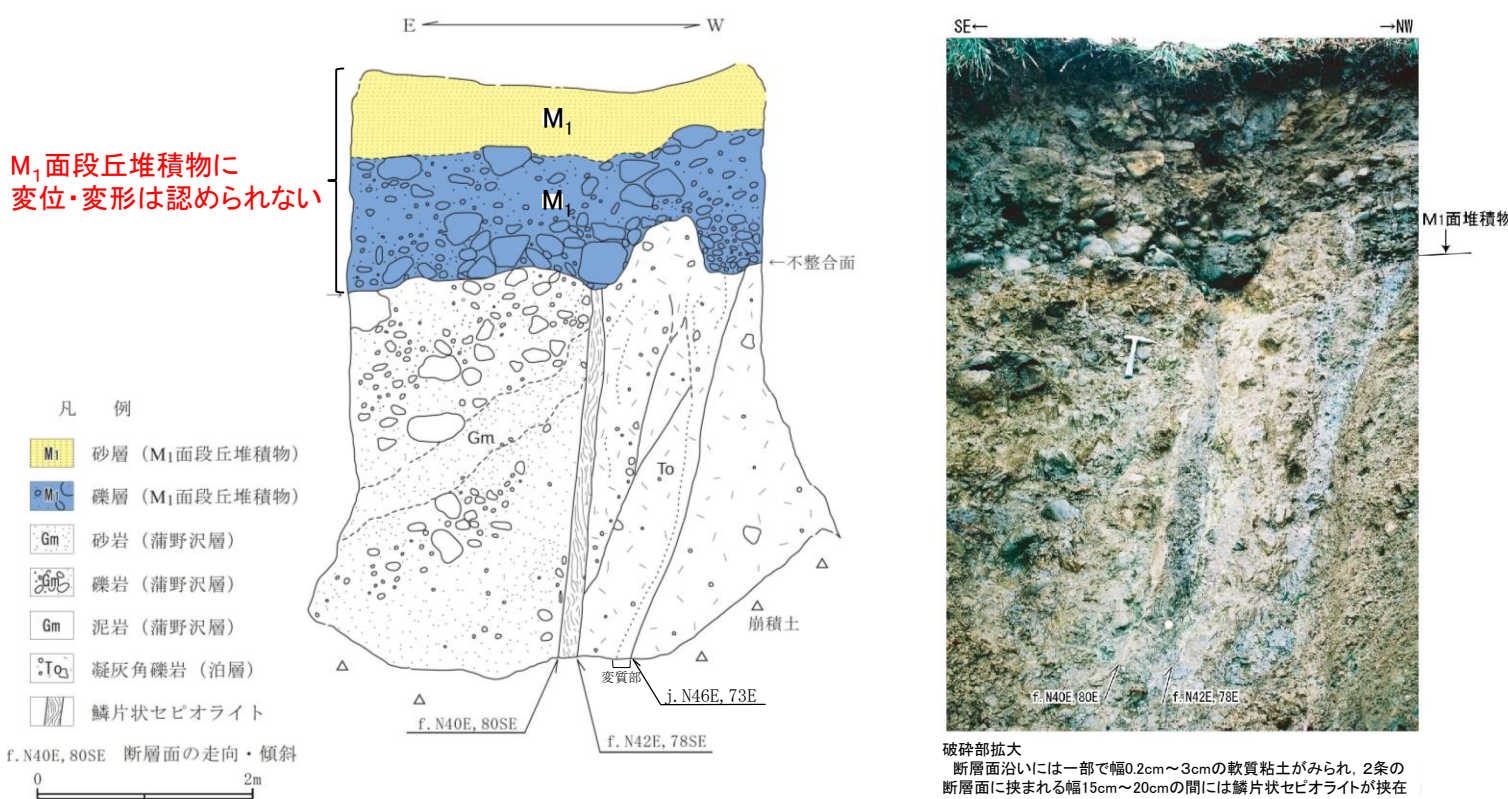
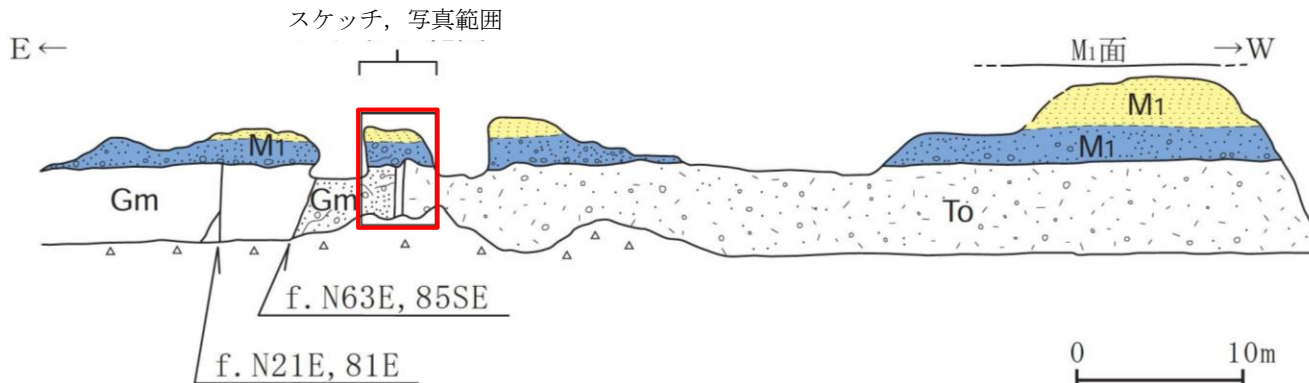
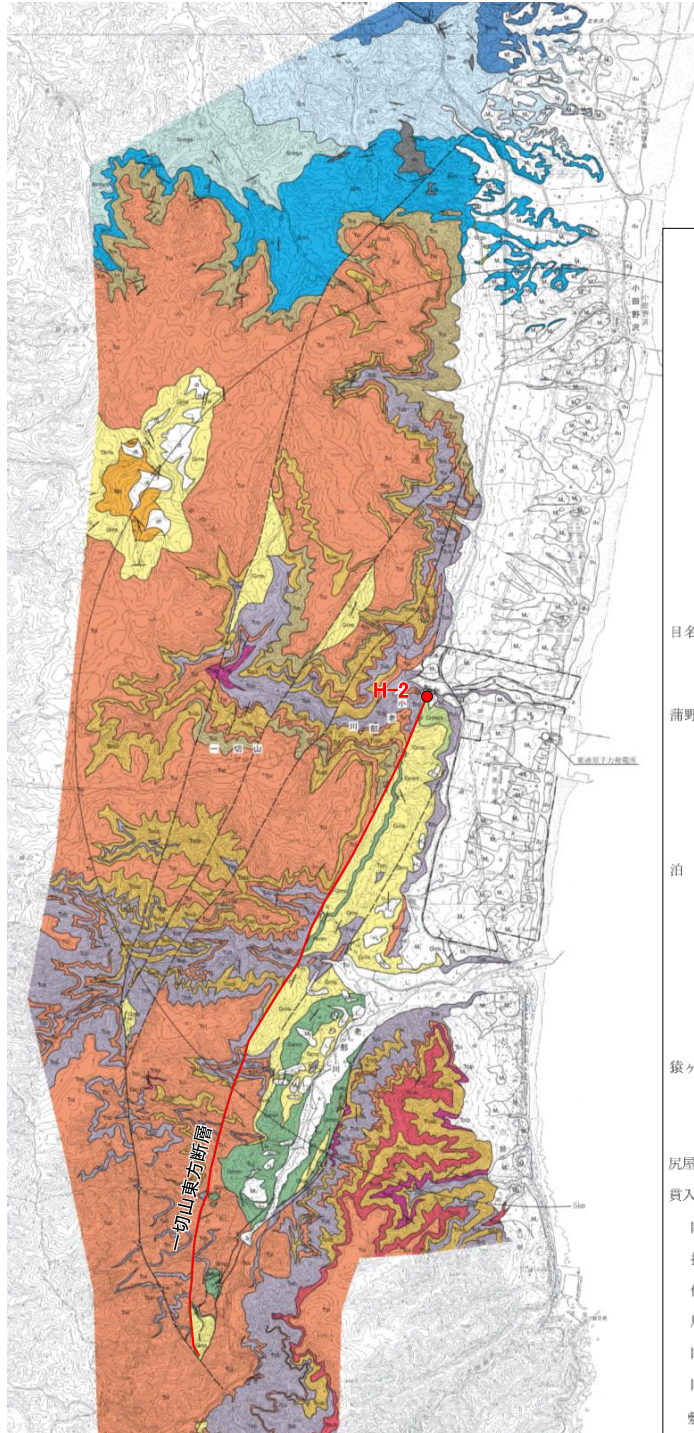


4. 一切山東方断層(F-1断層)の露頭・トレンチ調査結果

4. 一切山東方断層(F-1断層)の露頭・トレーニング調査結果

F-1断層(一切山東方断層)露頭調査結果(小老部川右岸 H-2地点)

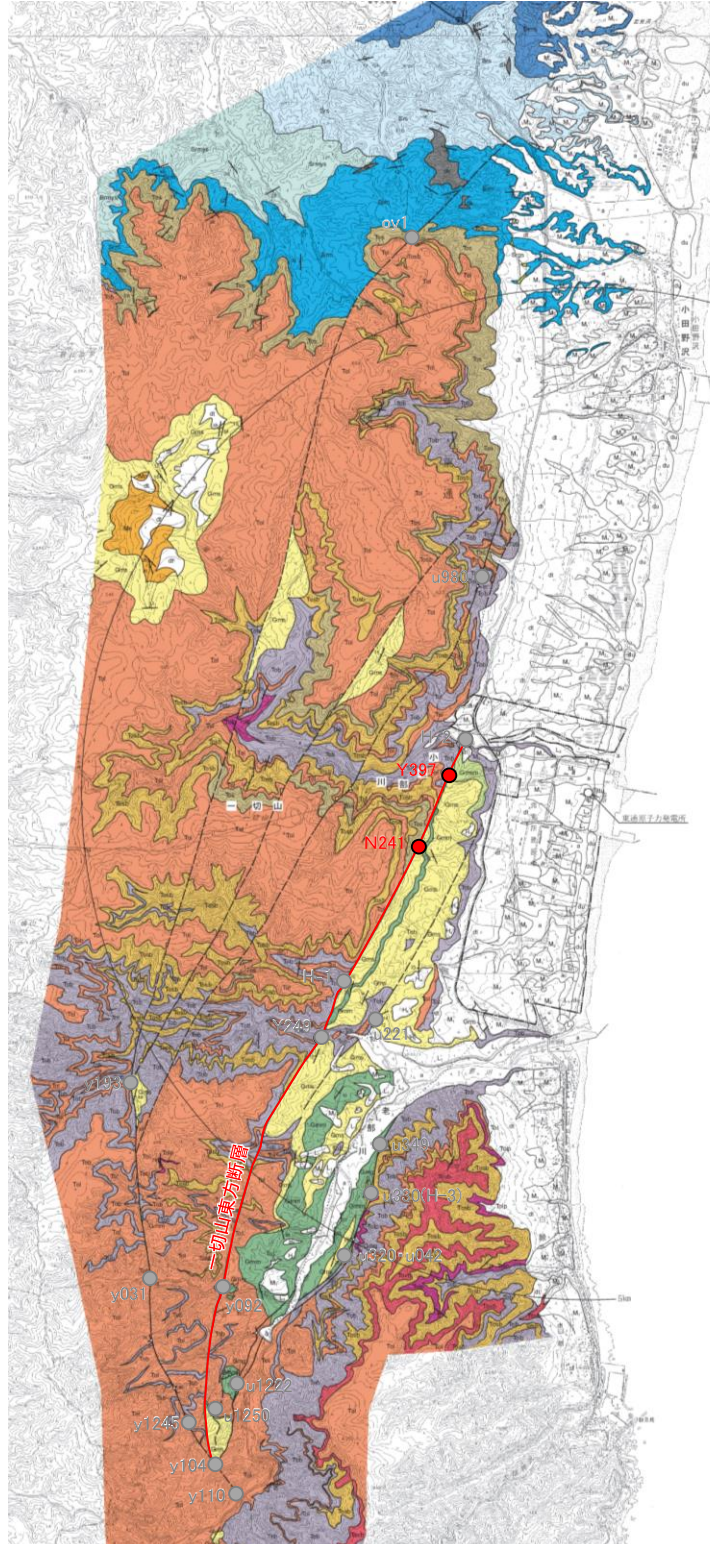
一切山東方断層(F-1断層)の小老部川右岸露頭(H-2地点)では、断層直上のM₁面段丘堆積物(MIS5e)に変位・変形は認められない。



F-1断層(一切山東方断層)露頭スケッチ、写真(小老部川右岸, H-2地点)

一切山東方断層(小老部川付近)

- 小老部川支流で確認された一切山東方断層(F-1断層)(Loc.Y397)は、断层面沿いに幅2mm～5mmの軟質粘土が見られるが、断层面は湾曲している。
- 小老部川南方で確認された一切山東方断層(F-1断層)(Loc.N241)は、断层面沿いに幅1mm～10mmの黄褐色砂質粘土が認められる。



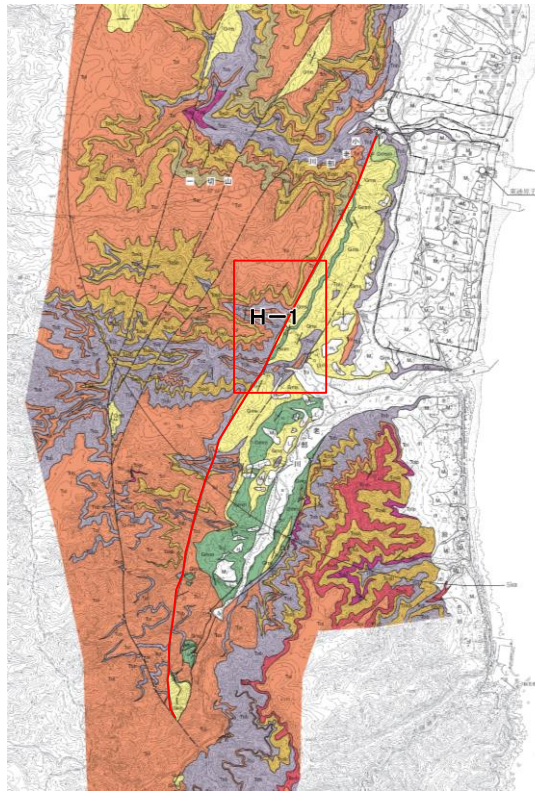
凡 例	
地層名	記号
新砂丘堆積物	du
沖積層	a
土礫状堆積物(時代未詳)	dt
L ₂ 面段丘堆積物	L ₂
L ₁ 面段丘堆積物	L ₁
M ₂ 面段丘堆積物	M ₂
M ₁ 面段丘堆積物	M ₁
M ₁ 面段丘堆積物	M ₁
H ₅ 面段丘堆積物	H ₅
H ₄ 面段丘堆積物	H ₄
軽石質砂岩層	Mn
蒲野沢層	Gmm Gms Gmsm Gmg Tol Tovb Tosb Tolv Tob Tos Tog Srm Srgs Srmys Srs Srms Sy dk
泊層	泥岩層 砂岩層 砂質泥岩層 礫岩層 安山岩質溶岩層 火山角礫岩層 砂質凝灰角礫岩層 火山礫凝灰岩層 凝灰角礫岩層 凝灰質砂岩層 凝灰質礫岩層*
猿ヶ森層	泥岩層 礫質砂岩層 泥質礫岩層 砂岩層 砂質泥岩互層 砂岩層 砂質泥岩互層 砂岩層 泥岩層 泥質礫岩層 砂岩層 砂質泥岩互層 砂岩層 泥岩層 泥質礫岩層 砂岩層 砂質泥岩互層
尻屋層群	
貸入岩	
断層	
推定断層	
伏在断層	
層理面の走向・傾斜	
断层面の走向・傾斜	
断面線	
敷地境界	



4. 一切山東方断層(F-1断層)の露頭・トレーニング調査結果

露頭調査結果(李沢H-1地点①)

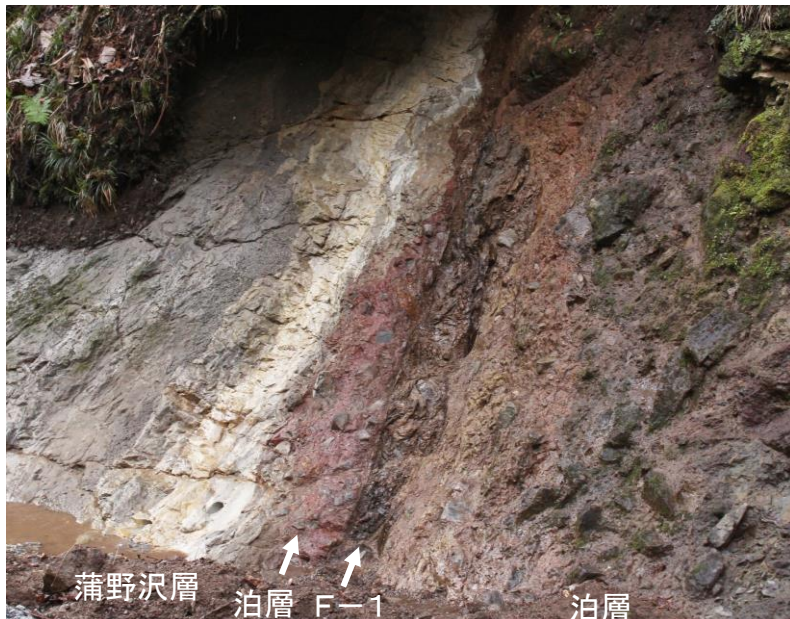
H28.12.1,2現地調査で確認



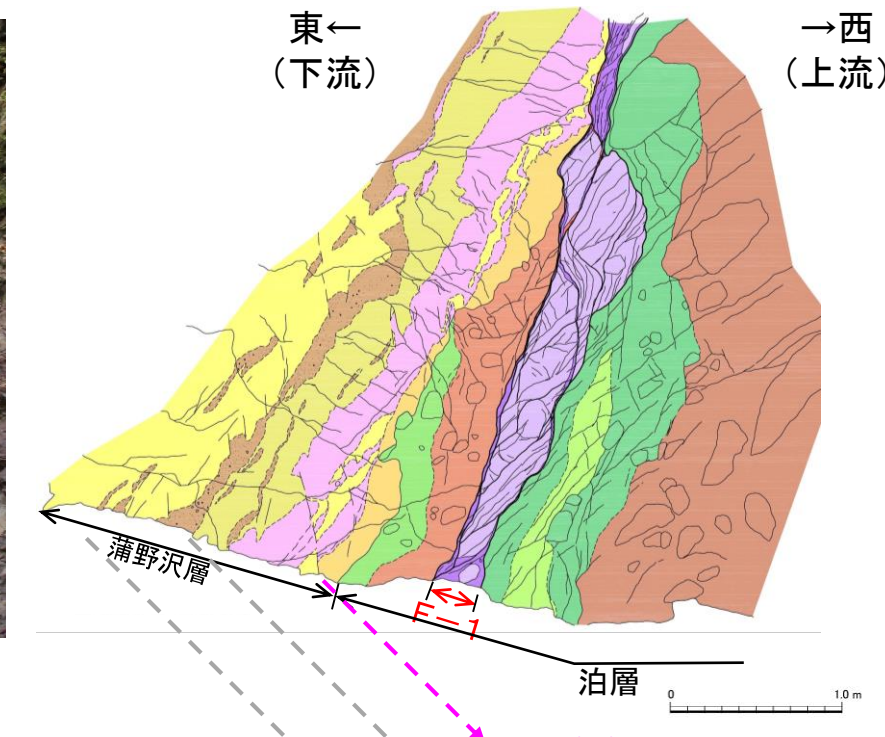
露頭位置図

凡 例	
地層名	記号
新砂丘堆積物	du
沖積層	a
土成堆積物	dt
L ₂ 面段丘堆積物	L ₂
L ₁ 面段丘堆積物	L ₁
M ₂ 面段丘堆積物	M ₂
M ₁ 面段丘堆積物	M ₁
H ₅ 面段丘堆積物	H ₅
H ₄ 面段丘堆積物	H ₄
軽石質砂岩層	Mn
泥岩層	Gmm
砂岩層	Gm
砂質泥岩層	Gmsm
礫岩層	Gmg
安山岩質溶岩層	Tol
火山角礫岩層	Tovb
砂質凝灰角礫岩層	Tob
火山凝灰角礫岩層	Tobp
凝灰角礫岩層	Tos
凝灰質砂岩層	Tog
凝灰質岩屑岩層*	Srm
泥岩層	Srgs
礫質砂岩層	Srms
泥質砂岩層互層	Srmsy
砂岩層	Srs
砂岩泥岩互層	Srmsa
尻屋層群	Sy
貫入岩	
断層	
推定断層	
伏佐断層	
層理面の走向・傾斜	
断層面の走向・傾斜	
断面線	
敷地境界	

- 老部川李沢で確認された断層露頭(H-1)は、破碎幅15cm～45cmで膨縮が著しく、風化により割れ目が顕在化し、全体に固結している。また、正断層センスの地層の変形が見られる。
- 断層破碎部は、葉片状粘土、葉片状部及び弱破碎部に区分される。
- 葉片状粘土は、全体にセピオライト化しており、幅0.5cm～2cmで軟質であるが、コアドリル調査により下方に連続しないことを確認したことから、葉片状粘土は、地表付近に限定される。



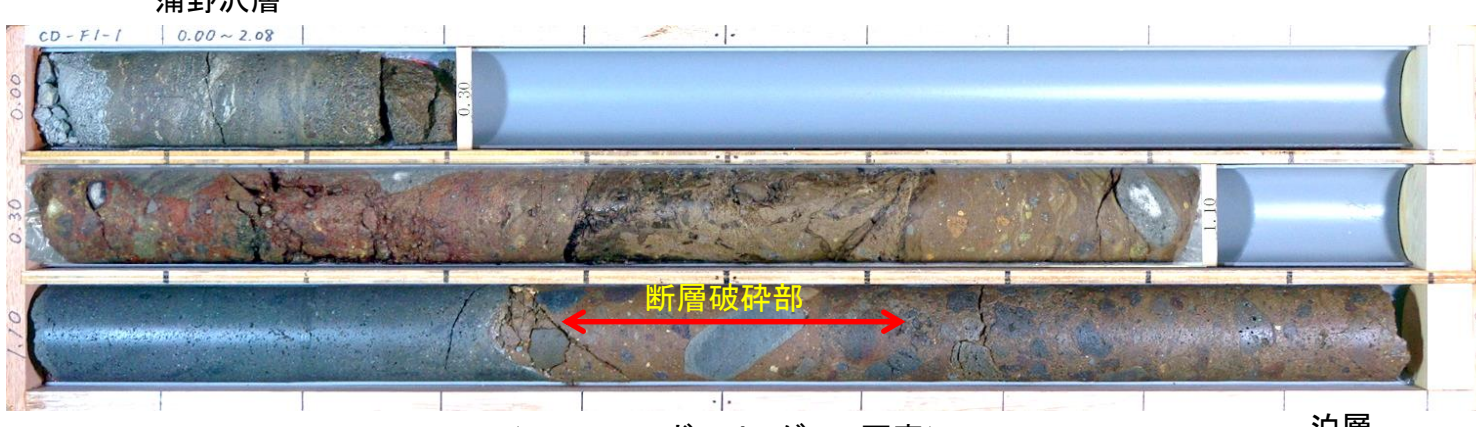
一切山東方断層(F-1断層)の露頭写真(Loc.H-1)



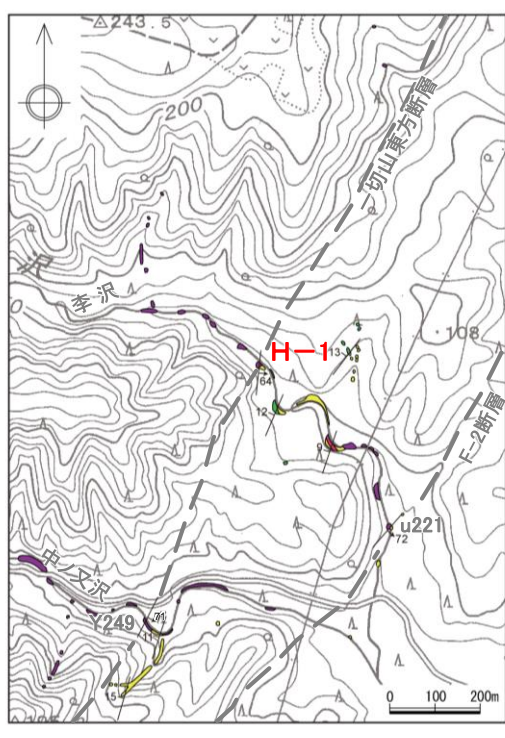
凡 例

断層	葉片状粘土:葉片状破碎部の風化部
	葉片状破碎部:セピオライト
	弱破碎部:砂質シルト岩状、安山岩塊含む
蒲野沢層	礫岩:径2cm以下の円礫主体
	凝灰質砂岩:細粒、凝灰岩より漸移
	凝灰岩:灰白色、細粒
	細粒砂岩:礫岩、粗粒砂岩をレンズ状に挟む
	含軽石細粒砂岩:径1cm以下の軽石が点在
泊層	火山礫基凝灰岩:基質が赤色を呈する
	赤色自凝碎溶岩:基質が赤色を呈する
	凝灰角礫岩:垂円礫を主体
	凝灰岩:少量の安山岩塊を含む
	安山岩熔岩:上流側で塊状となる

一切山東方断層(F-1断層)のスケッチ(Loc.H-1)



<CD-F1-1:ボーリングコア写真>



李沢付近のルートマップ

蒲野沢層泥岩	
蒲野沢層砂岩	
蒲野沢層凝灰岩	
泊層	

凡 例
層理面の走向傾斜
断層面の走向傾斜

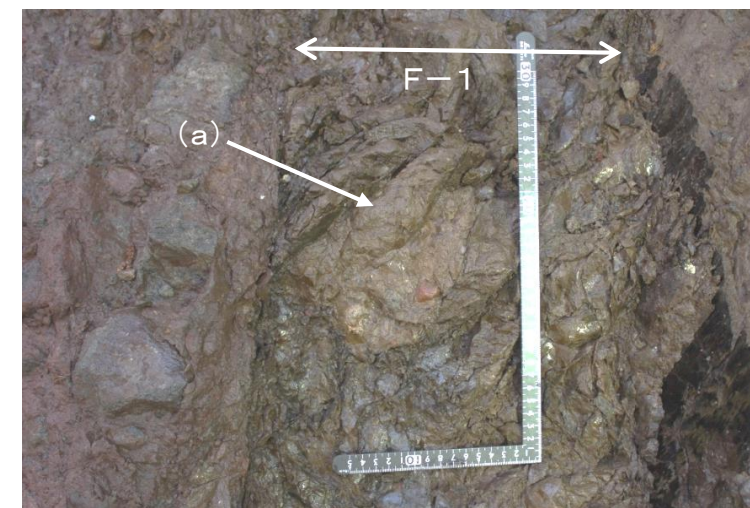
4. 一切山東方断層(F-1断層)の露頭・トレーニング調査結果

露頭調査結果(李沢H-1地点②)

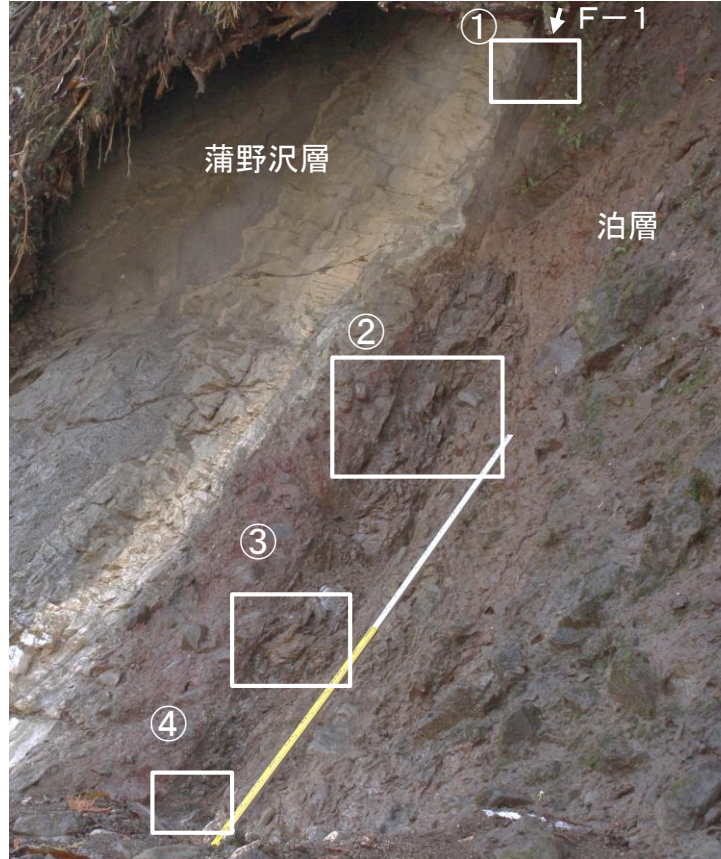
➤ 一切山東方断層(F-1断層)の破碎部は、風化の影響により鏡肌に沿って分離するものの全体に固結している。



①露頭上方で幅の狭くなる箇所の葉片状破碎部。全体にセピオライト化が進行し、硬質な葉片を主体とする。一部軟質化するが、下方に連続せず風化によるものと判断される。



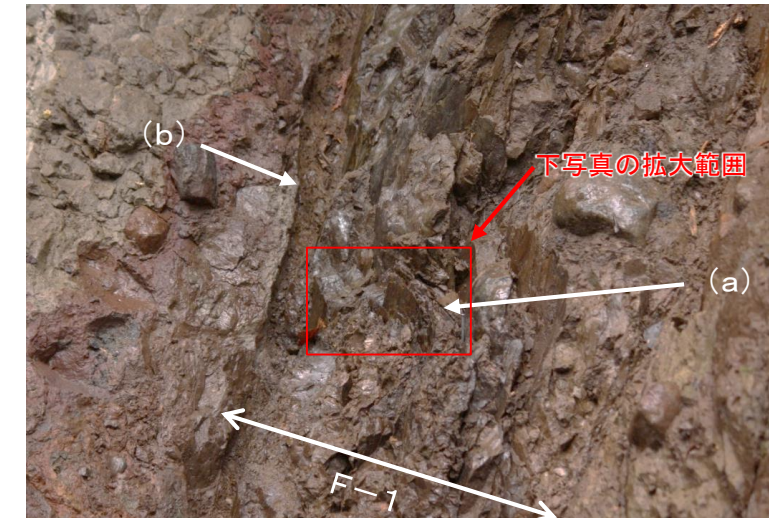
③弱破碎部は、割れ目に沿ってのみセピオライトが付着し、ブロック状にセピオライト化していない部分(a)を主とする。



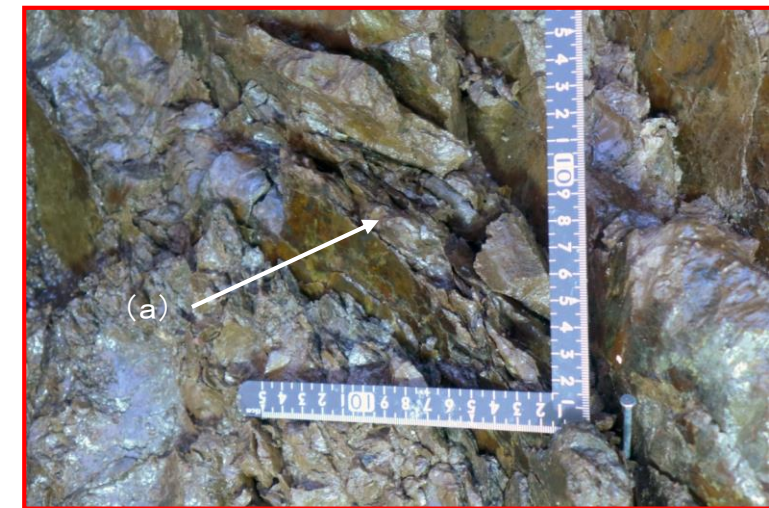
一切山東方断層(F-1断層)の全景写真(Loc.H-1)



④葉片状破碎部にはセピオライトが見られ、全体に硬質であり粘土状部は認められない。セピオライトの表面には縦方向の条線が認められる。



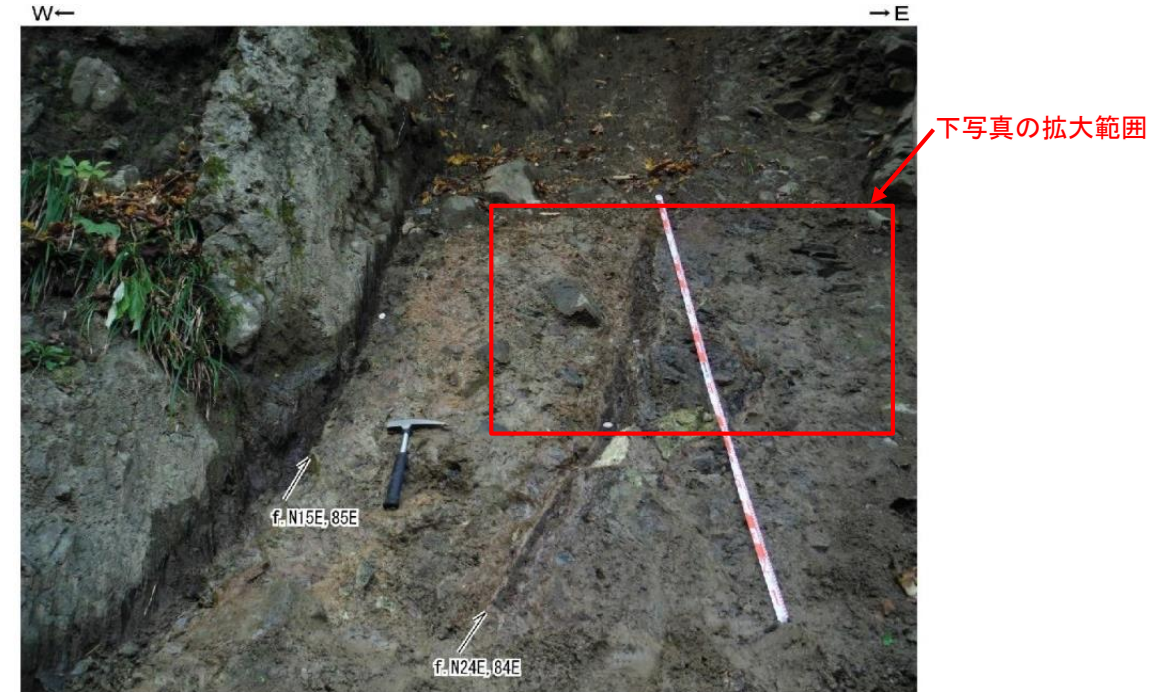
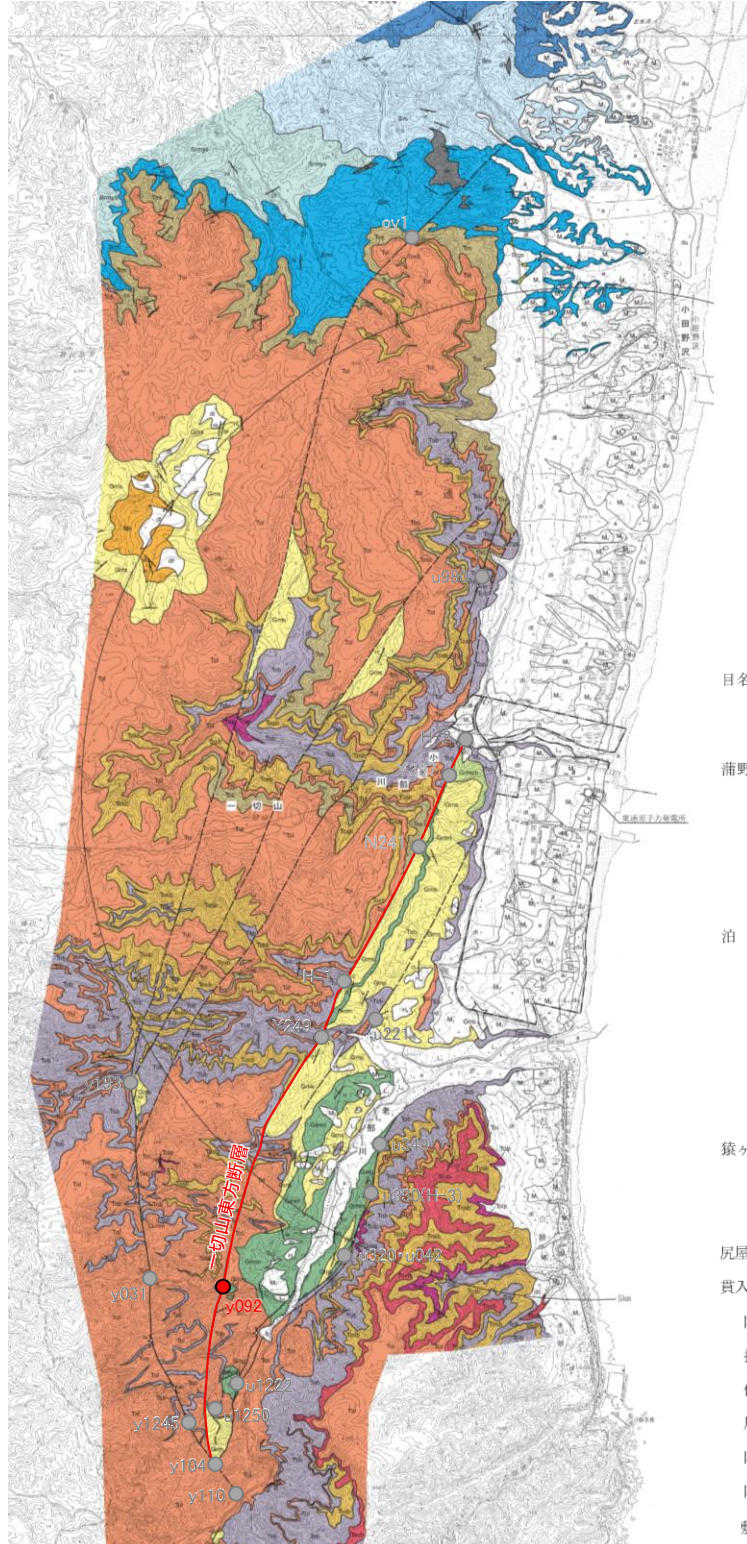
②葉片状破碎部では、湾曲した構造が認められ(a)全体的に硬質である。幅の狭い軟質部も認められるが(b), 下方で消滅することから、風化により軟質化したものと判断される。



葉片状の岩片の表面にはセピオライトが認められる。葉片自体は硬質で、内部までセピオライトに置換される箇所(a)がある。

一切山東方断層(中ノ又沢南方)

▶ 中ノ又沢南方で確認される一切山東方断層(F-1断層)は、セピオライトを伴い固結した破碎部が認められる。



4. 一切山東方断層(F-1断層)の露頭・トレーニング調査結果

H-7断層:T7トレーニチ(北東面)

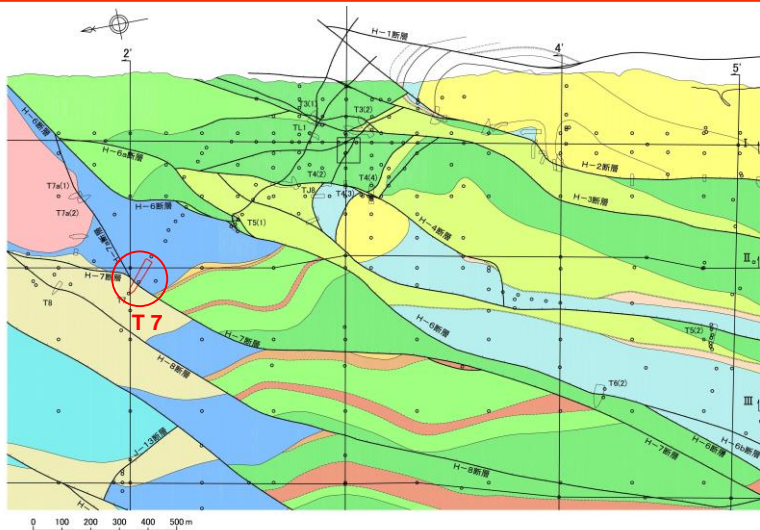
新規

第643回審査会合(H30.10.19)
資料2-1 p6-26 再掲

4-7

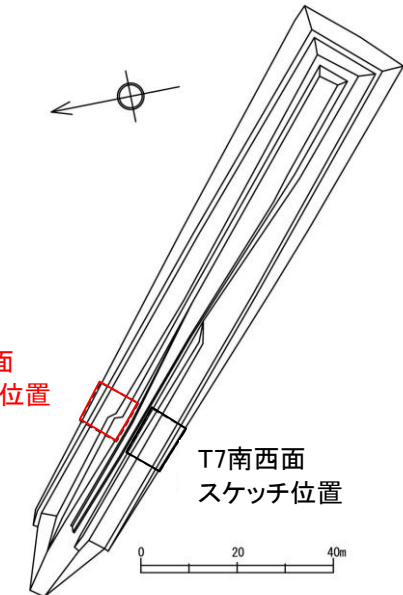
H28.12.1,2現地調査で確認

T7: 東北電力調査



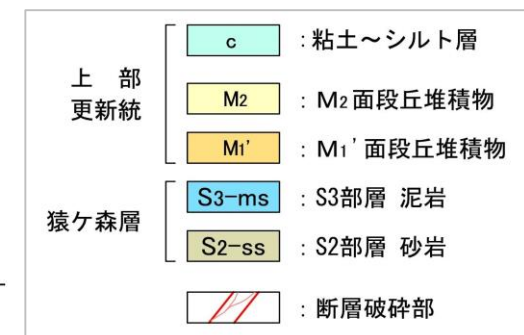
蒲野沢層	泊層	猿ヶ森層	貫入岩
:G ₁ 部層(砂岩、シルト岩)	:T ₁ 部層(軽石質火山礫凝灰岩主体)	:S ₁ 部層(泥岩、砂岩、礫岩等)	:玄武岩
:G ₂ 部層(砂岩主体)	:T ₂ 部層(凝灰角礫岩、火山礫凝灰岩)	:S ₂ 部層(砂岩、礫岩)	
:G ₃ 部層(砂岩主体)	:T ₃ 部層(凝灰岩主体)	:S ₃ 部層(泥岩)	
:G ₄ 部層(泥岩主体)	:T ₄ 部層(安山岩溶岩)	:S ₄ 部層(泥岩)	
:G ₅ 部層(砂岩、礫岩等)	:T ₅ 部層(礫岩)	:S ₅ 部層(泥岩)	
	:T ₆ 部層(礫岩、砂岩)		

T7トレーニチ位置図(東京電力HD(株)敷地地質構造図) 東京電力HD(株)資料
NW←



スケッチ位置図

- T7トレーニチ北東面のH-7断層は、猿ヶ森層S2部層(砂岩)と猿ヶ森層S3部層(泥岩)の境界に位置し、これを被覆するM₁'面段丘堆積物(MIS5e), M₂面段丘堆積物(MIS5c)に変位・変形は認められない。
- H-7断層付近の岩盤上面は、下盤側の猿ヶ森層S2部層が上盤側の猿ヶ森層S3部層に比較して高くなり、段差が認められるが、直上のM₁'面段丘堆積物が段差に対してアバットしており、段差部にせん断面が認められない。また、第四系に変位・変形が認められない。
- 段差は、下盤側の砂岩層が上盤側の泥岩層に比較して堅硬なため、差別侵食により形成された不陸であると判断される。
- H-7断層は、直上のM₁'面段丘堆積物(MIS5e)に変位・変形を与えていないことから、後期更新世以降の活動はないと判断される。



NW← 小段 →SE

猿ヶ森層 小段

4. 一切山東方断層(F-1断層)の露頭・トレーニング調査結果

H-7断層:T7トレーニチ(南西面)

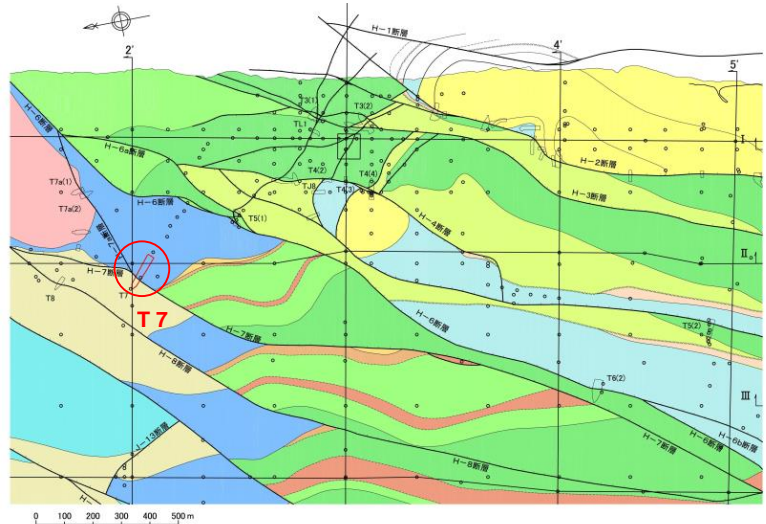
新規

第643回審査会合(H30.10.19)
資料2-1 p6-27 再掲

4-8

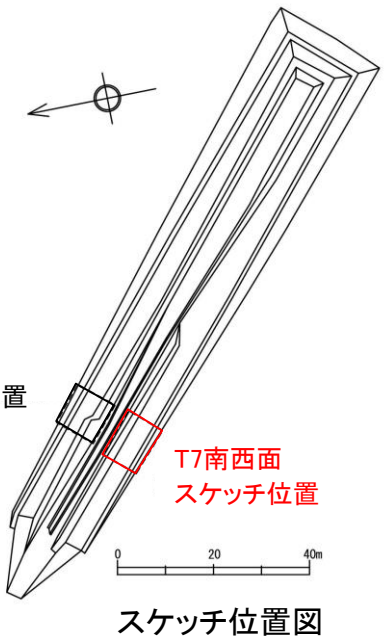
H28.12.1,2現地調査で確認

T7:東北電力調査



蒲野沢層	泊層	猿ヶ森層	貫入岩
:G ₁ 部層(砂岩、シルト岩)	:T ₁ 部層(軽石質火山礫凝灰岩主体)	:S ₁ 部層(泥岩、砂岩、礫岩等)	:玄武岩
:G ₂ 部層(砂岩主体)	:T ₂ 部層(凝灰角礫岩、火山礫凝灰岩)	:S ₂ 部層(砂岩、礫岩)	
:G ₃ 部層(砂岩主体)	:T ₃ 部層(礫質凝灰岩)	:S ₃ 部層(泥岩)	
:G ₄ 部層(泥岩主体)	:T ₄ 部層(凝灰岩主体)		
:G ₅ 部層(砂岩、礫岩等)	:T ₅ 部層(安山岩溶岩)		
	:T ₆ 部層(礫岩)		
	:T ₇ 部層(礫岩、砂岩)		

T7トレーニチ位置図(東京電力HD(株)敷地地質構造図) 東京電力HD(株)資料

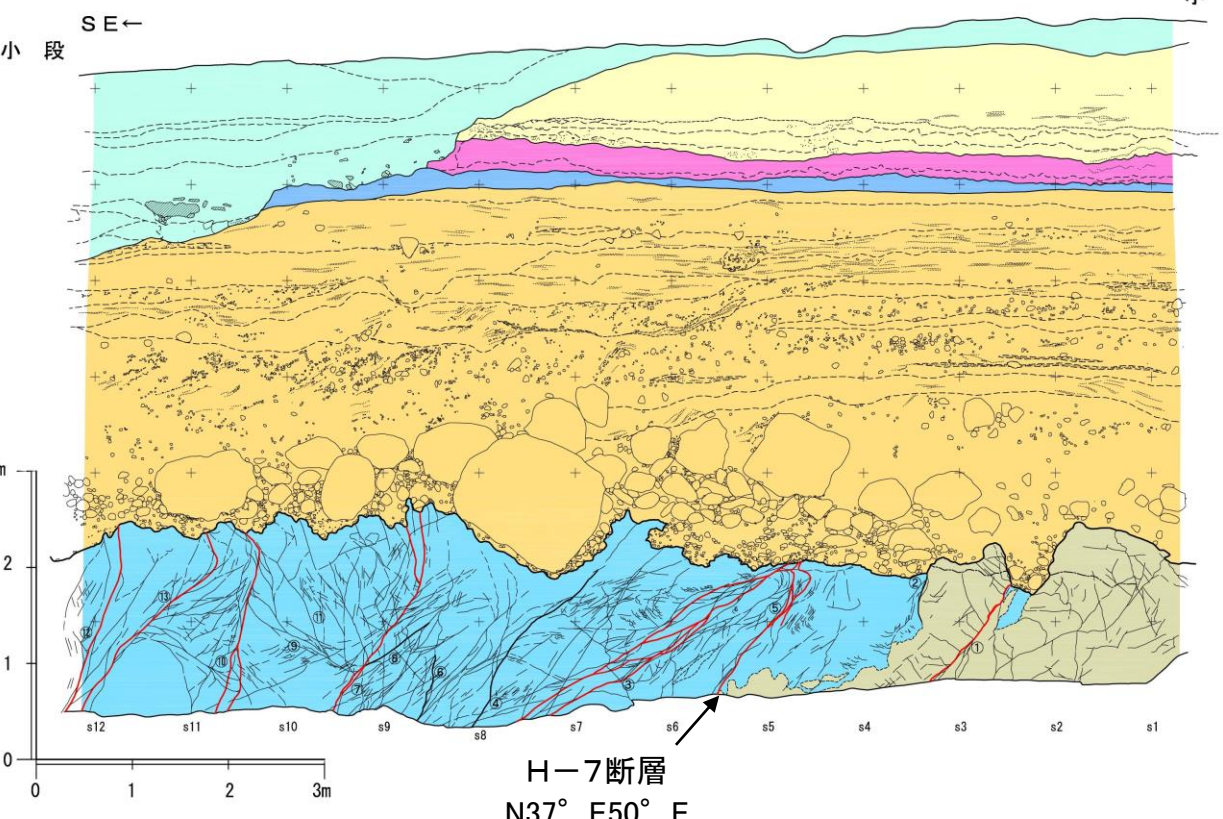


スケッチ位置図

➤ T7トレーニチ南西面のH-7断層は、猿ヶ森層S2部層(砂岩)と猿ヶ森層S3部層(泥岩)の境界に位置し、これを被覆するM_{1'}面段丘堆積物(MIS5e), 粘土層, 洞爺火山灰層, M₂面段丘堆積物(MIS5c)に変位・変形は認められないことから、後期更新世以降の活動はないと判断される。

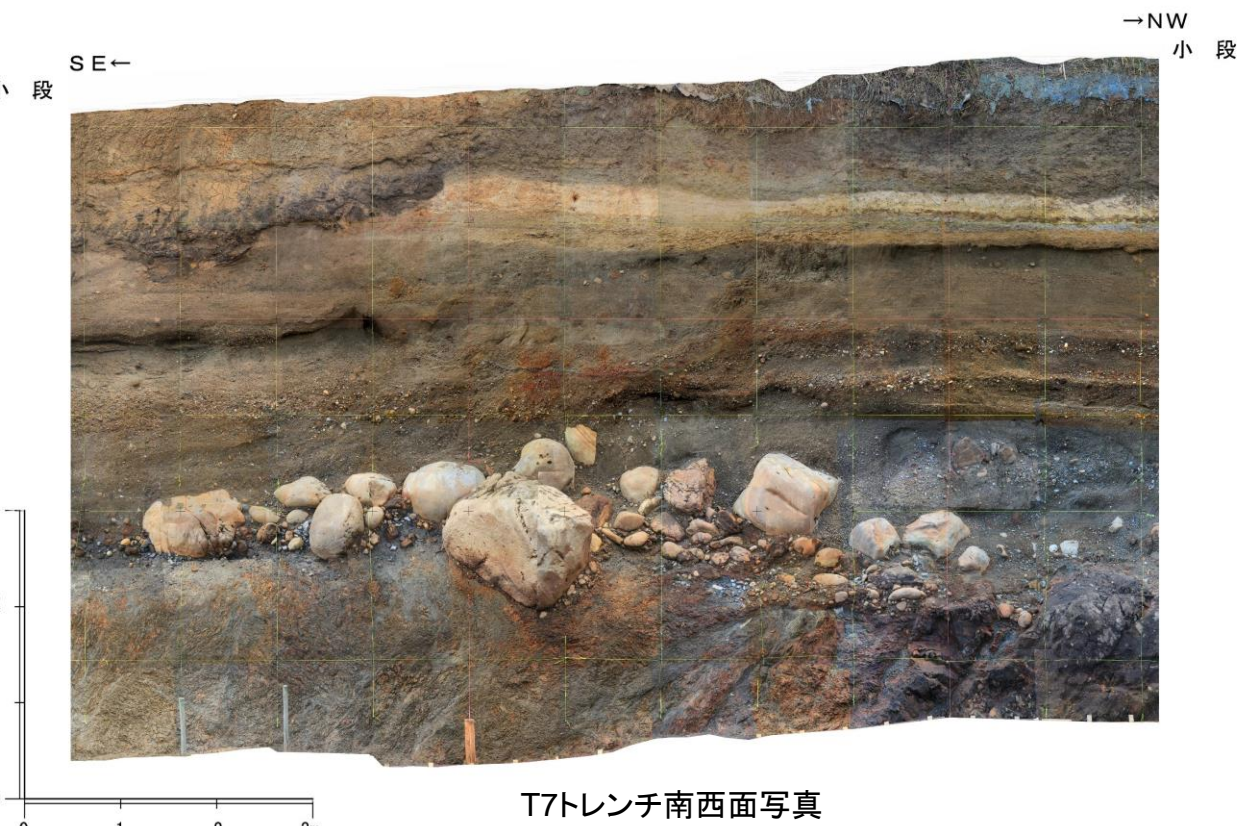
上部 更新統	c : 粘土～シルト層
	c : 粘土～シルト層
	M ₂ : M ₂ 面段丘堆積物
	M _{1'} : M _{1'} 面段丘堆積物
示標 火山灰	Toya : 洞爺火山灰層
猿ヶ森層	S _{3-ms} : S ₃ 部層 泥岩
	S _{2-ss} : S ₂ 部層 砂岩
	/ / : 断層破碎部

→ NW 小段



T7トレーニチ南西面スケッチ(H28調査)

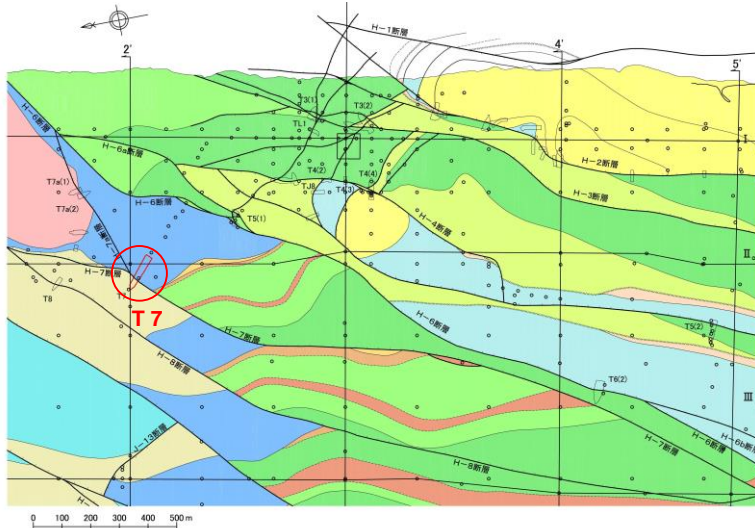
より、そう、ちから。
東北電力



T7トレーニチ南西面写真

T7: 東京電力(2010)

H-7断層のT7トレンチ北東面既往写真, スケッチ



T7北東面
スケッチ位置



スケッチ位置図

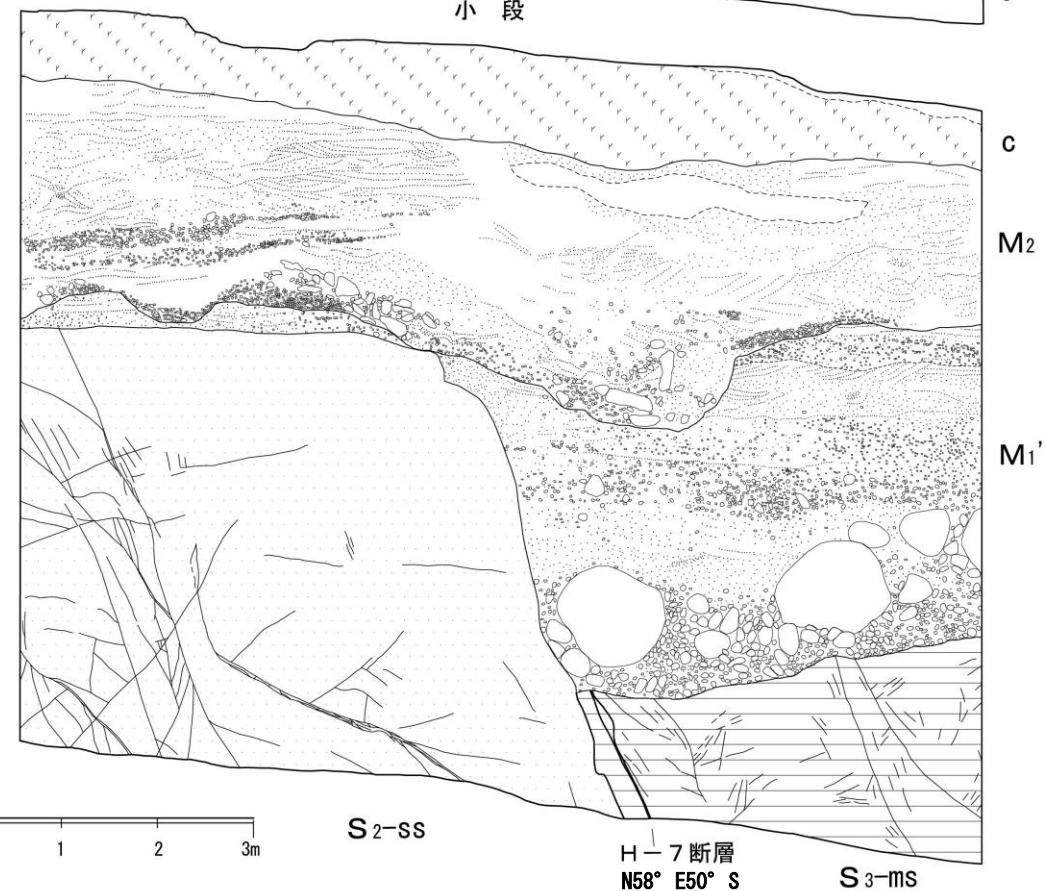
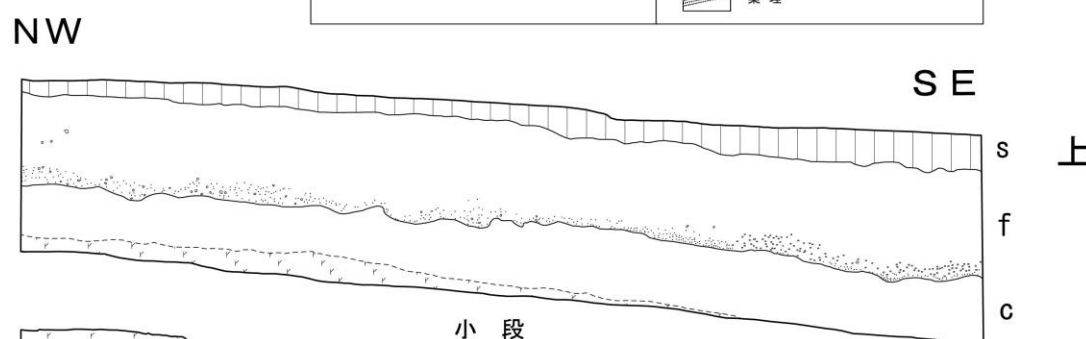
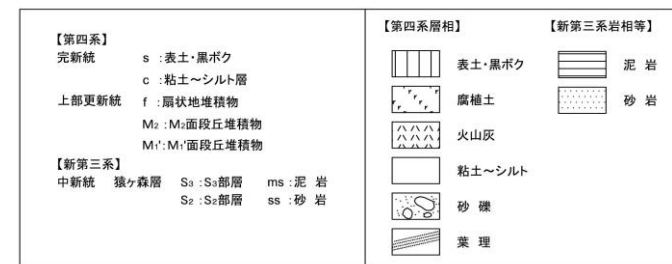
▶ 敷地のF-1断層の北方延長にあたる東京電力HD(株)敷地のT7トレーニング北東面のH-7断層は、直上のM₁'面段丘堆積物に変位・変形を与えていないことが確認されている。

蒲野沢層	泊層	猿ヶ森層	貫入岩
	泊層上部層		
:G ₃ 部層(砂岩シルト岩)	:T ₁ 部層(軽石質火山礫凝灰岩主体)	:S ₁ 部層(泥岩,砂岩,礫岩等)	:玄武岩
:G ₄ 部層(砂岩主体)	:T ₂ 部層(凝灰角礫岩,火山礫凝灰岩 礫質凝灰岩)	:S ₂ 部層(砂岩,礫岩)	
:G ₅ 部層(砂岩主体)	:T ₂ 部層(凝灰岩主体)	:S ₃ 部層(泥岩)	
:G ₆ 部層(泥岩主体)	:T ₂ 部層(安山岩溶岩)		
:G ₇ 部層(砂岩,礫岩等)	:T ₂ 部層(礫岩)		
	:T ₁ 部層(礫岩,砂岩)		

T7トレーニング位置図(東京電力HD(株)敷地地質構造図)



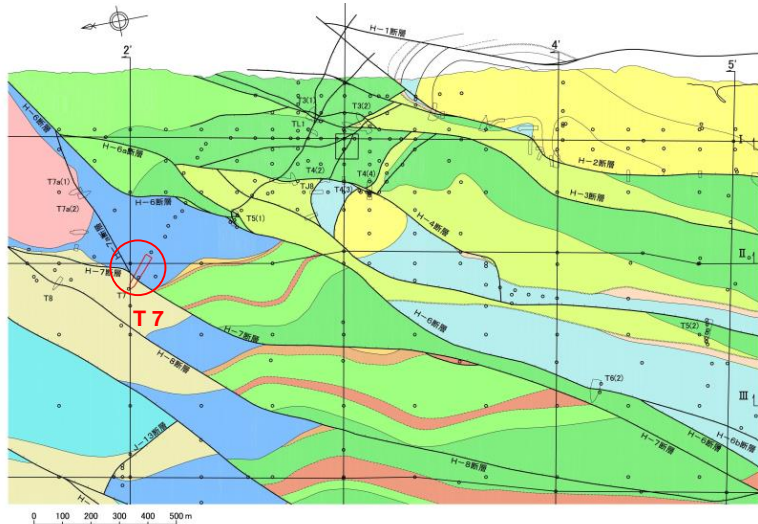
T7トレンチ北東面写真



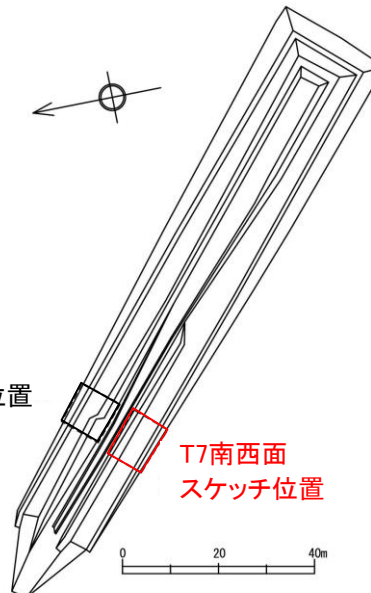
T7トレンチ北東面スケッチ

H-7断層のT7トレンチ南西面既往写真、詳細スケッチ

T7: 東京電力(2010)



蒲野沢層	泊層	猿ヶ森層	貫入岩
G ₁ :部層(砂岩・シルト岩)	T ₁ :部層(軽石質火山礫凝灰岩主体)	S ₁ :部層(粘土～シルト層)	
G ₁ :部層(砂岩主体)	T ₁ :部層(凝灰角礫岩、火山礫凝灰岩)	f:扇状地堆積物	
G ₁ :部層(砂岩主体)	T ₁ :部層(凝灰岩)	M ₁ :M _{1'} :面段丘堆積物	
G ₁ :部層(泥岩主体)	T ₁ :部層(安山岩溶岩)	示標火山灰	
G ₁ :部層(砂岩、礫岩等)	T ₁ :部層(礫岩)	Toya:洞爺火山灰層	
	T ₁ :部層(礫岩、砂岩)		玄武岩

T7北東面
スケッチ位置

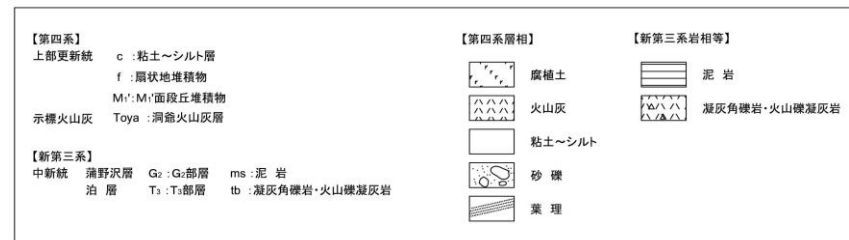
スケッチ位置図

T7トレンチ位置図(東京電力HD(株)敷地地質構造図)



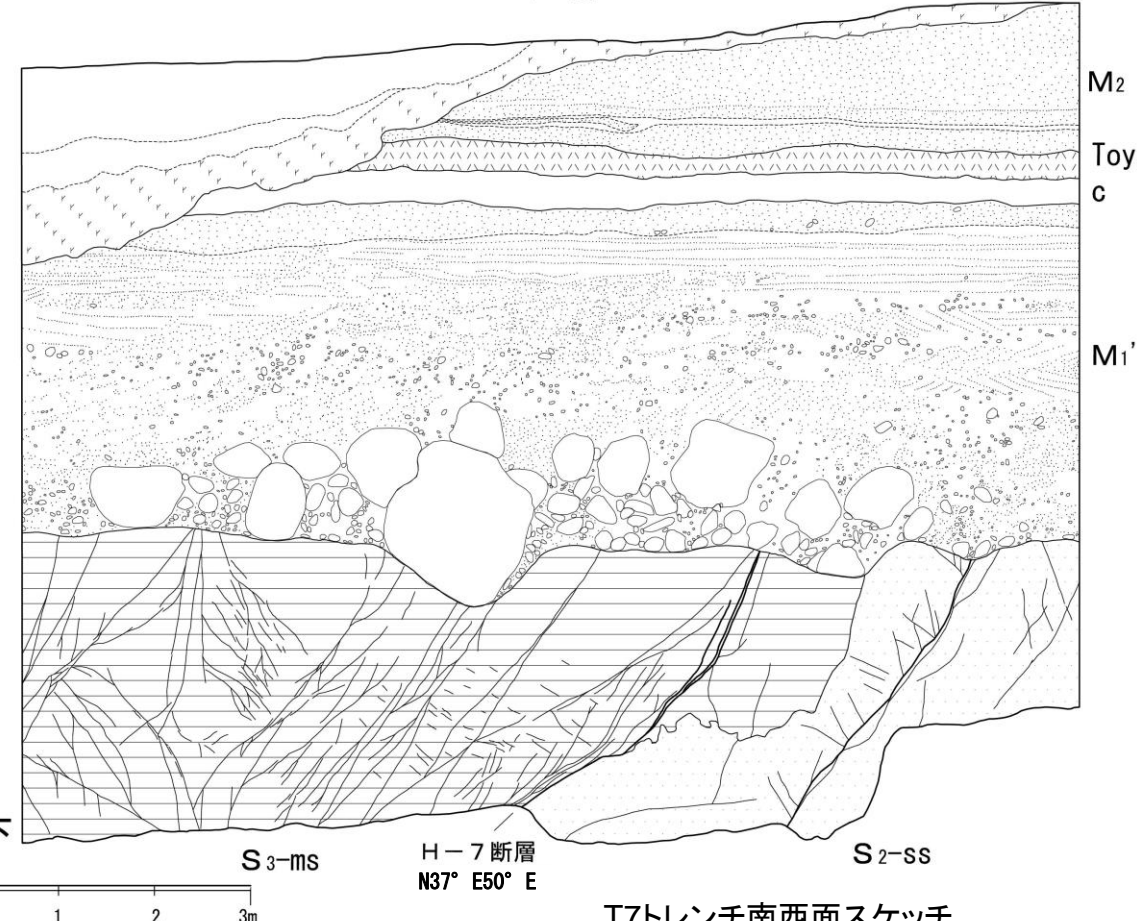
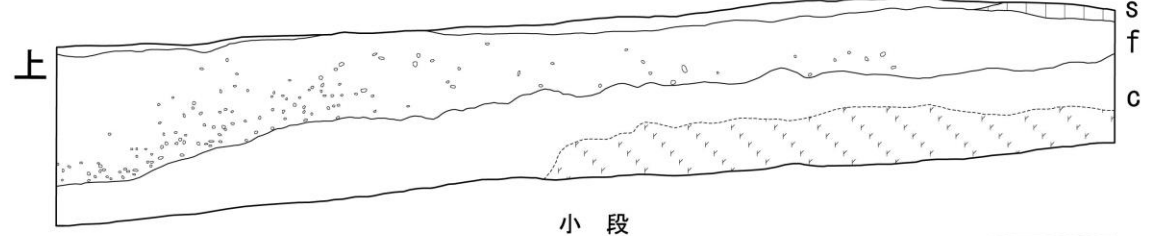
T7トレンチ南西面写真

▶ 敷地のF-1断層の北方延長にあたる東京電力HD(株)敷地のT7トレンチ南西面のH-7断層は、直上のM₁'面段丘堆積物に変位・変形を与えていないことが確認されている。



S E ←

→ NW



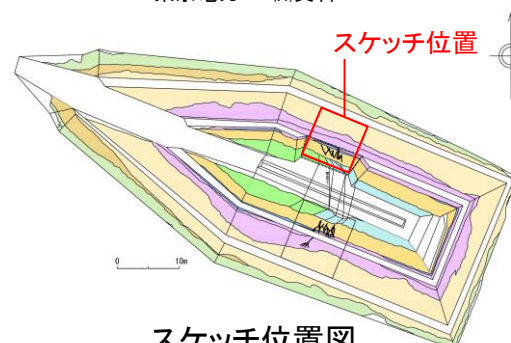
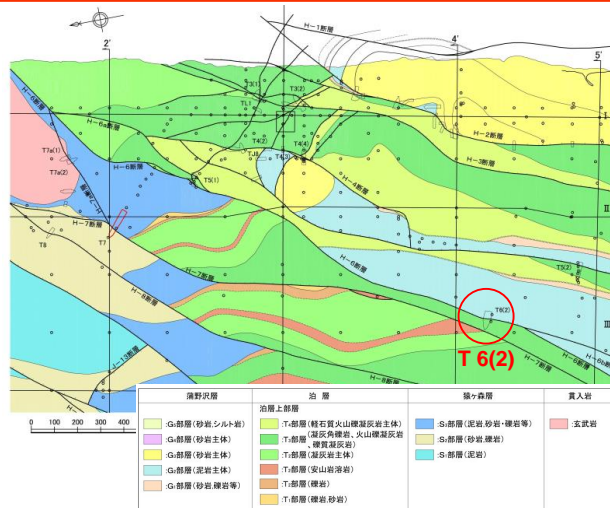
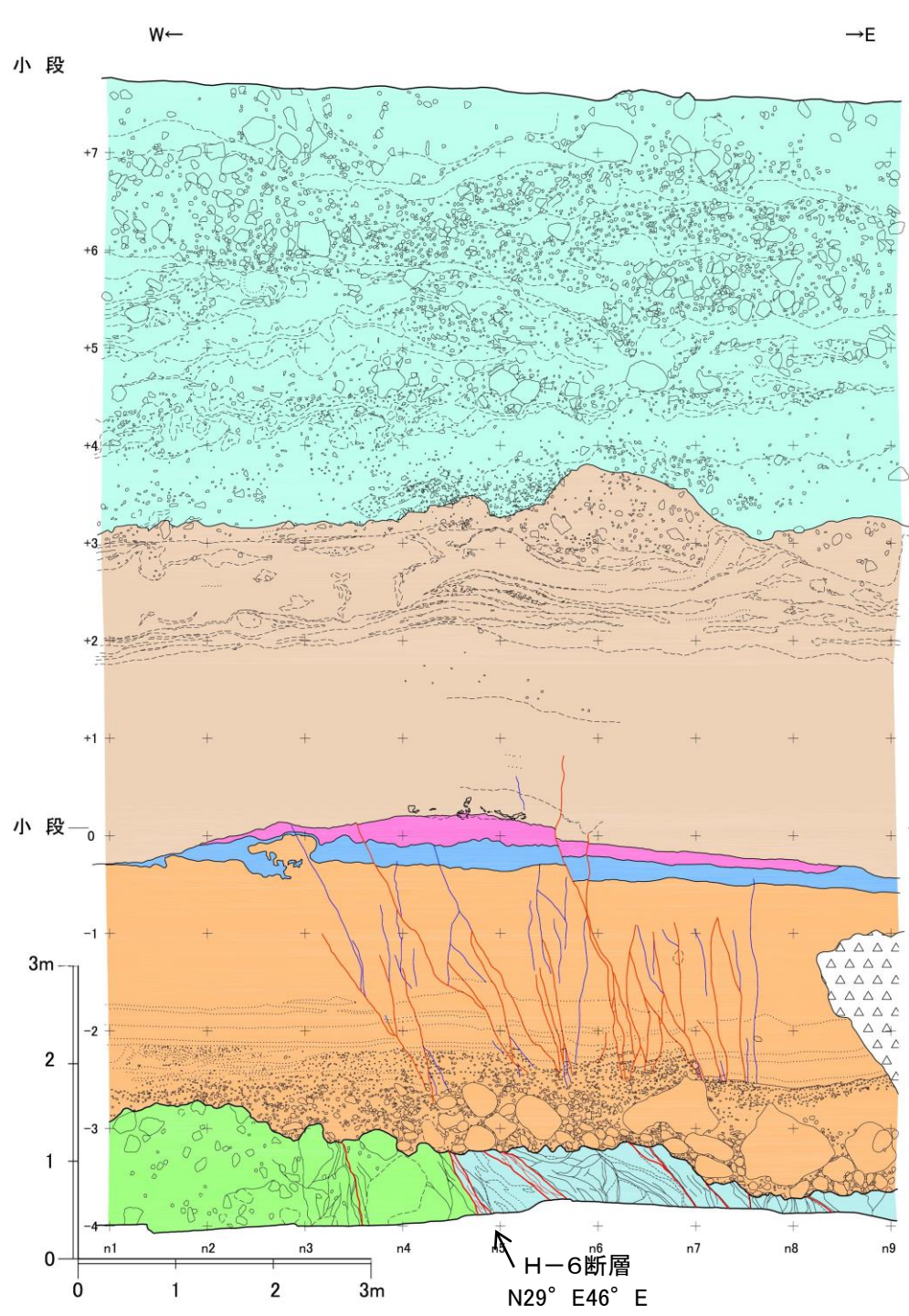
T7トレンチ南西面スケッチ

H-6断層:T6(2)トレンチ(全体写真, スケッチ:北面)

H28.12.1,2現地調査で確認

T6(2): 東北電力調査

- 岩盤上面には、侵食作用によると考えられる起伏が認められるものの、H-6断層及び小破碎部箇所に変位は認められない。
- T6(2)トレンチ北面のH-6断層は、泊層T3部層(凝灰角礫岩)と蒲野沢層G2部層(泥岩)の境界に位置し、これを被覆するM₁'面段丘堆積物(MIS5e)、粘土層、洞爺火山灰層、地すべり堆積物※に小断裤断裂が認められる。
- 小断裤断裂は主に蒲野沢層の上部のM₁'面段丘堆積層中に認められ、下方はM₁'面段丘堆積物(MIS5e)の砂層あるいは礫層の中で消滅し、岩盤上面に達するものはない。



※ 地すべり堆積物:泥炭、砂礫等からなり、
阿蘇4層準(約9万年前～約8.5万年前)
の扇状地堆積物に覆われる。

—— 变位のない断層
— 变位のある断層

完新統	[△△△] : 崩土
	[f] : 扇状地堆積物 (Aso4層準)
	[ls] : 地すべり堆積物
上部更新統	[Toya] : 洞爺火山灰層
	[c] : 粘土～シルト層
	[M ₁ '] : M ₁ '面段丘堆積物
蒲野沢層	[G2-ms] : G2部層 泥岩
泊層	[T3-tb] : T3部層 凝灰角礫岩・火山礫凝灰岩
	/ / : 断層破碎部

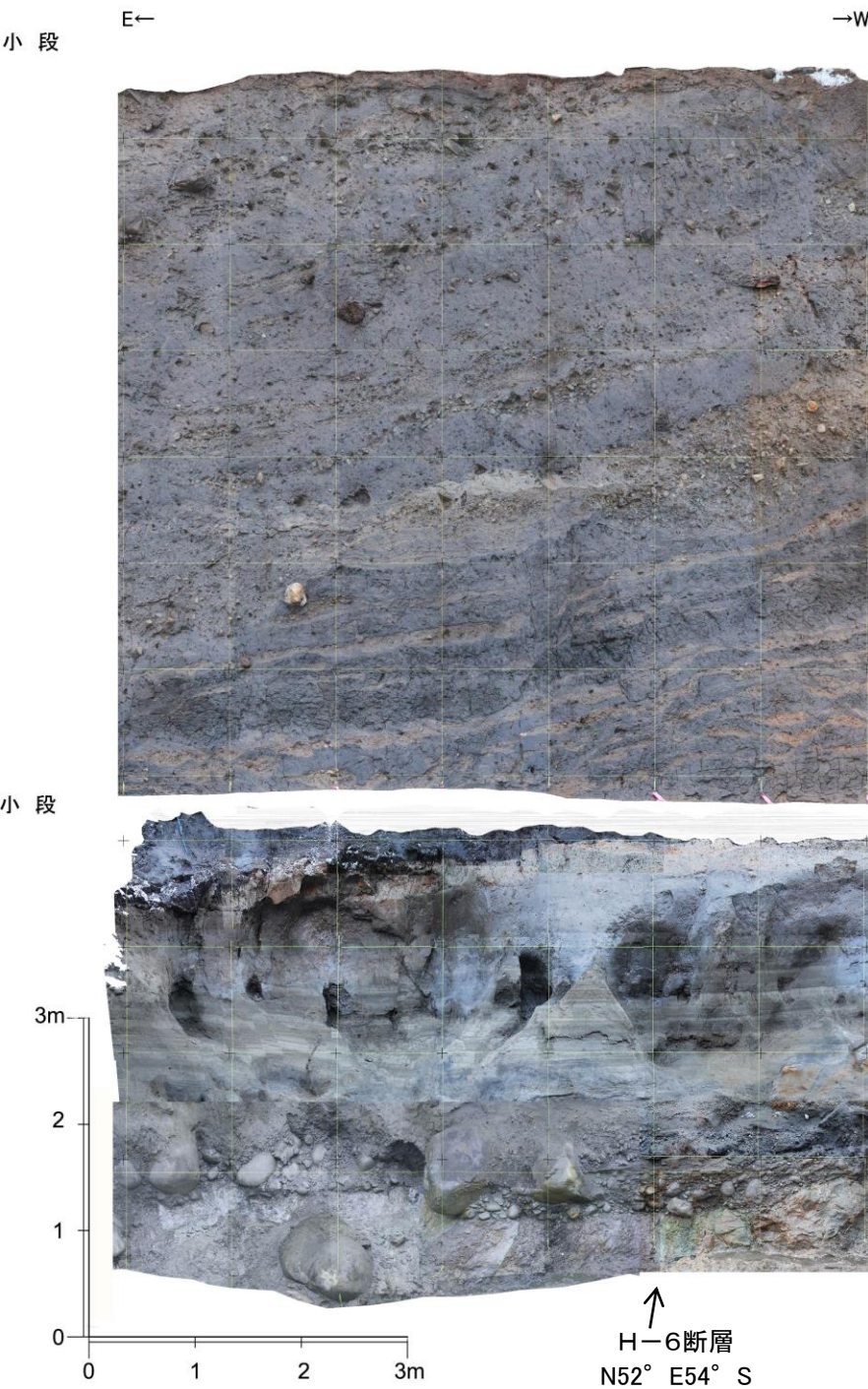
4. 一切山東方断層(F-1断層)の露頭・トレーニング調査結果

H-6断層:T6(2)トレーニング(全体写真, スケッチ:南面)

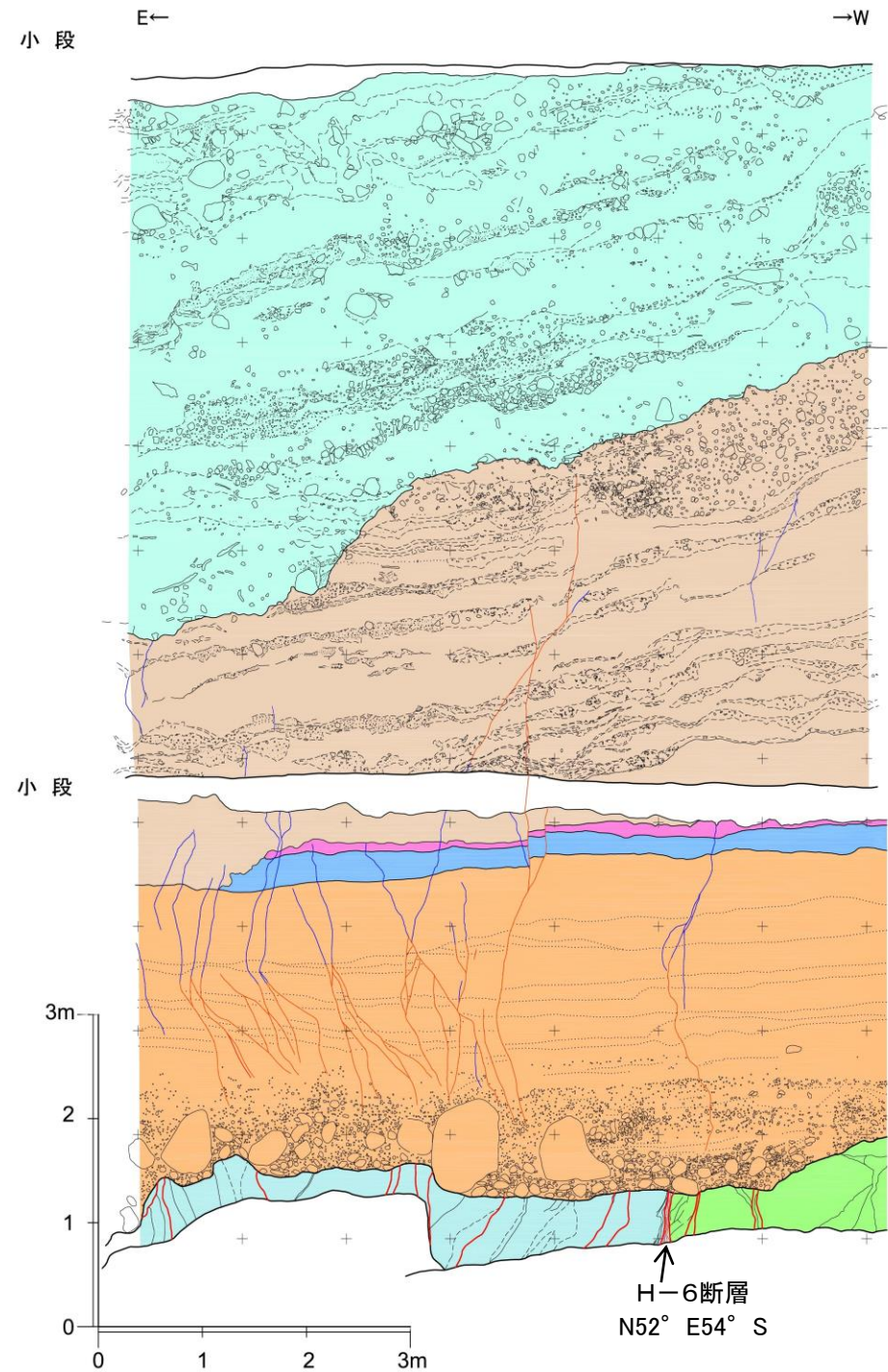
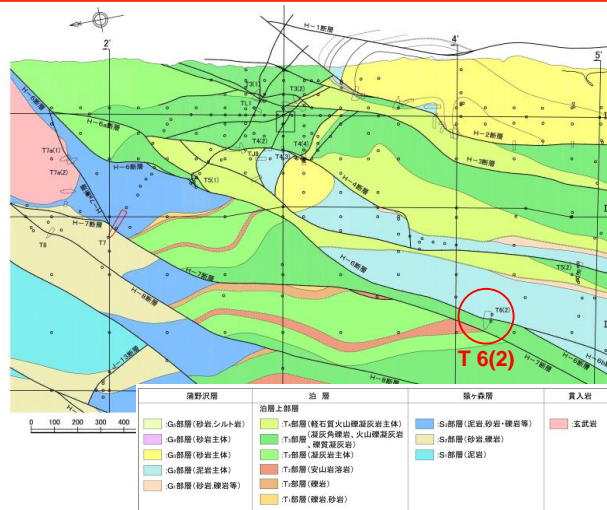
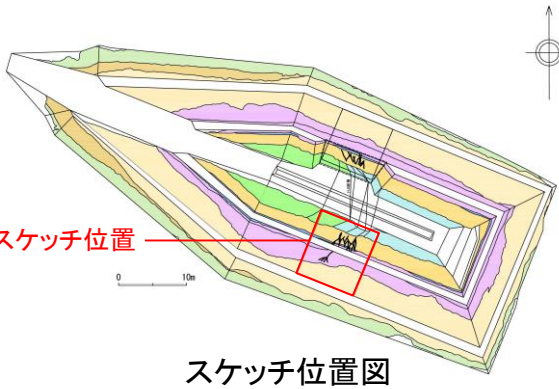
H28.12.1,2現地調査で確認

T6(2):東北電力調査

- 岩盤上面には、侵食作用によると考えられる起伏が認められるものの、H-6断層及び小破碎部箇所に変位は認められない。
- T6(2)トレーニング南面のH-6断層は、泊層T3部層(凝灰角礫岩)と蒲野沢層G2部層(泥岩)の境界に位置し、これを被覆するM_{1'}面段丘堆積物(MIS5e)、粘土層、洞爺火山灰層、地すべり堆積物に小断裤断裂が認められる。
- 小断裤断裂は主に蒲野沢層の上部のM_{1'}面段丘堆積層中に認められ、下方はM_{1'}面段丘堆積物(MIS5e)の砂層あるいは礫層の中で消滅し、岩盤上面に達するものはない。



T6(2)トレーニング南面写真

T6(2)トレーニング南面スケッチ
※南面は法面中央が湾曲するため小断裤断裂が屈曲しているが、実際には直線的なものが多いT6(2)トレーニング位置図(東京電力HD(株)敷地地質構造図)
東京電力HD(株)資料

スケッチ位置図

—— 変位のない断裤断裂
— 変位のある断裤断裂

f	: 扇状地堆積物 (Aso4層準)
ls	: 地すべり堆積物
Toya	: 洞爺火山灰層
c	: 粘土～シルト層
M _{1'}	: M _{1'} 面段丘堆積物
G2-ms	: G2部層 泥岩
T3-tb	: T3部層 凝灰角礫岩・火山礫凝灰岩
/	: 断裤断裂部

H-6断層:T6(2)トレンチ(小断裂の詳細性状:北面①)

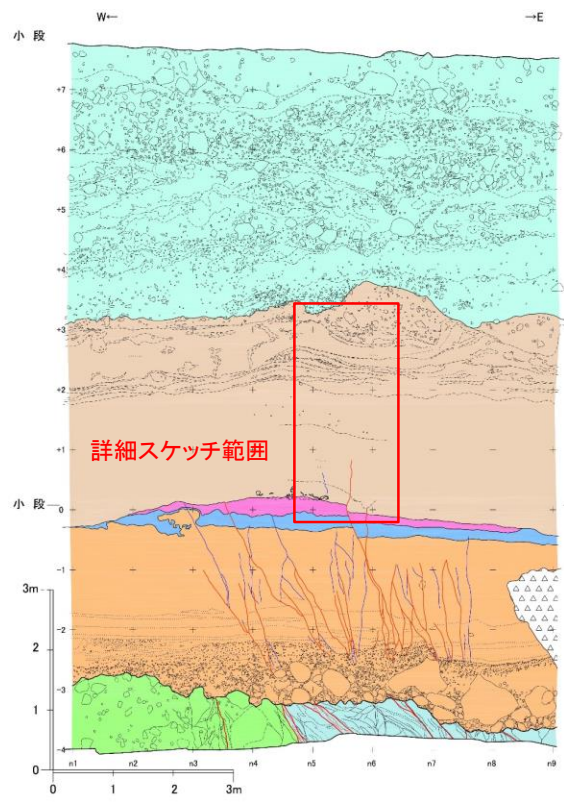
H28.12.1,2現地調査で確認

T6(2): 東北電力調査

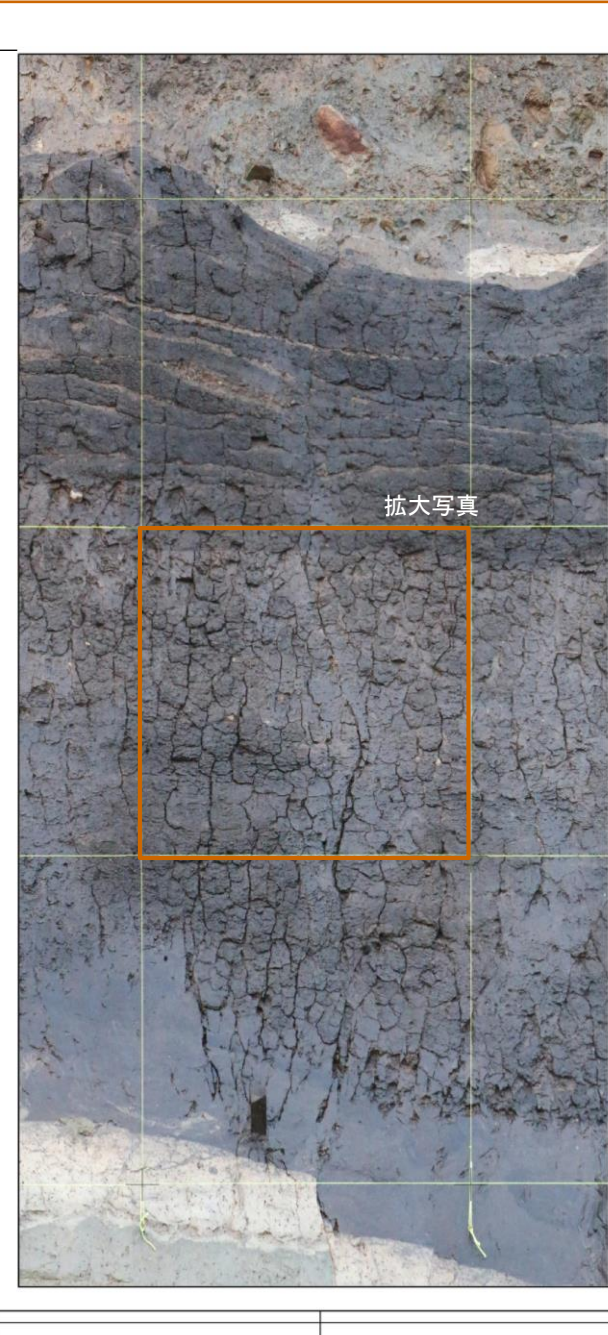
- 洞爺火山灰層に約9cmの変位が認められる小断裤断裂は、洞爺火山灰層から約20cm上方の有機混じリシルト中の黒色腐植物混在層(①)に約4cmの変位が認められ、これより上方では干裂が発達しており、小断裤断裂の判別は困難である(詳細スケッチ)。
 - 洞爺火山灰層から約1m上方で断裤断裂延長部を横断する腐植物の多い部分と少ない部分の層相境界(②)には変位が認められないことから、この位置を小断裤断裂の上端とみなした(拡大写真)。



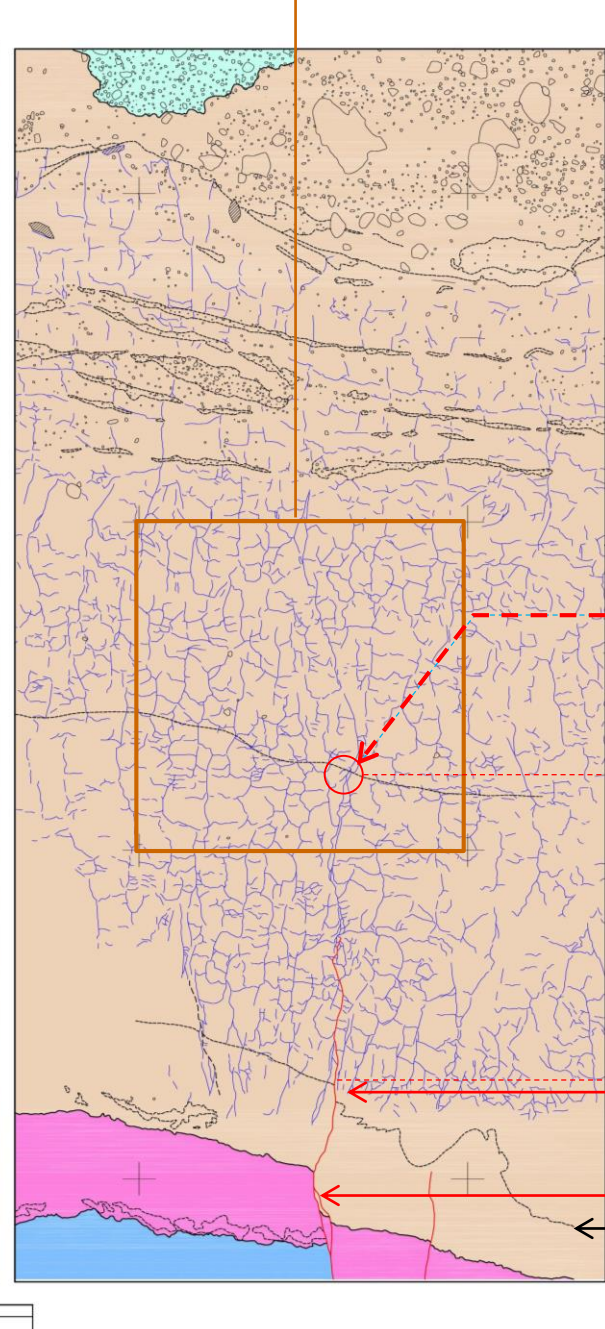
拡大写真



詳細スケッチ位置



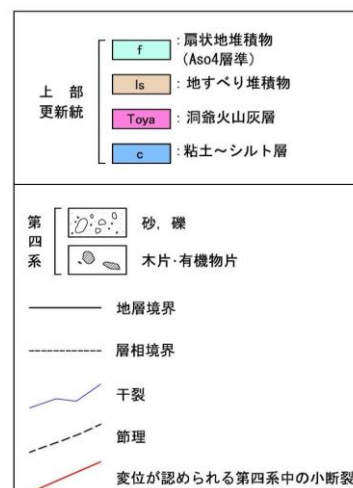
1.0



詳細スケッチ

【干裂の特徴】

- 上部更新統の地すべり堆積物中に発達
 - 開口幅0.1~1cm程度、奥行きは1~2cm程度
 - 縦方向と横方向の開口が交差し亀甲状をなす
 - 屈曲が多く、直線的なものは少ない
 - 直線的で長い干裂(20~30cm)は既存の節理に沿って開口した可能性がある



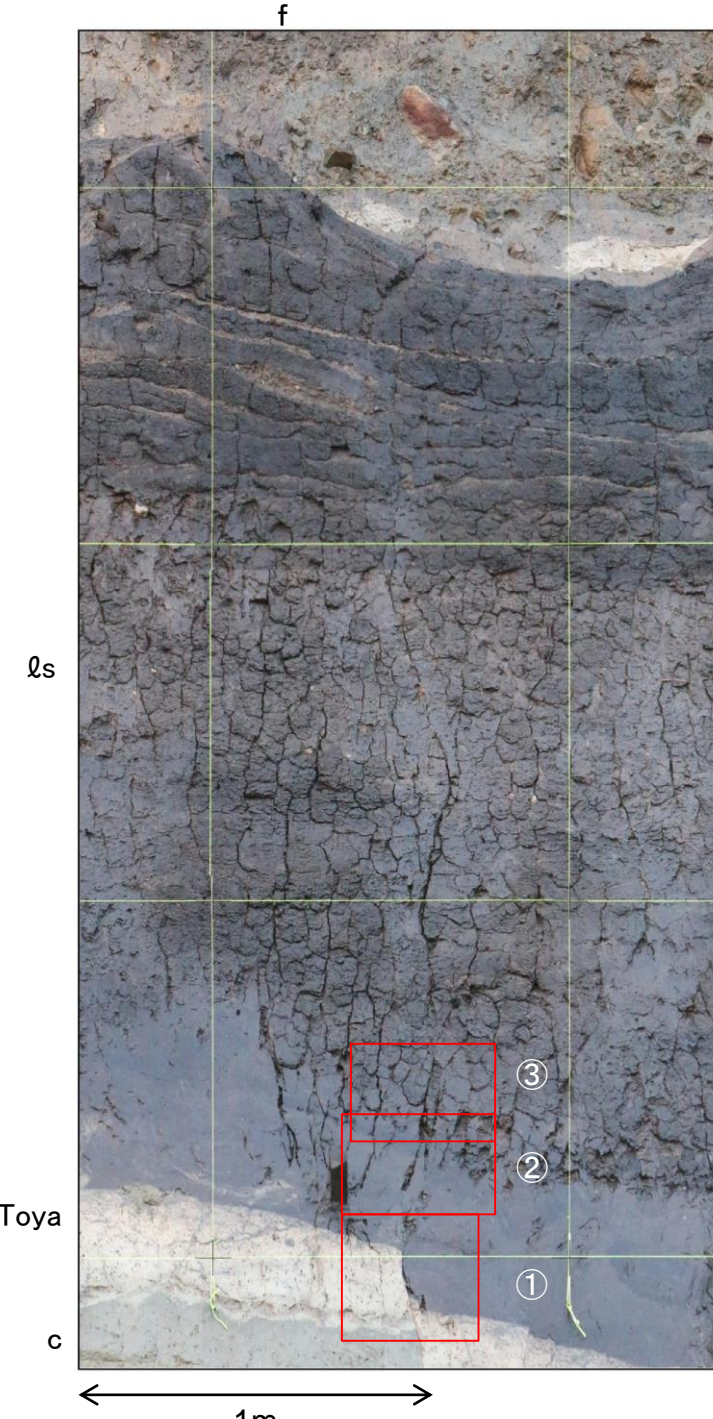
H-6断層:T6(2)トレンチ(小断裂の詳細性状:北面②)

H28.12.1,2現地調査で確認

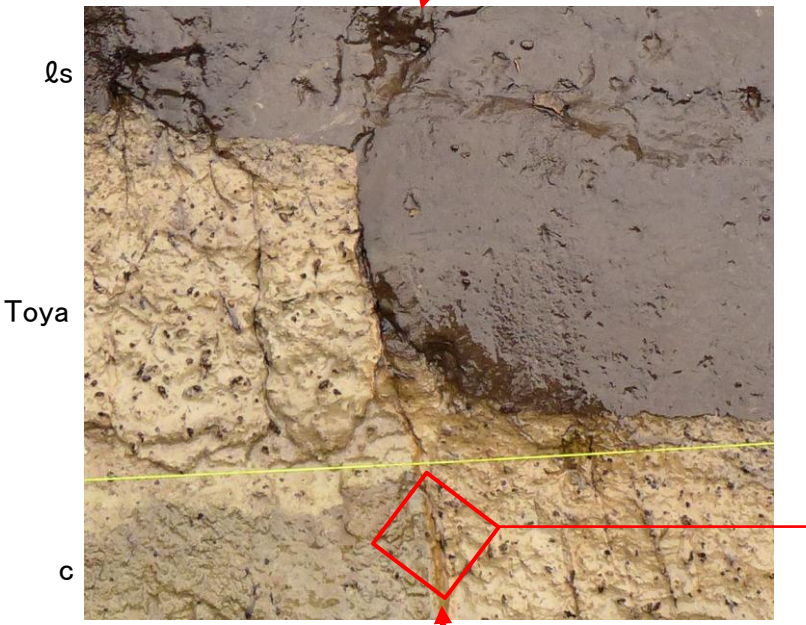
T6(2): 東北電力調査

- 洞爺火山灰層に変位が認められる小断裂は湾曲し、面は平滑ではなく起伏があり、条線、鏡肌、粘土は認められない(写真①、同拡大)。
- 小断裂は、約4cmの変位が確認される位置より上方では干裂との判別が困難になる。(写真②、③)。

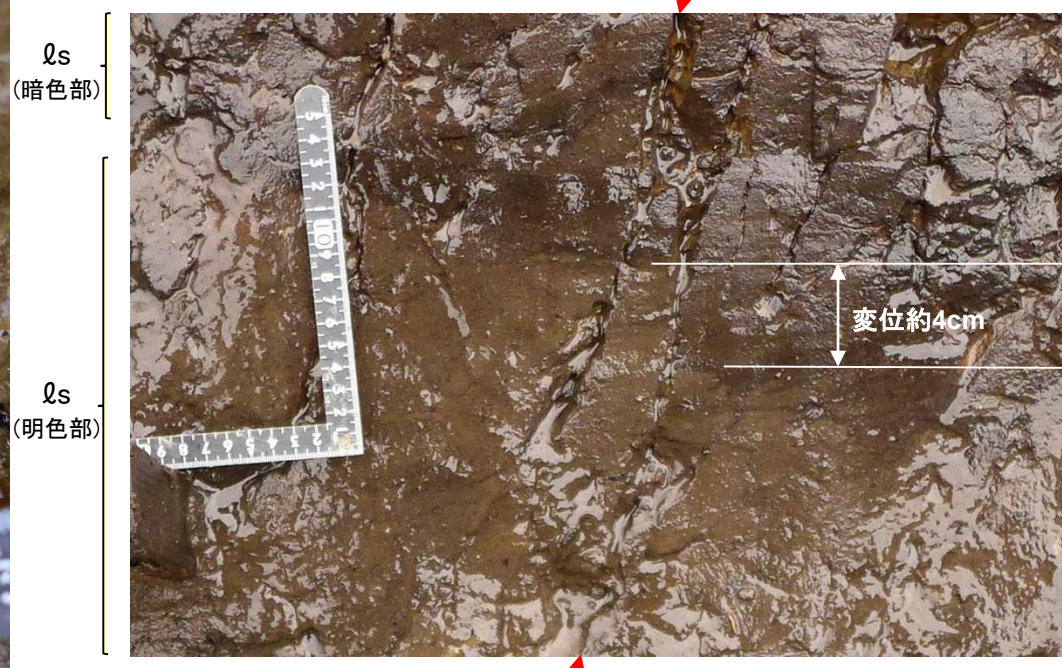
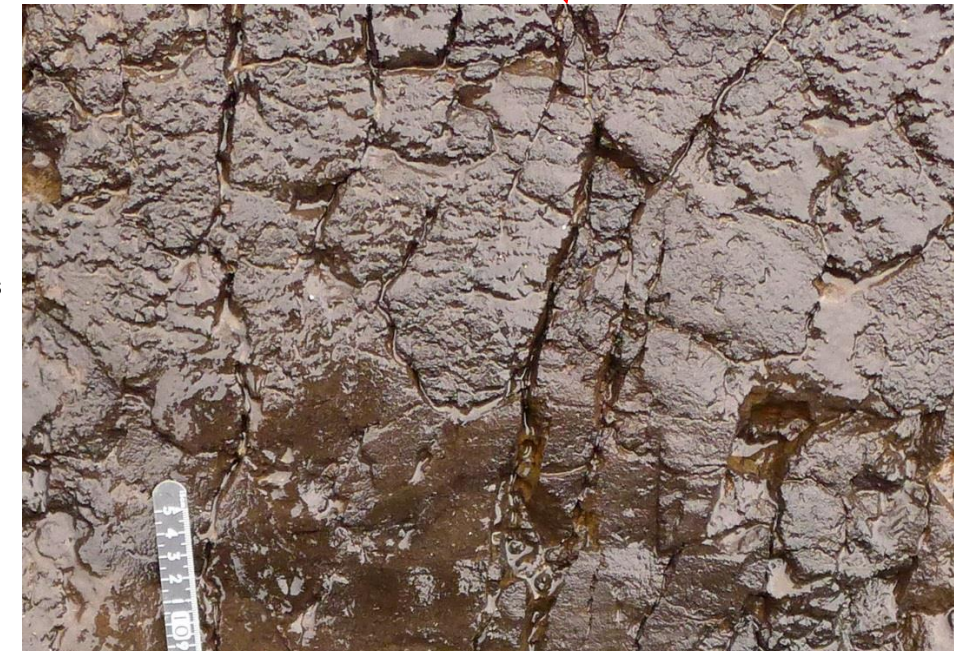
↓ 小断裂



f: 扇状地堆積物
ls: 地すべり堆積物
Toya: 洞爺火山灰層
c: 粘土～シルト



小断裂の面は、平滑ではなく起伏がある
小断裂の面には、条線、鏡肌、粘土等は認められない

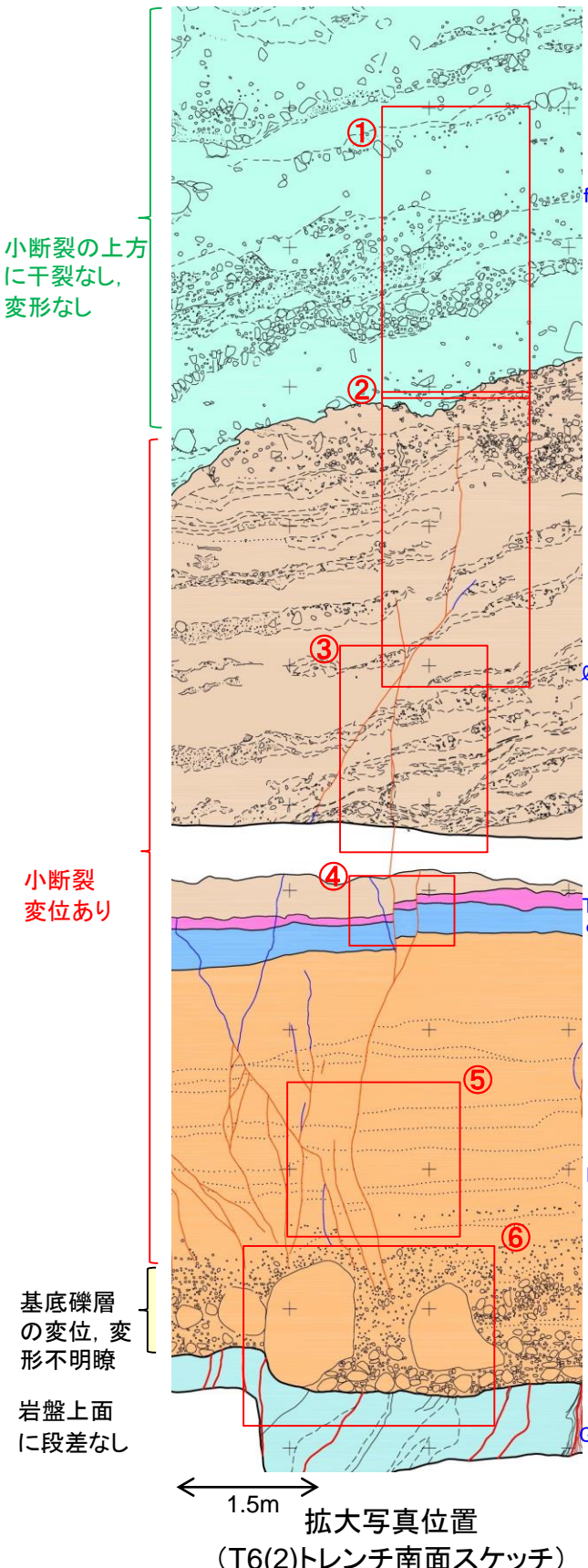


② 地すべり堆積物の有機混じりシルト中に見られる明色部(下)と暗色部(上)の境界は、小断裂を境に約4cmの変位が認められる

H-6断層:T6(2)トレーニチ(小断裂の性状:南面)

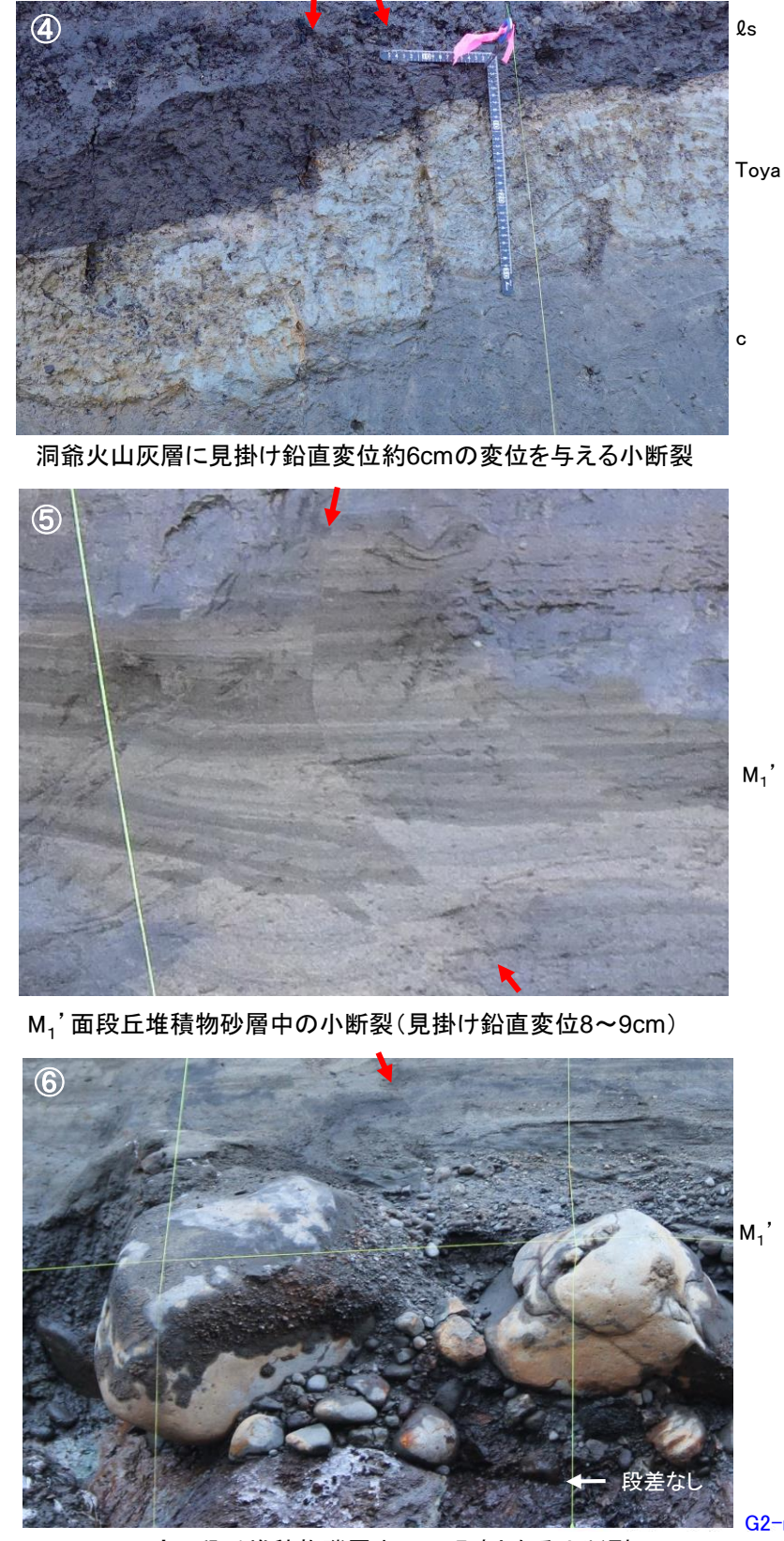
H28.12.1,2現地調査で確認

T6(2): 東北電力調査



- > T6(2)トレーニチ南面では、洞爺火山灰層に東落ち約6cmの変位を与える小断裂が認められる。(④)
- > この小断裂は、洞爺火山灰層の上位の地すべり堆積物中で消滅している。(②, ③)
- > 小断裂下方は、 M_1' 面段丘堆積物の礫層中で消滅し、その下方延長部では礫の回転、再配列の痕跡、岩盤上面の段差は認められない。(⑥)
- > 小断裂の上方と下方で変位量に大きな差が認められず、累積性はない。

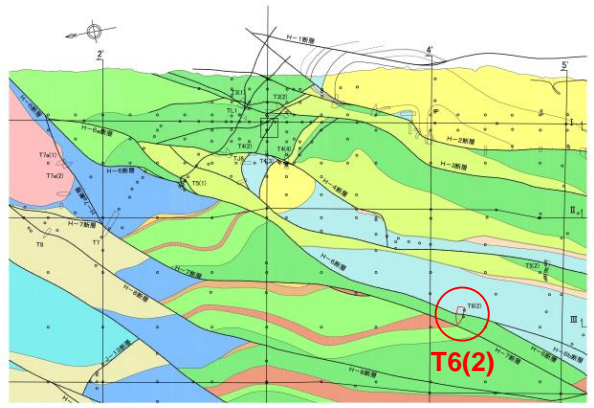
f	:扇状地堆積物
ls	:地すべり堆積物
Toya	:洞爺火山灰層
M_1'	: M_1' 面段丘堆積物
G2-ms	:蒲野沢層G2部層泥岩



H-6(F-1)断層のT6(2)トレーニング北面既往写真、スケッチ

T6(2): 東京電力(2010)

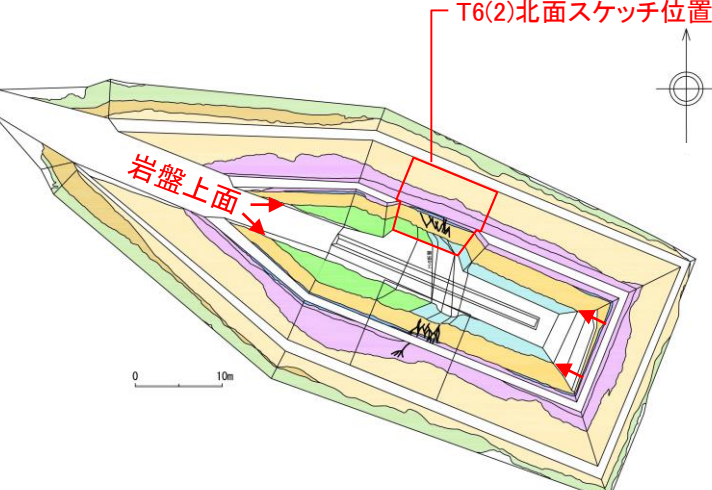
- T6(2)トレーニング北面のH-6断層は、直上のM_{1'}面段丘堆積物に小断層が認められ、小断層の一部は、上位の粘土層、洞爺火山灰層、地すべり堆積物に延長している。



蒲野沢層	泊層	猿ヶ森層	貫入岩
G ₁ 部層(砂岩、シルト岩)	T ₁ 部層(鉛質火山灰凝灰岩主体)	S ₁ 部層(泥岩、砂岩・礫岩等)	玄武岩
G ₂ 部層(砂岩主体)	T ₂ 部層(凝灰角礫岩、火山灰凝灰岩)	S ₂ 部層(砂岩、礫岩)	
G ₃ 部層(泥岩主体)	T ₃ 部層(凝灰角礫岩主体)	S ₃ 部層(泥岩)	
G ₄ 部層(泥岩主体)	T ₄ 部層(安山岩溶岩)	S ₄ 部層(泥岩)	
G ₅ 部層(砂岩、礫岩等)	T ₅ 部層(礫岩)		
	T ₆ 部層(礫岩、砂岩)		

T6(2)トレーニング位置図(東京電力HD(株)敷地)

「東京電力株式会社東通原子力発電所 敷地の地質・地質構造 敷地の断層にみられる変状について、資料第113C-11-5号(平成22年11月)」に加筆



凡 例

第四紀	更新世後期	新第三紀	中新世
			[蒲野沢層泊層G ₂ 部層(泥岩)]
			[泊層T ₃ 部層(凝灰角礫岩)]
		扇状地堆積物B (+和田レッド軽石層を挟む)	
		腐植質シルト層	
		扇状地堆積物A(阿蘇4火山灰層を挟む)	
		滑り土塊(泥炭層)	
		シルト層(洞爺火山灰層を挟む)	
		M _{1'} 面段丘堆積物	
			-----:地層境界
			———:第四系中の小断層

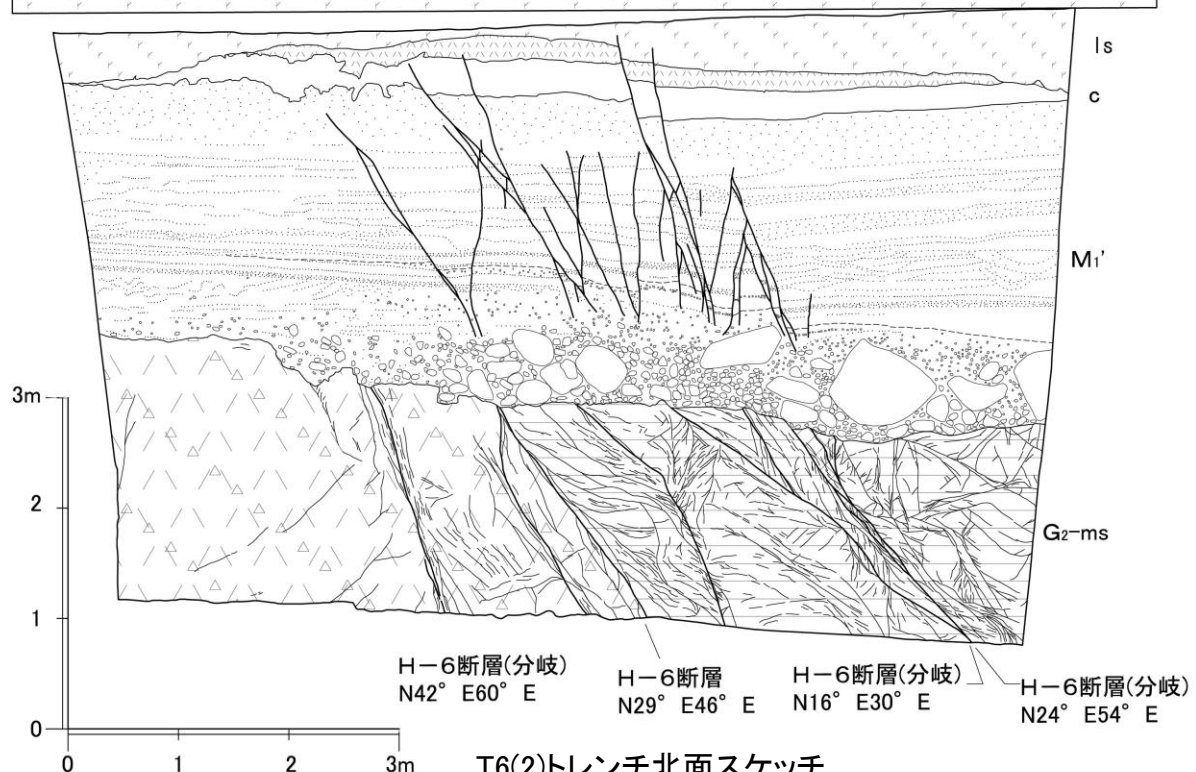
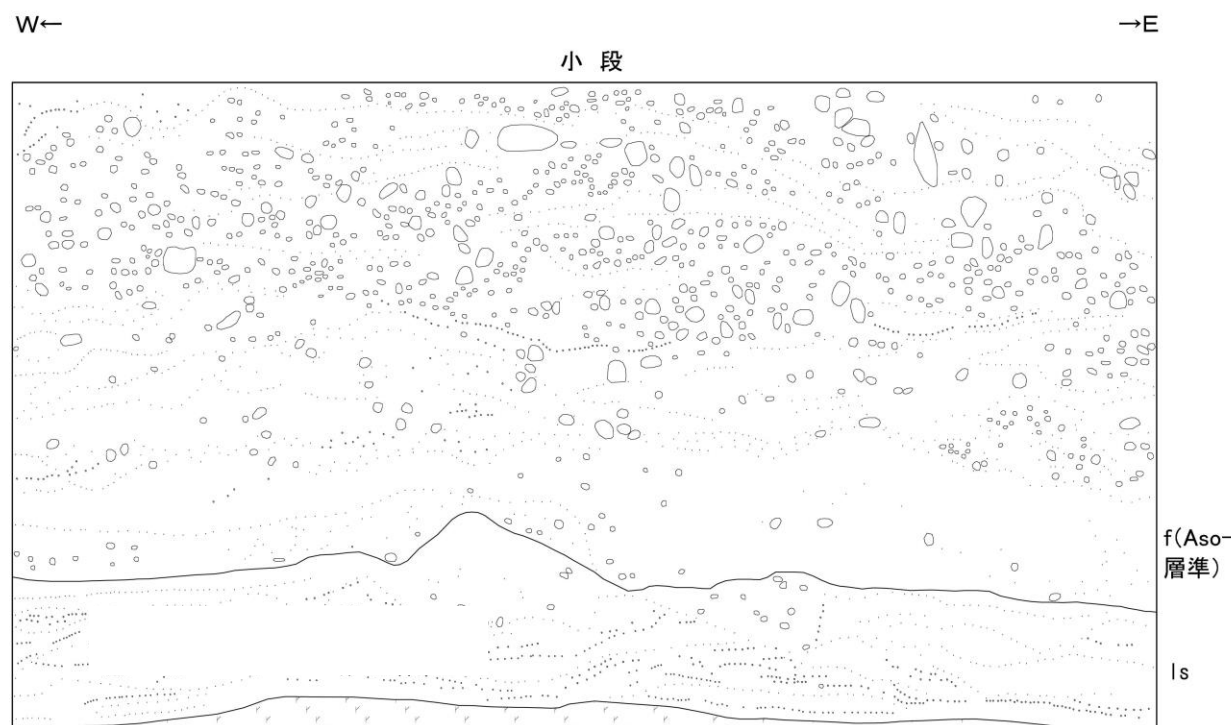
T6(2)トレーニング北面スケッチ位置

→E



【第四系】	c : 黏土～シルト層
	f : 扇状地堆積物
	ls : 地すべり堆積物
	M _{1'} : M _{1'} 面段丘堆積物
	Toya : 洞爺火山灰層
【新第三紀】	
中新世	蒲野沢層 G ₂ : G ₂ 部層 ms : 泥岩
泊層	T ₃ : T ₃ 部層 tb : 凝灰角礫岩・火山灰凝灰岩
【第四系層相】	
	腐植土
	火山灰
	粘土～シルト
	砂 磨
	葉 理
【新第三紀岩相】	
	泥 岩
	凝灰角礫岩・火山灰凝灰岩

T6(2)トレーニング北面写真



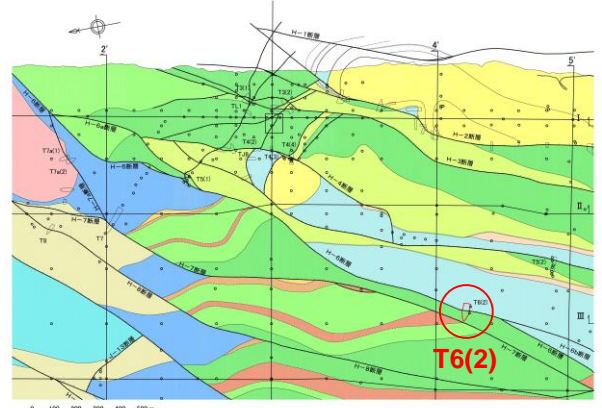
T6(2)トレーニング北面スケッチ

東京電力株式会社(2010)に一部加筆

H-6(F-1)断層のT6(2)トレーニング南面既往写真、スケッチ

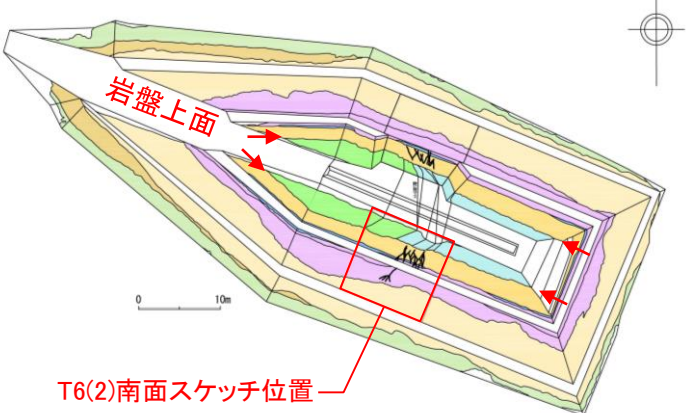
T6(2): 東京電力(2010)

- T6(2)トレーニング南面のH-6断層は、直上のM_{1'}面段丘堆積物に小断裤断裂が認められ、小断裤断裂の一部は、上位の粘土層、洞爺火山灰層、地すべり堆積物に延長している。



T6(2)トレーニング位置図(東京電力HD(株)敷地)

蒲野沢層	泊層	猿ヶ森層	貫入岩
G ₁ 部層(砂岩シルト岩)	T ₁ 部層(軽石質火山灰岩主体)	S ₁ 部層(泥炭砂岩・礫岩等)	玄武岩
G ₂ 部層(砂岩主体)	T ₂ 部層(基底角礫岩、火山礫凝灰岩)	S ₂ 部層(砂岩、礫岩)	
G ₃ 部層(砂岩主体)	T ₃ 部層(凝灰岩主体)	S ₃ 部層(泥炭)	
G ₄ 部層(泥岩主体)	T ₄ 部層(安山岩溶岩)		
G ₅ 部層(砂岩・礫岩等)	T ₅ 部層(礫岩)		



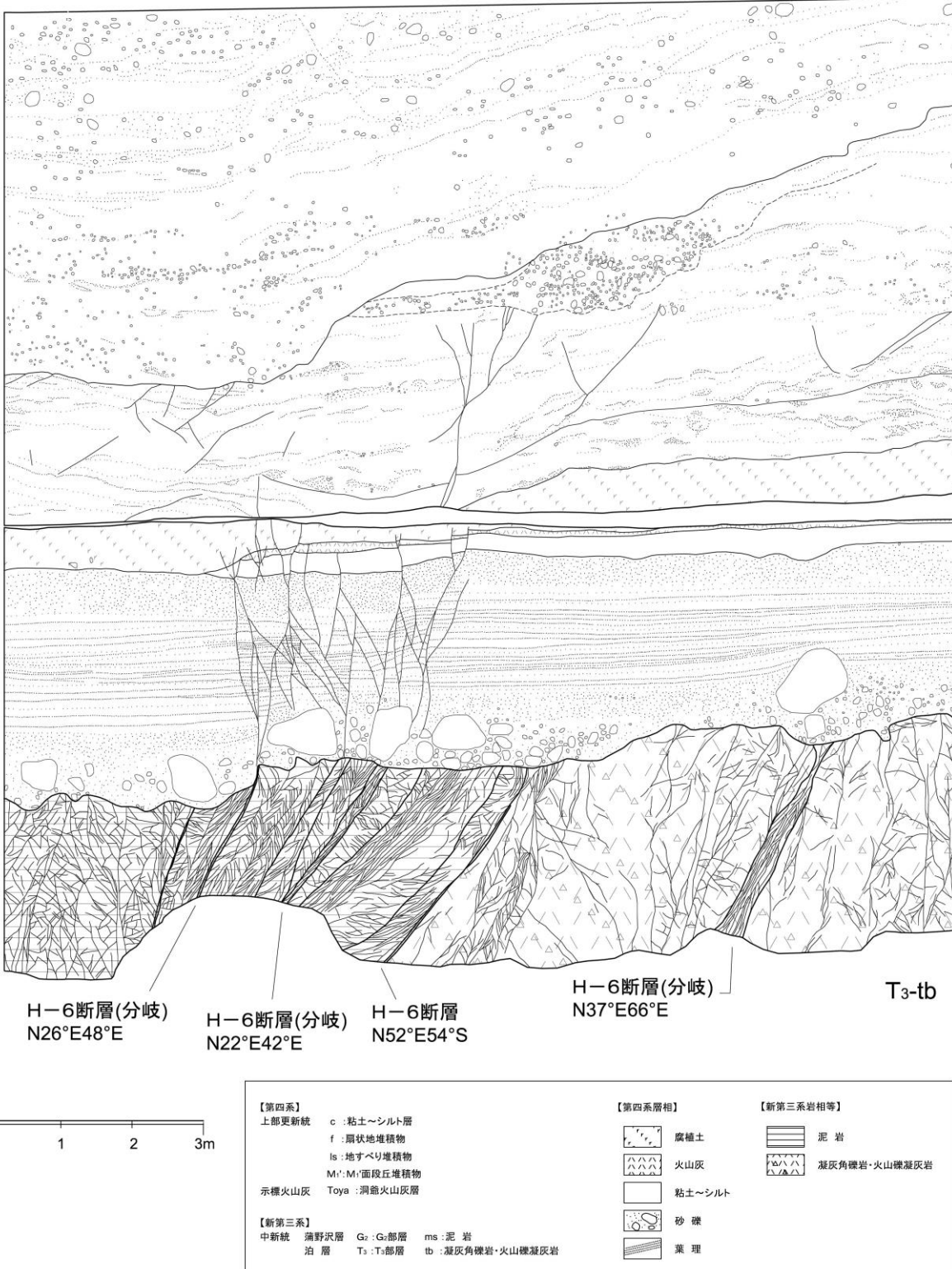
凡 例

第四紀	更新世後期
更 新 世	後 期
新 第 三 紀	中 新 世
蒲野沢層泊層 G ₂ 部層(泥岩)	泊層 T ₃ 部層(凝灰角礫岩)
泊層上部層	
T ₁ 部層(軽石質火山灰岩・火山礫凝灰岩)	
T ₂ 部層(基底角礫岩)	
T ₃ 部層(凝灰岩)	
T ₄ 部層(安山岩溶岩)	
T ₅ 部層(礫岩)	
T ₆ 部層(礫岩・砂岩)	
扇状地堆積物B (十和田レッド軽石層を挟む)	
扇状地堆積物A (阿蘇4火山灰層を挟む)	
滑り土塊(泥炭層)	
シルト層(洞爺火山灰層を挟む)	
M _{1'} 面段丘堆積物	
地層境界	
第四系中の小断裤断裂	



T6(2)トレーニング南面写真

E← →W



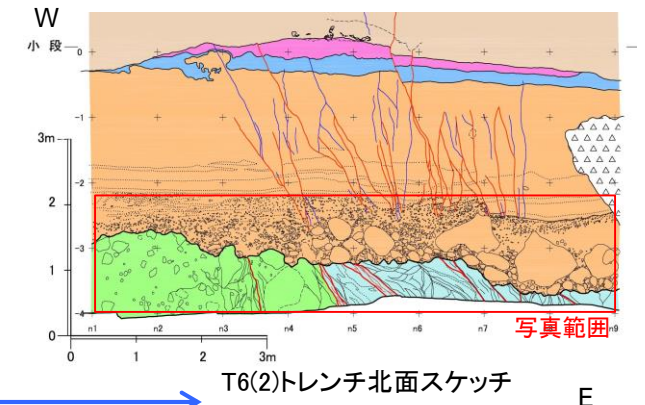
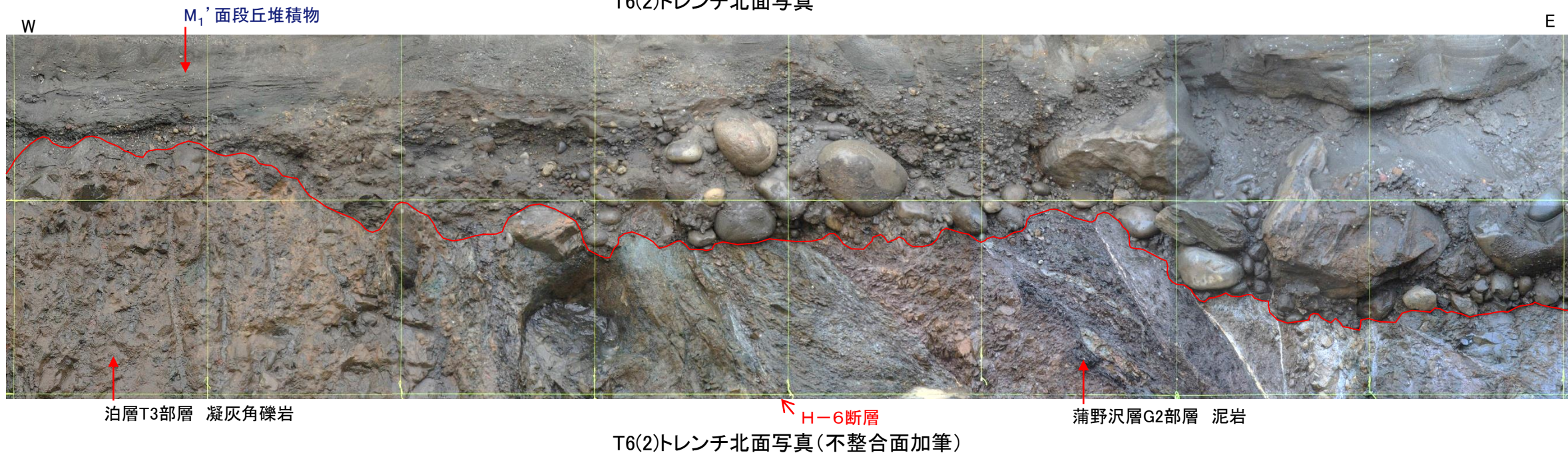
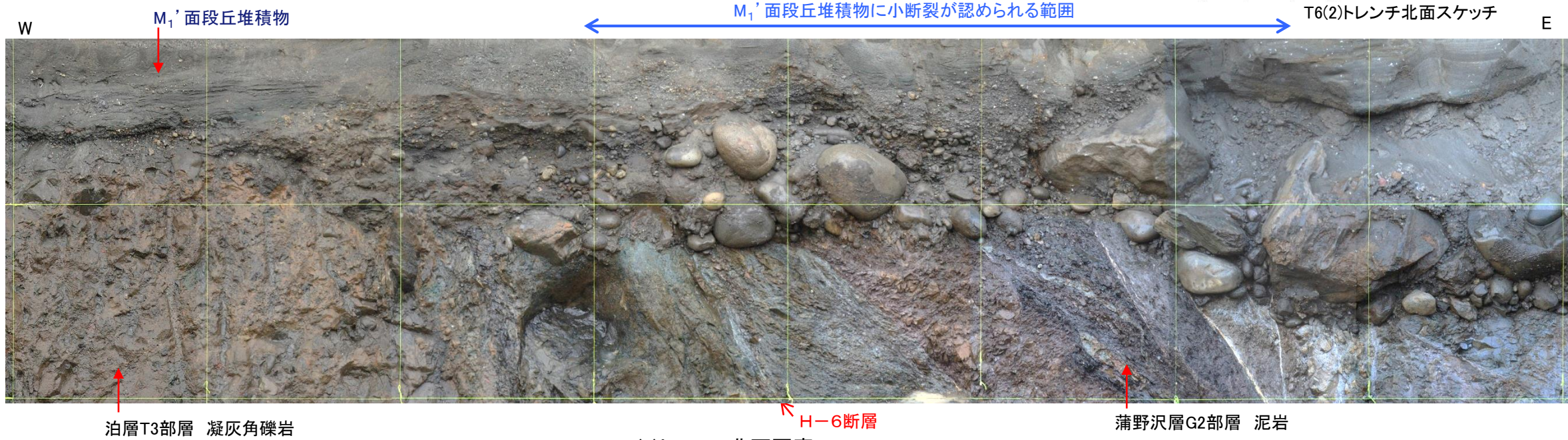
T6(2)トレーニング南面スケッチ

東京電力株式会社(2010)に一部加筆

H-6断層:T6(2)トレーニチ(岩盤上面の形態:北面①)

H28.12.1,2現地調査で確認
T6(2): 東北電力調査

- 岩盤上面には、侵食作用によると考えられる多数の小起伏が認められる。H-6断層下盤側(西側)が高くなっているが、泊層凝灰角礫岩が蒲野沢層に比較して硬質であるため、差別侵食に起因するものと判断される。
- H-6断層及び小破碎部箇所の岩盤上面に変位は認められない。H-6断層及び小破碎部は縦ずれ主体であり、M₁'面段丘堆積物堆積以降、断層活動はないことを示している。



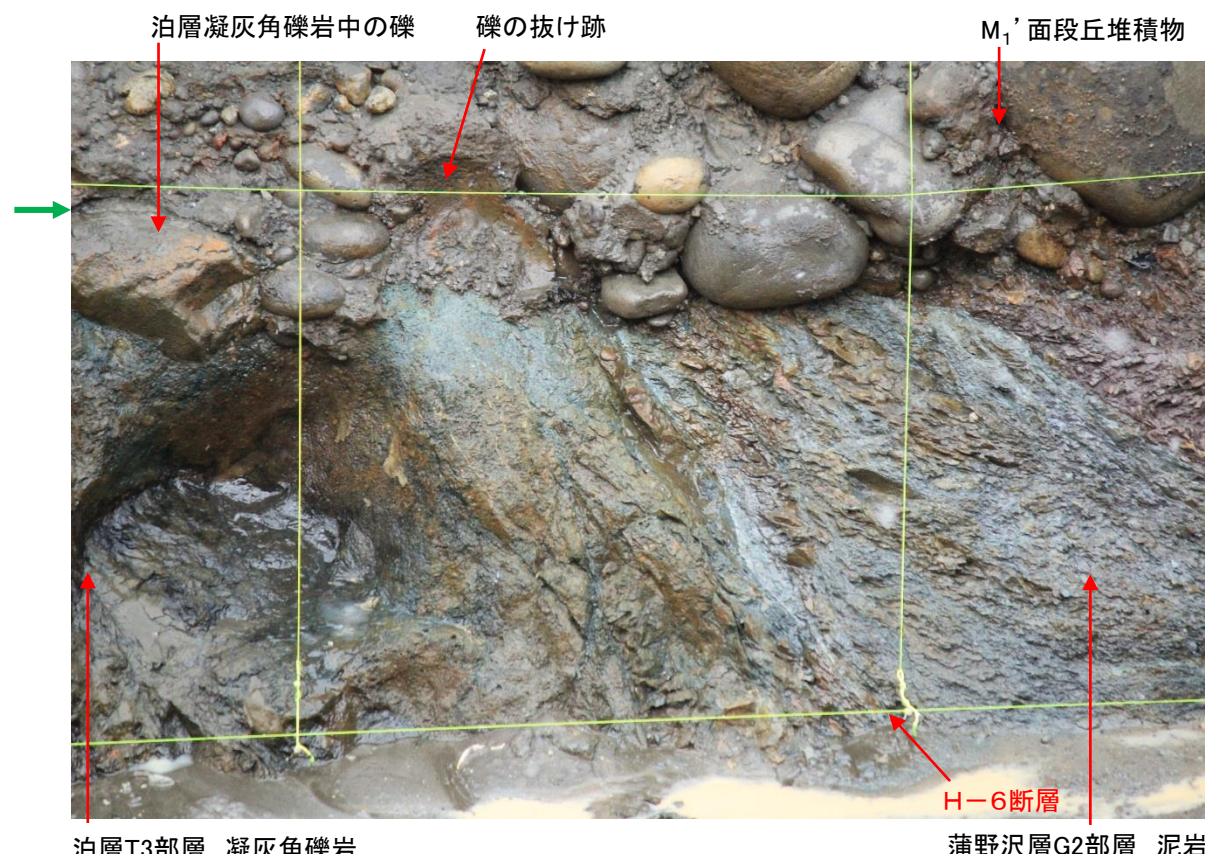
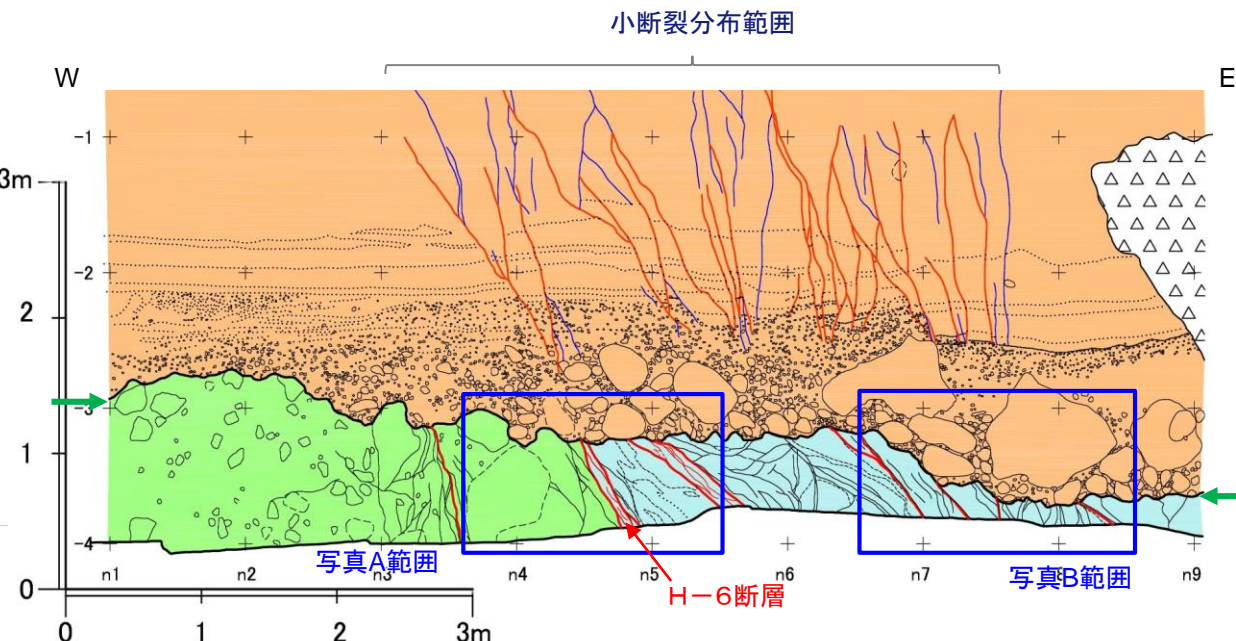
H-6断層:T6(2)トレーニチ(岩盤上面の形態:北面②)

H28.12.1,2現地調査で確認

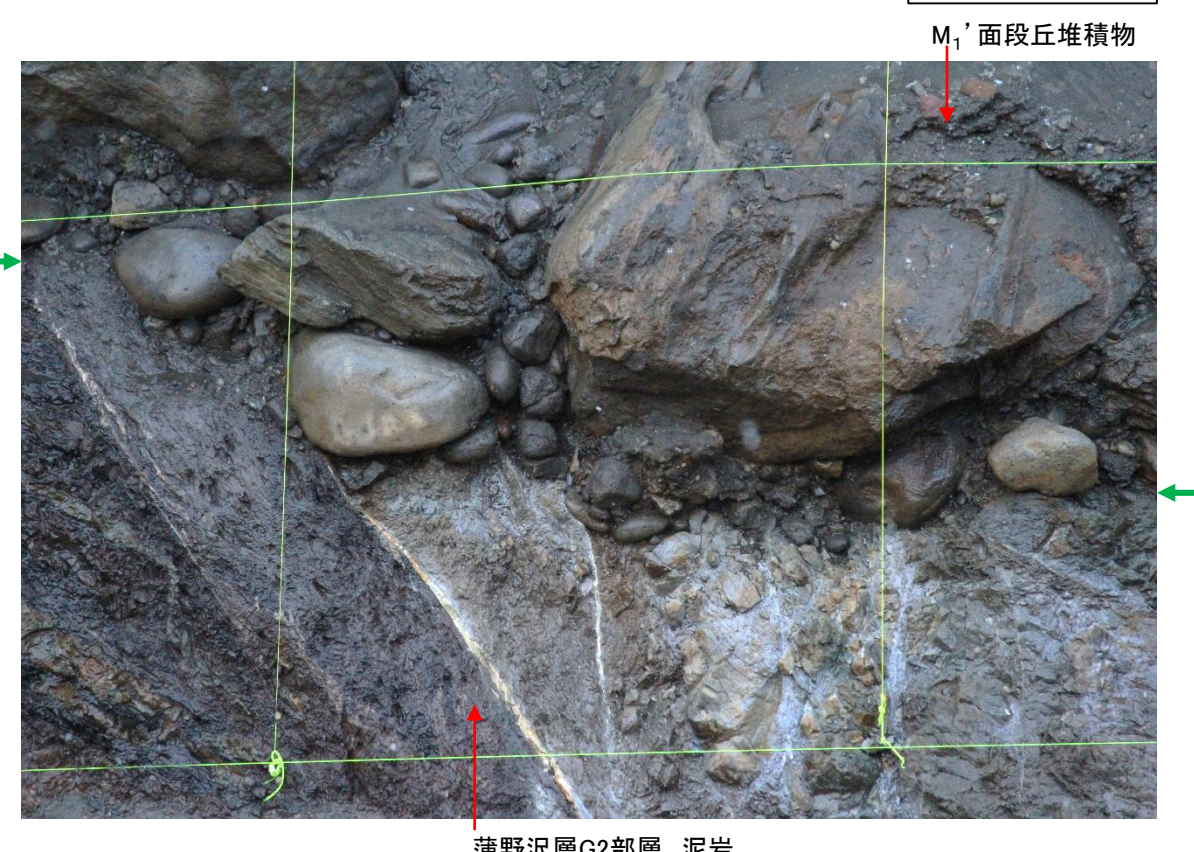
T6(2): 東北電力調査

- H-6断層近傍の岩盤上面は、下盤側の泊層がやや高まっているが、起伏に富み、不整合面の形態をなしている。(写真A)
- 蒲野沢層の岩盤上面には起伏があるが、せん断面、粘土は認められず、平滑ではないことから、不整合面と判断される。(写真B)
- 岩盤上面直上の礫層には、礫の回転、再配列の痕跡は認められない。

完新統	[△△△△]	: 崩土
上部更新統	[Mi']	: M1'面段丘堆積物
蒲野沢層	[G2-ms]	: G2部層 泥岩
泊層	[T3-tb]	: T3部層 凝灰角礫岩・火山礫凝灰岩
	/	: 断層破碎部



写真A H-6断層近傍の岩盤上面の性状

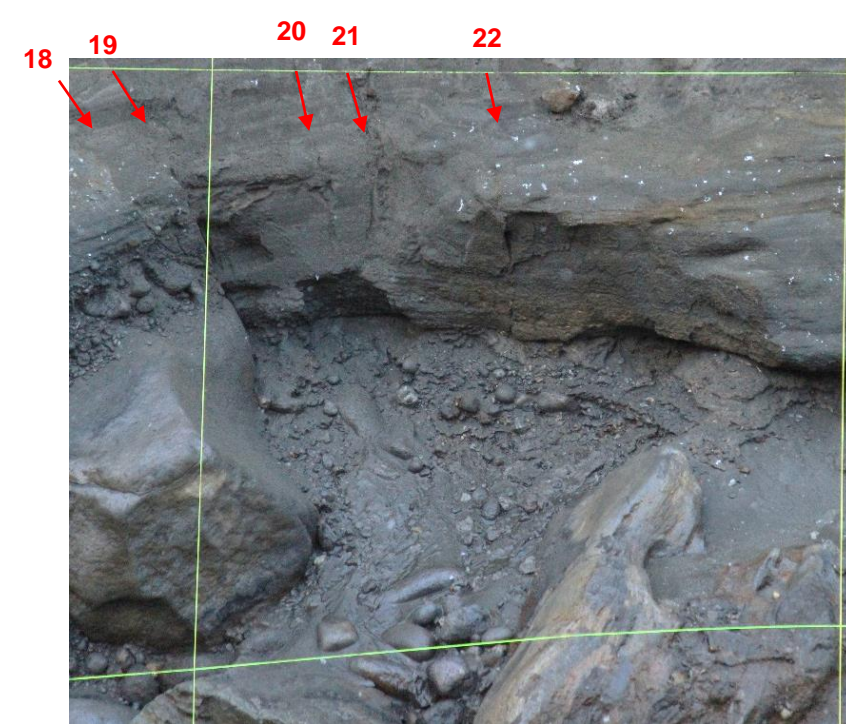
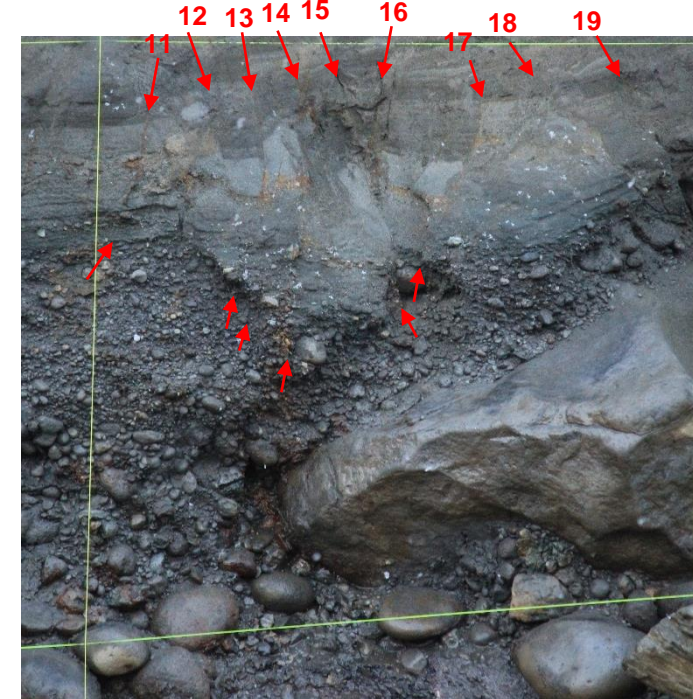
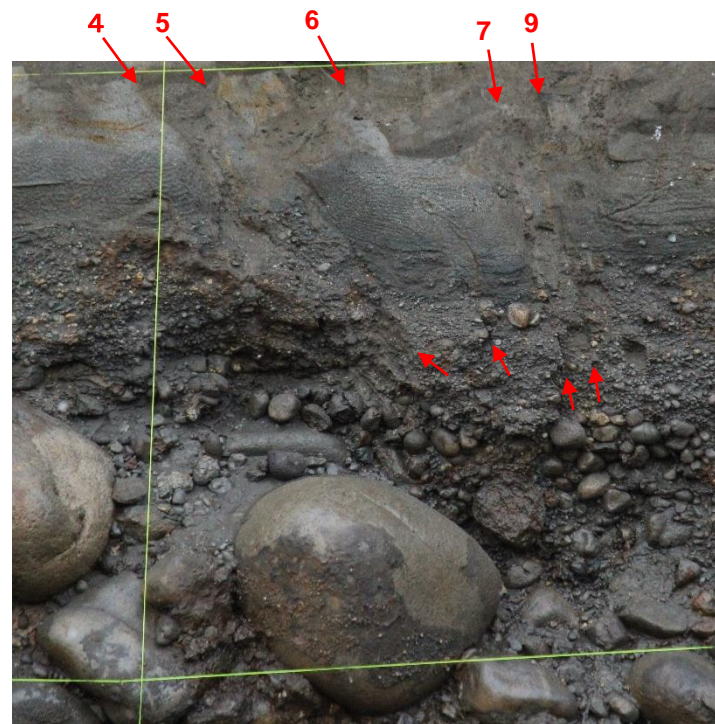
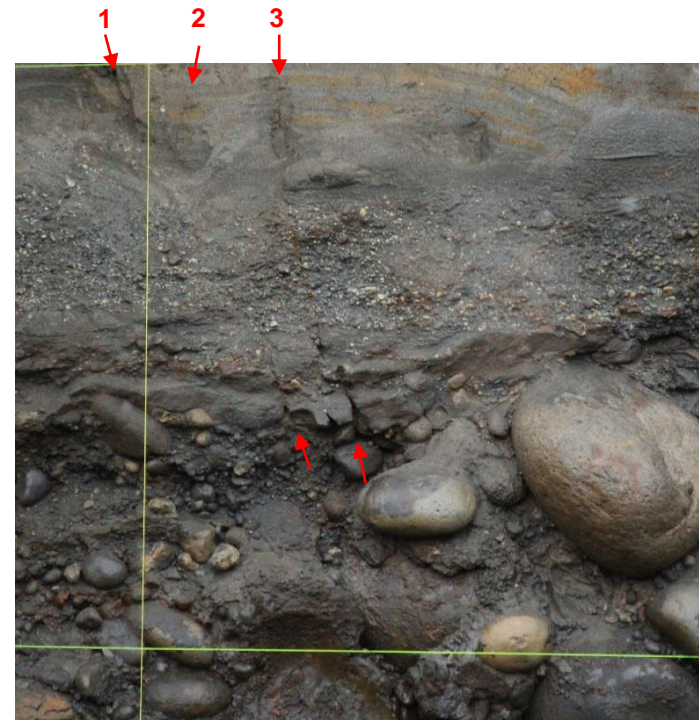
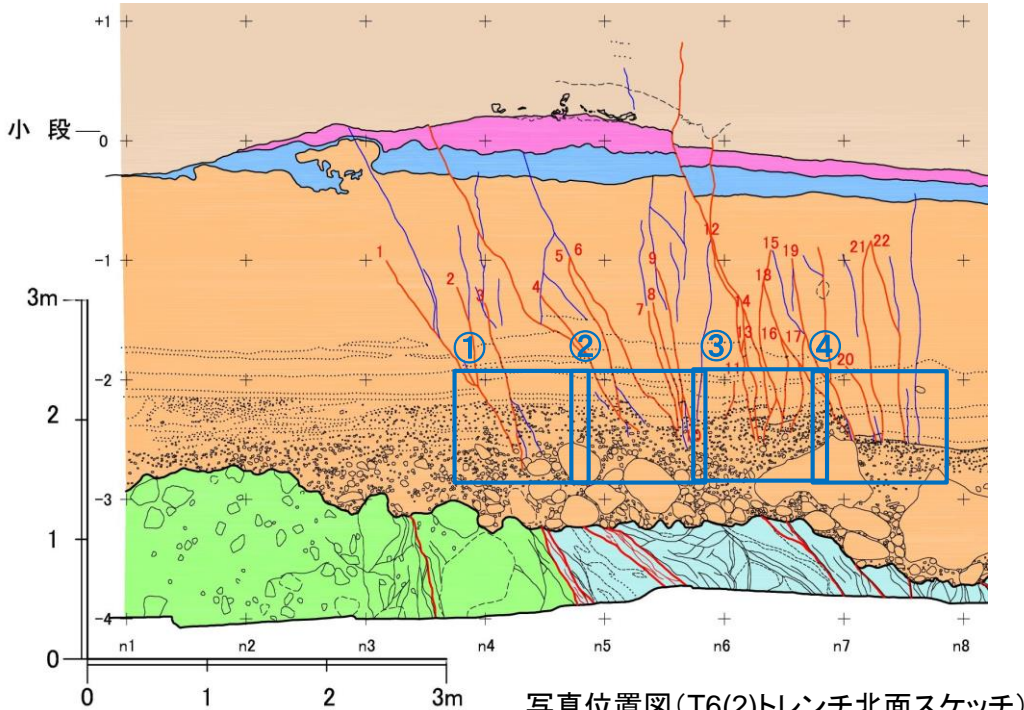


写真B 蒲野沢層の岩盤上面の性状

H-6断層:T6(2)トレーニチ(小断層の下方末端部の性状:北面①)

H28.12.1,2現地調査で確認

T6(2): 東北電力調査



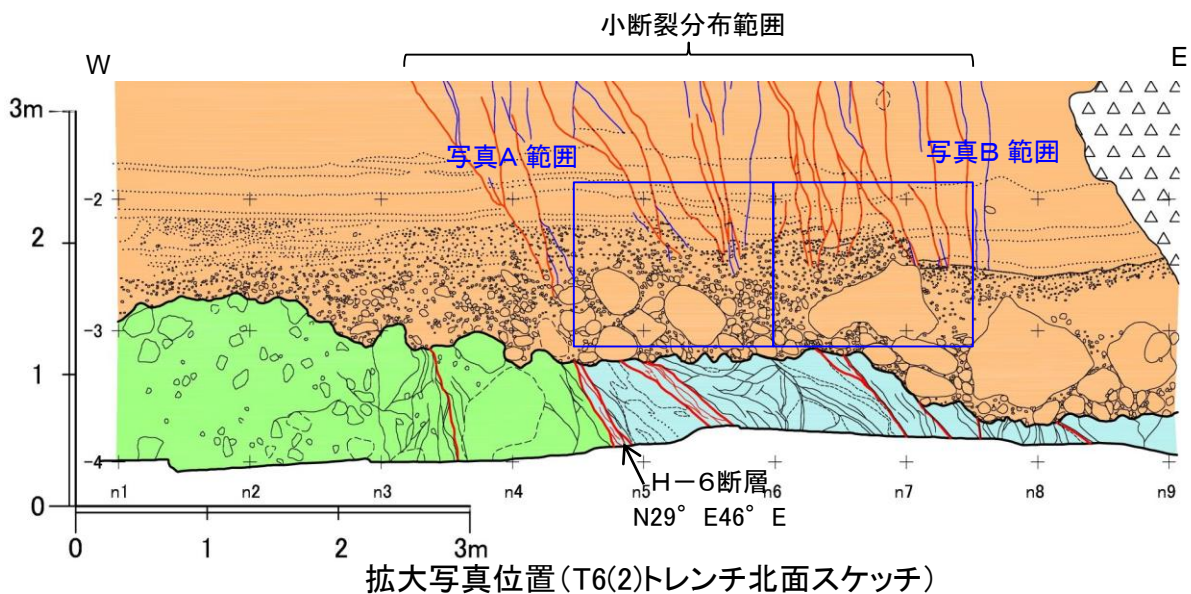
- M₁'面段丘堆積物中に小断層が認められるが、小断層の下方は、M₁'面段丘堆積物の砂層あるいは礫層の中で消滅し、岩盤上面に達するものはない。
- 小断層には、下方延長に巨礫があるものがあるが、礫には回転、再配列を示唆する事象は認められない。

H-6断層:T6(2)トレーニチ(小断層の下方末端部の性状:北面②)

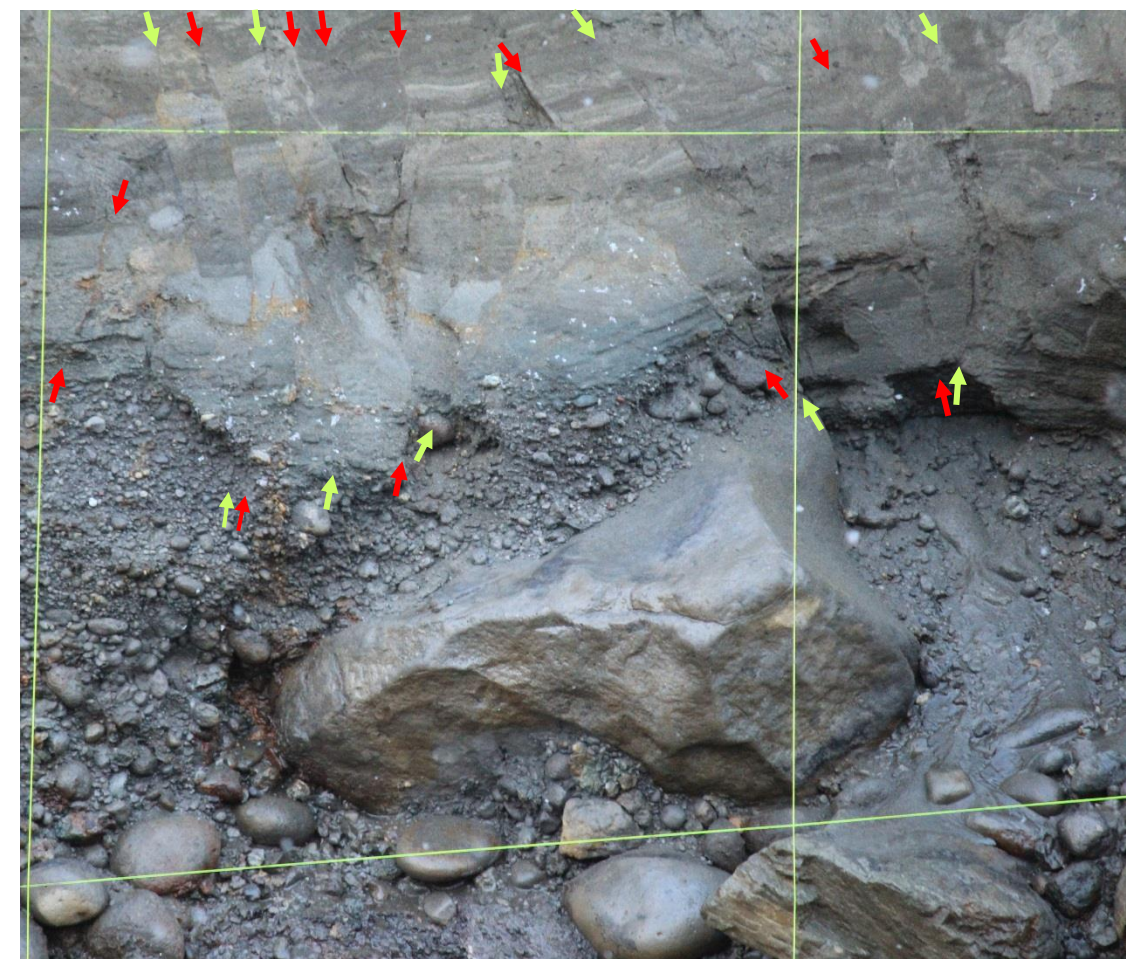
H28.12.1,2現地調査で確認

T6(2): 東北電力調査

- M₁'面段丘堆積物の砂層中に分布する小断層の下方は、砂層と下部の礫層の境界付近で消滅するものが多い。
- 小断層は、巨礫の側部で消滅するものが多い。
- 小断層の下方延長部の礫層には礫の回転、再配列の痕跡は認められない。



写真A 小断層の下方延長は、礫層と砂層の境界付近で消滅する。



写真B 小断層の下方延長は巨礫の側部で消滅する。

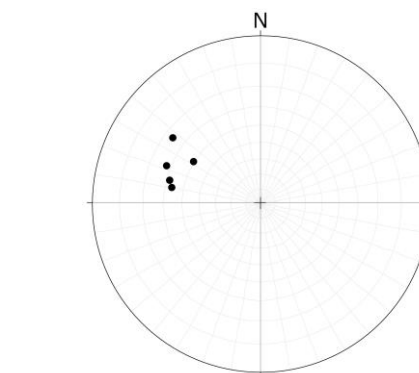
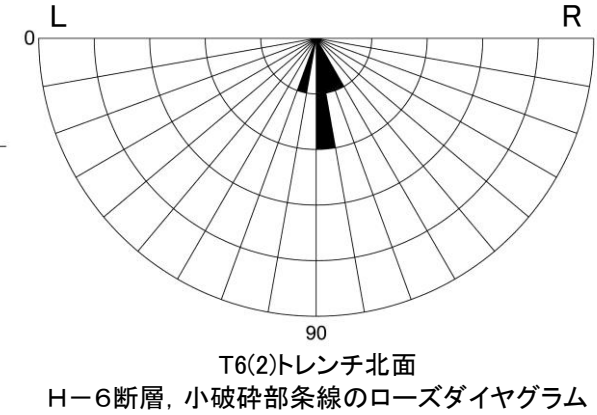
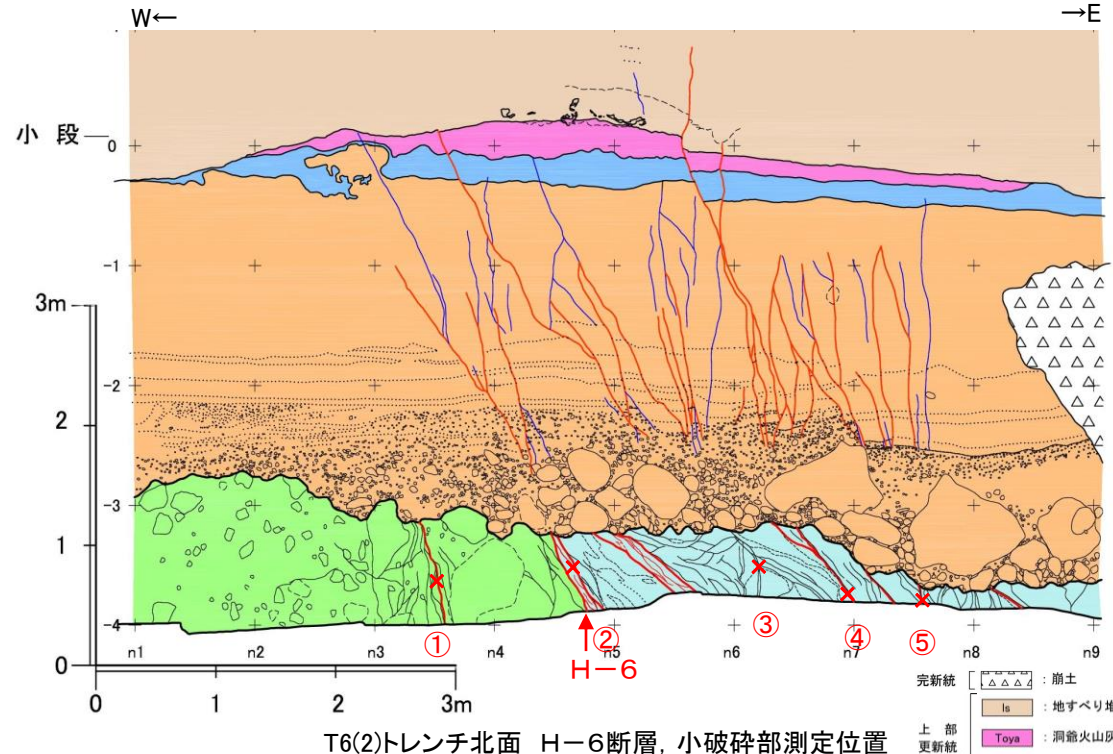
→ 小断層
(色は上下で対応)

H-6断層:T6(2)トレーニチ(破碎部の条線:北面)

H28.12.1,2現地調査で確認

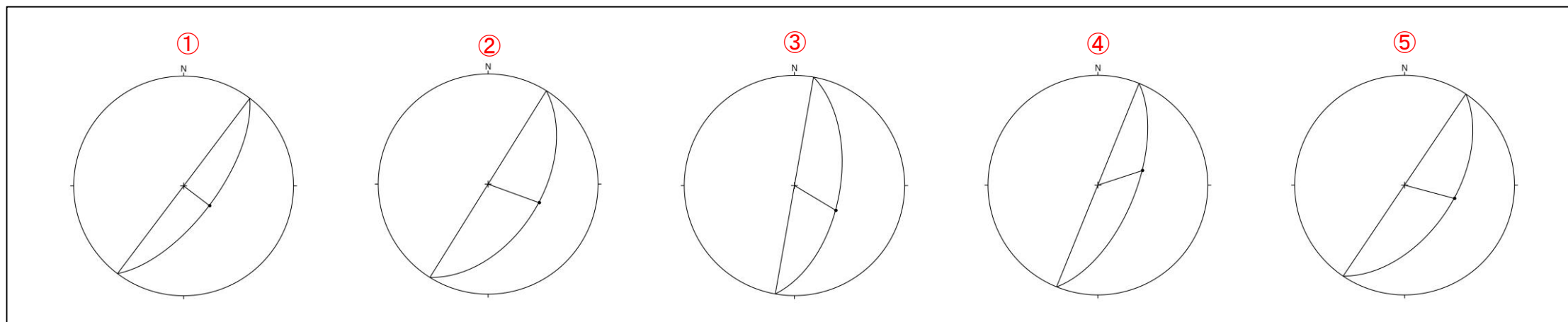
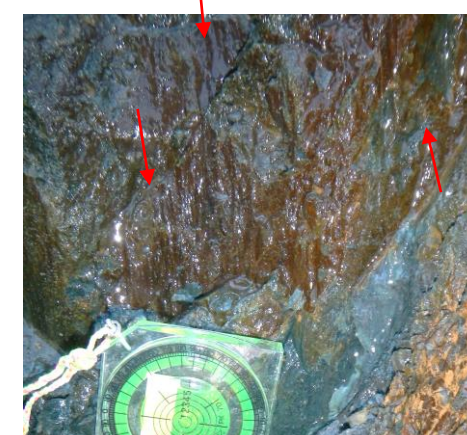
T6(2): 東北電力調査

➤ T6(2)トレーニチ北面のH-6断層及び近傍の小破碎部は、主に上盤の蒲野沢層中に認められ、条線のレイクはR68° ~L78° であり、縦ずれ主体である。



T6(2)トレーニチ北面 H-6断層, 小破碎部の方向

番号	走向	傾斜	条線	備考
①	N37° E	60° E	90°	泊層中
②	N32° E	46° E	R82°	蒲野沢層中
③	N10° E	56° E	L78°	蒲野沢層中
④	N22° E	62° E	R68°	蒲野沢層中
⑤	N34° E	53° E	R78°	蒲野沢層中



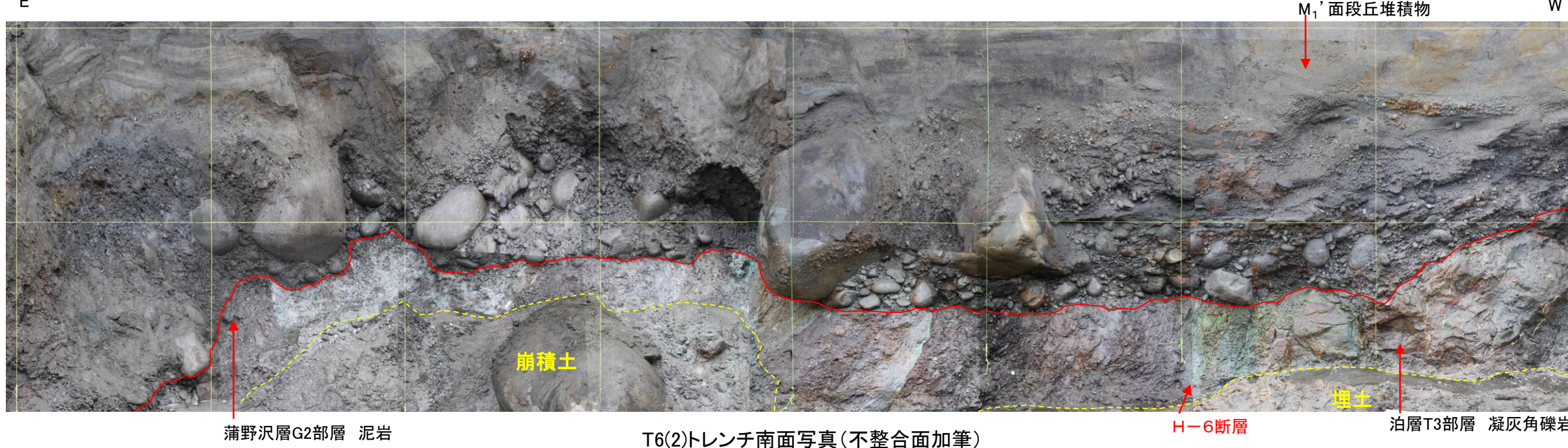
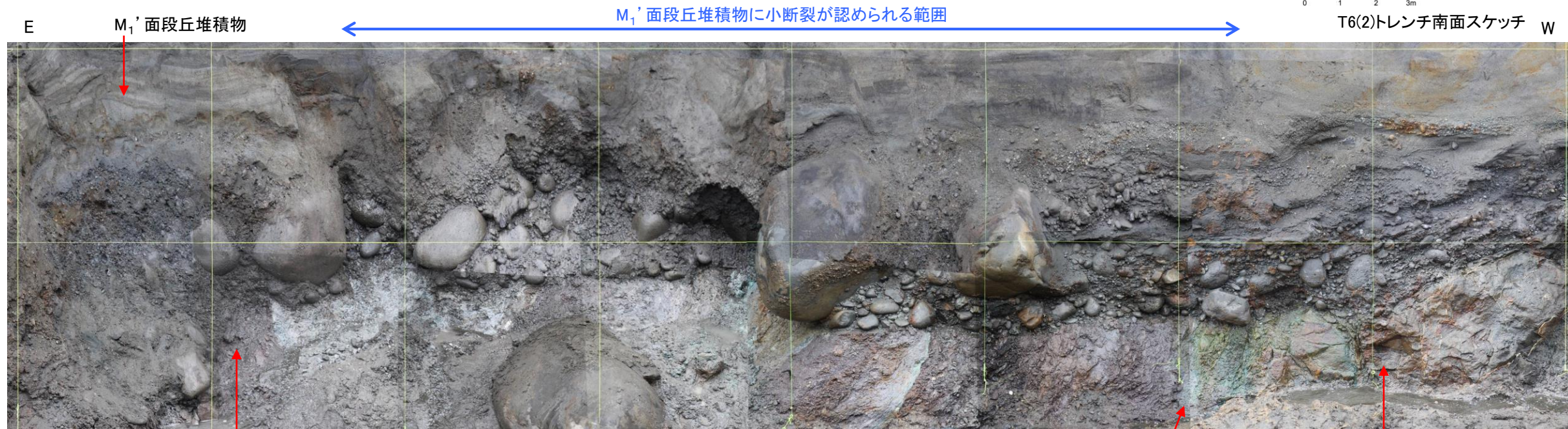
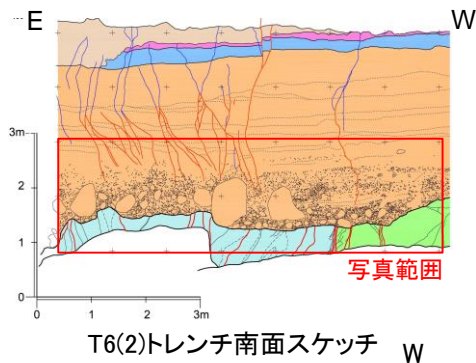
T6(2)トレーニチ北面 H-6断層, 近傍小破碎部条線の方位

H-6断層:T6(2)トレンチ(岩盤上面の形態:南面①)

H28.12.1,2現地調査で確認

T6(2): 東北電力調査

- 岩盤上面には、侵食作用によると考えられる多数の起伏が認められる。H-6断層下盤側(西側)が高くなっているが、泊層凝灰角礫岩が蒲野沢層に比較して硬質であるため、差別侵食に起因するものと判断される。
- H-6断層及び小破碎部箇所の岩盤上面に変位は認められない。H-6断層及び小破碎部は縦ずれ主体であり、M₁'面段丘堆積物堆積以降、断層活動はないことを示している。

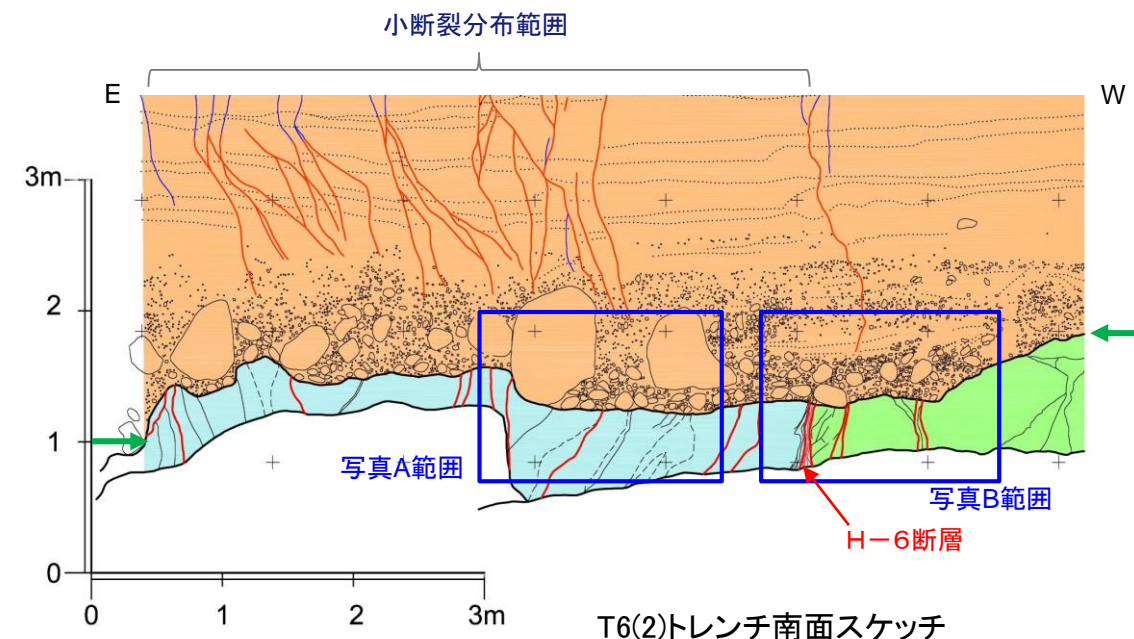


H-6断層:T6(2)トレーニング(岩盤上面の形態:南面②)

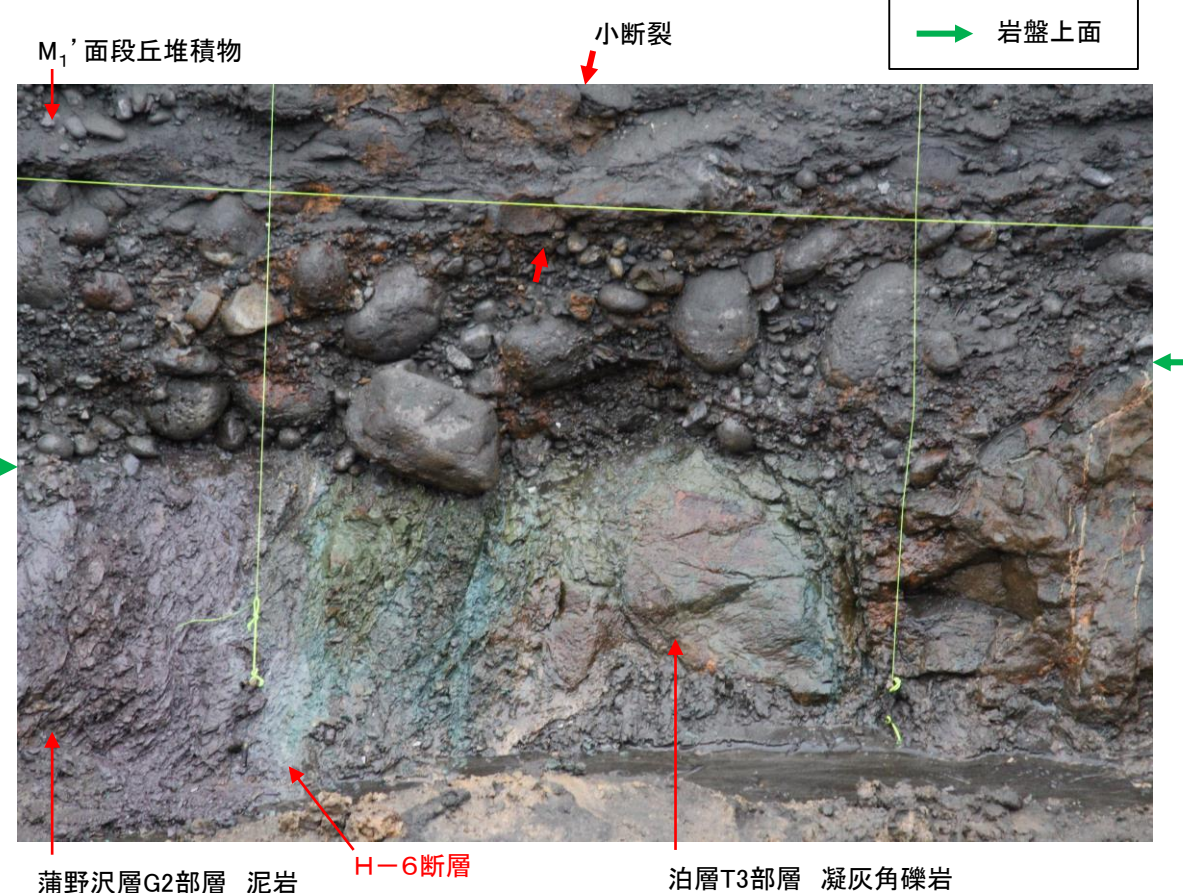
H28.12.1,2現地調査で確認

T6(2): 東北電力調査

- 小断裂が認められる区間の蒲野沢層の岩盤上面は、起伏に富むが、小破碎部に段差ではなく、不整合面の形態をなしている。(写真A)
- H-6断層付近の岩盤上面は、起伏に富むが、小破碎部に段差ではなく、不整合面の形態をなしている。H-6断層付近上方に小断裂がみられるが、下方延長の岩盤上面には段差は認められない。(写真B)
- 岩盤上面直上の礫層には、礫の回転、再配列の痕跡は認められない。



写真A 蒲野沢層中の岩盤上面の性状



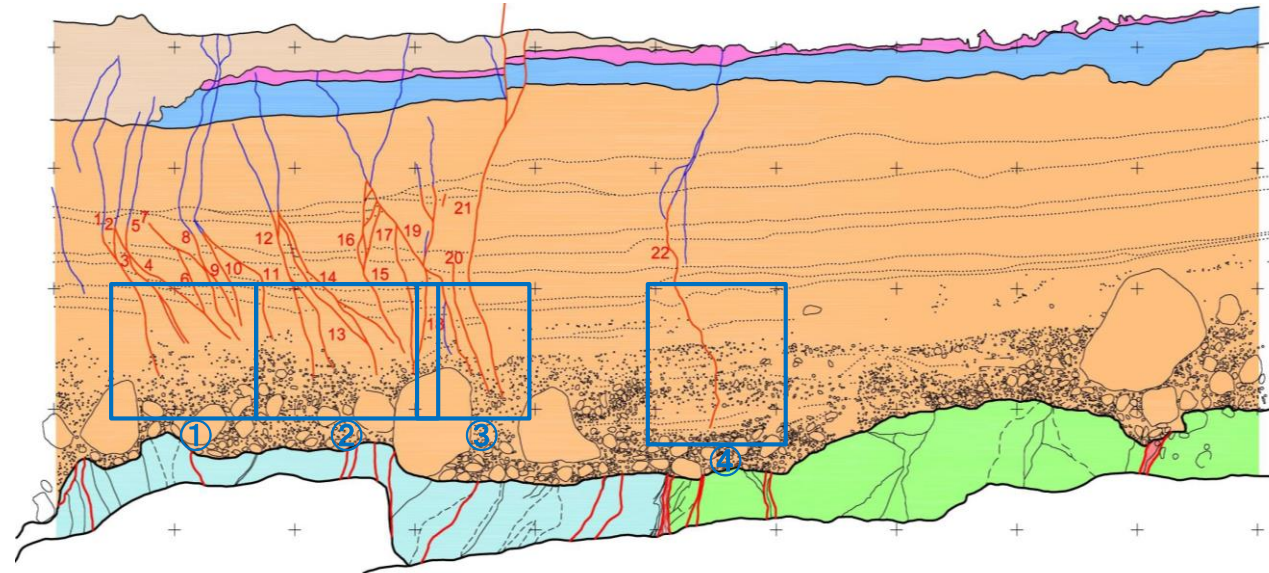
写真B H-6断層近傍の岩盤上面の性状

H-6断層:T6(2)トレンチ(小断裂数の下方末端部の性状:南面①)

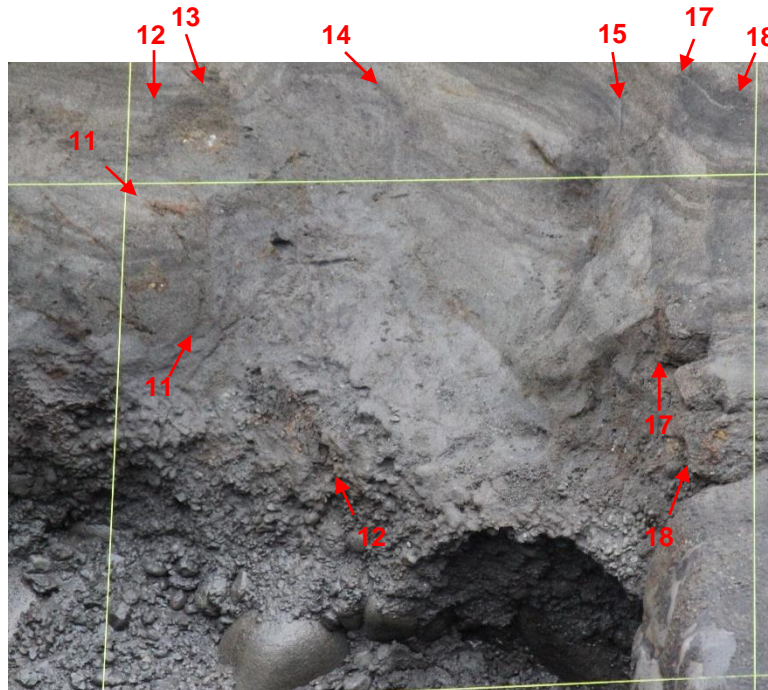
H28.12.1,2現地調査で確認

T6(2): 東北電力調査

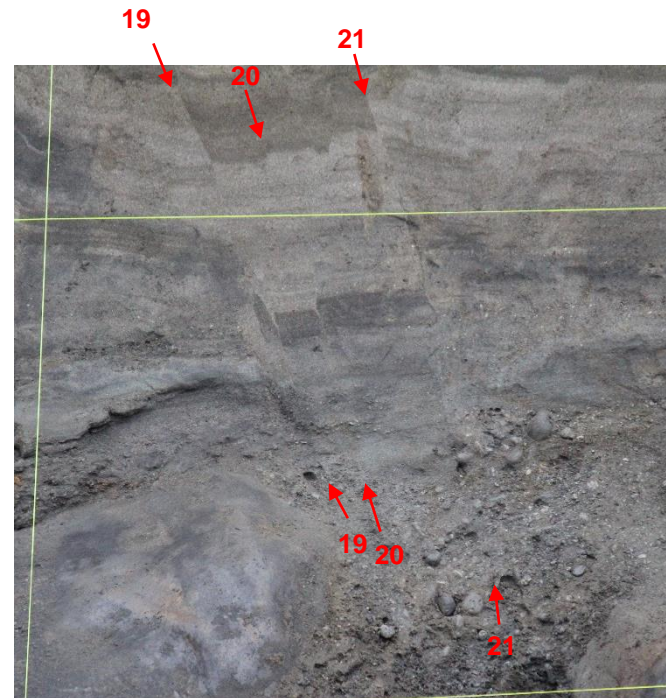
- M₁'面段丘堆積物中に小断裂数が認められるが、小断裂数の下方は、M₁'面段丘堆積物の砂層あるいは礫層の中で消滅し、岩盤上面に達するものはない。
- 小断製数には、下方延長に巨礫があるものがあるが、礫には回転、再配列を示唆する事象は認められない。



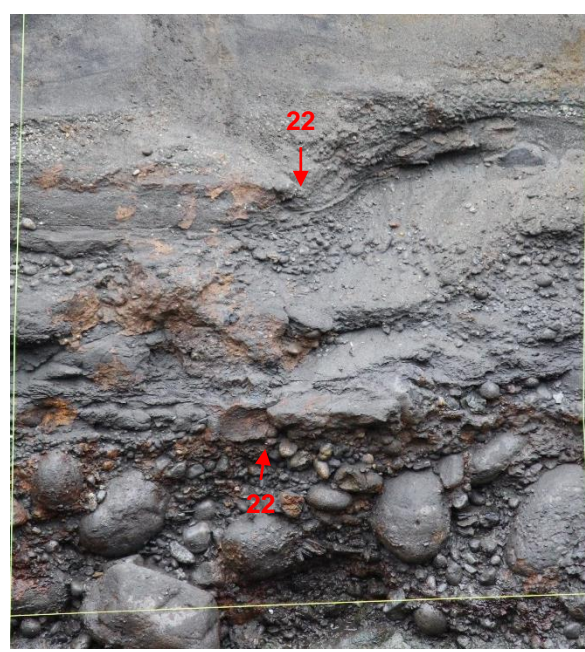
① 小断裂数1~10
小断裂数は砂層と礫層の境界付近で不明瞭となる。



② 小断裂数11~18
小断裂数は砂層と礫層の境界あるいは礫層中で不明瞭となる。



③ 小断裂数19~21
小断裂数は礫層中で不明瞭となる



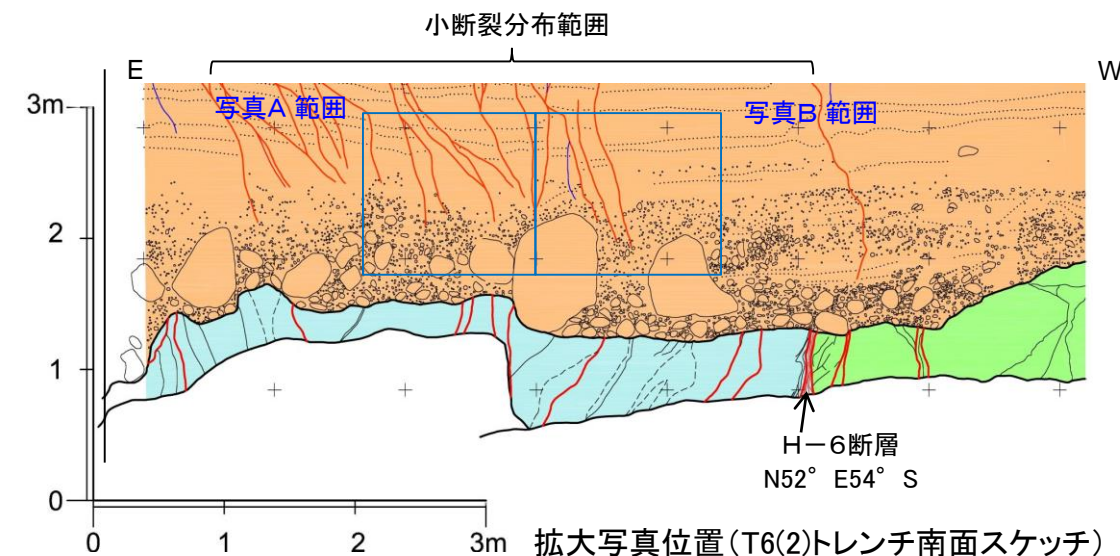
④ 小断裂数22
小断裂数は礫層中では断続的で不明瞭

H-6断層:T6(2)トレンチ(小断裂の下方末端部の性状:南面②)

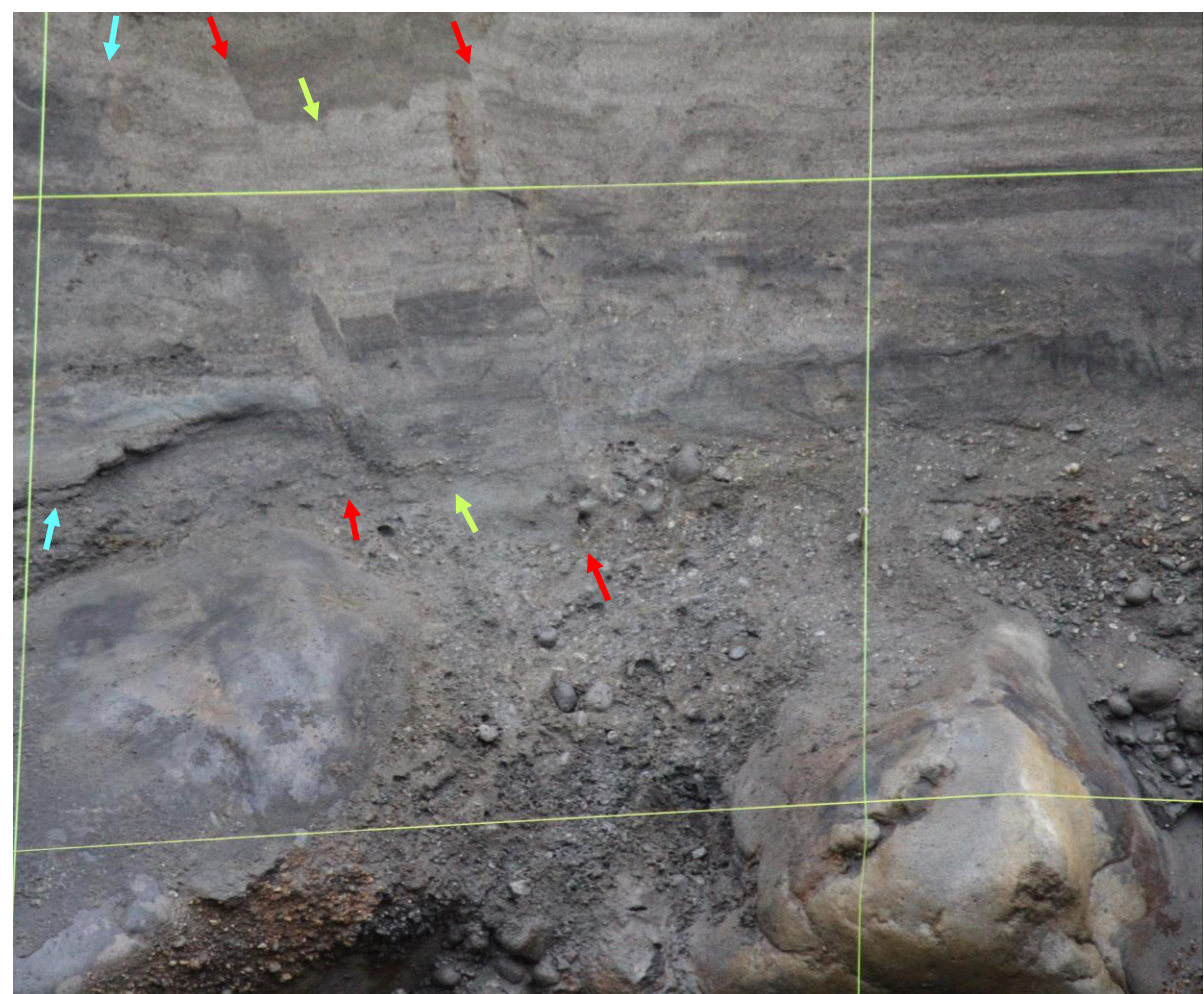
H28.12.1,2現地調査で確認

T6(2): 東北電力調査

- M₁'面段丘堆積物の砂層中に分布する小断裂の下方は、砂層と下部の礫層の境界付近で消滅するものが多い。
- 小断裂は、巨礫の側部で消滅するものが多い。
- 小断裂の下方延長部の礫層には礫の回転、再配列の痕跡は認められない。



写真A 小断裂の下方延長は、礫層と砂層の境界付近で消滅する。



写真B 小断裂の下方延長は巨礫の側部で消滅するものが多い。

→ 小断裂
（色は上下で対応）

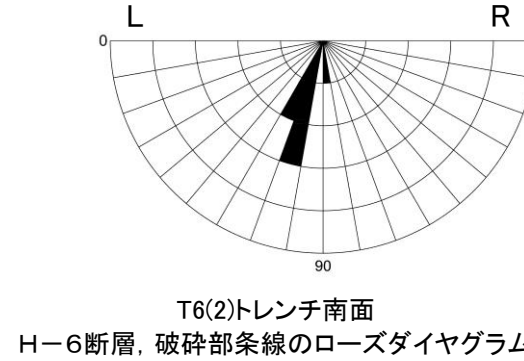
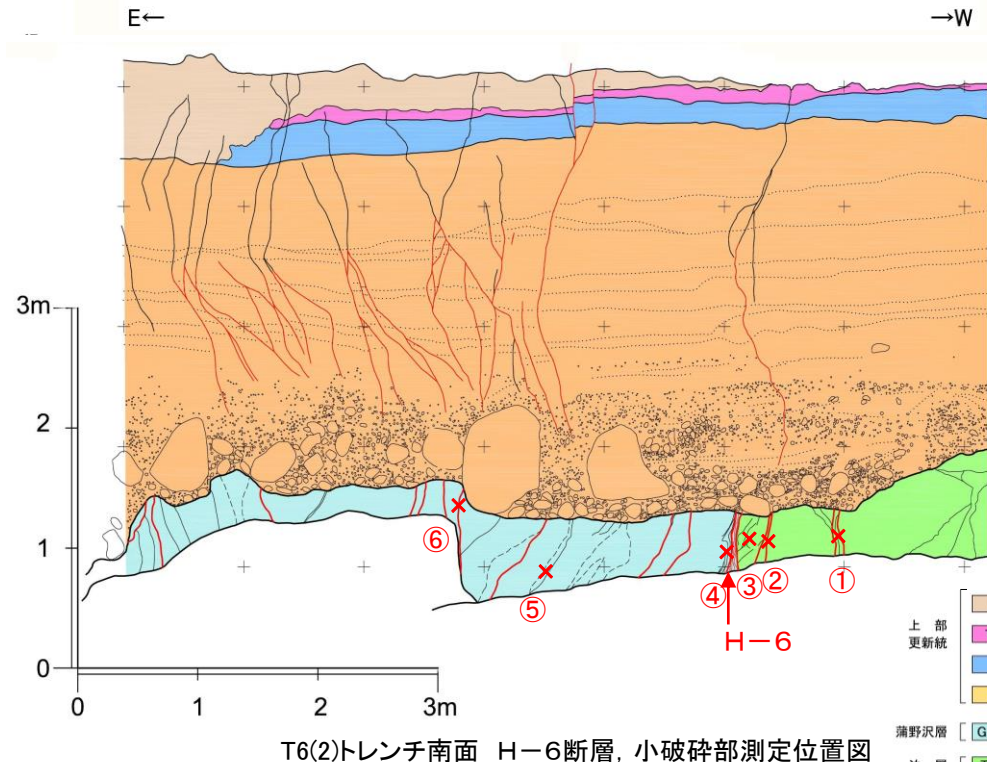
より、そう、ちから。
東北電力

H-6断層:T6(2)トレーニチ(破碎部の条線:南面)

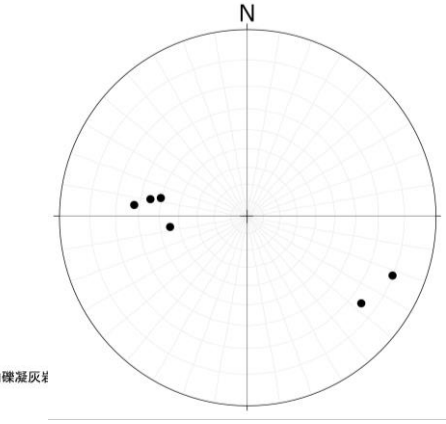
H28.12.1,2現地調査で確認

T6(2): 東北電力調査

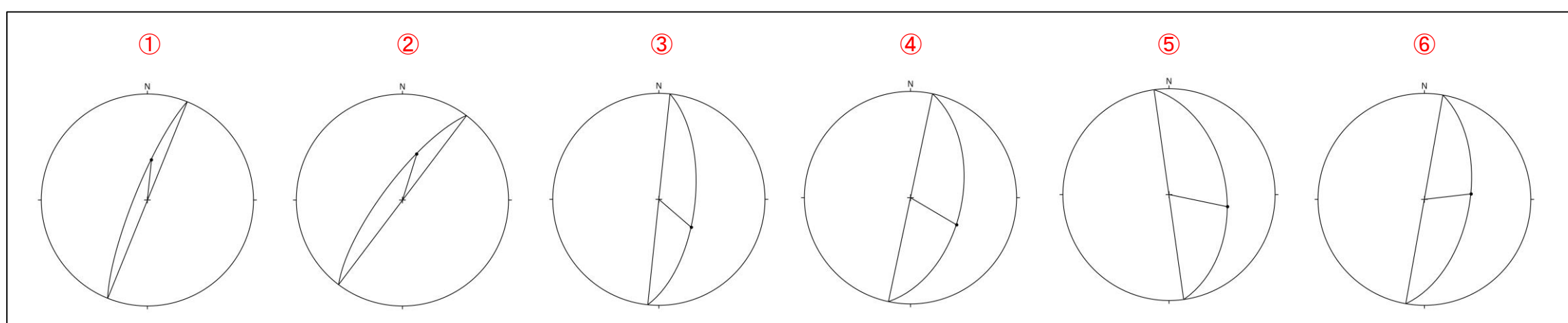
➤ T6(2)トレーニチ南面のH-6断層及び近傍の小破碎部は、主に上盤の蒲野沢層中に認められ、条線のレイクは、L55°～R80°であり、縦ずれ主体である。



T6(2)トレーニチ北面 H-6断層, 小破碎部の方向				
番号	走向	傾斜	条線	備考
①	N22° E	80° W	L60°	泊層中
②	N37° E	75° N	L55°	泊層中
③	N6° E	62° E	L72°	泊層中
④	N12° E	50° E	L78°	蒲野沢層中
⑤	N8° W	45° E	L76°	蒲野沢層中
⑥	N10° E	55° E	R80°	蒲野沢層中



T6(2)トレーニチ南面
⑥破碎部の条線



T6(2)トレーニチ南面 H-6断層, 小破碎部条線の方位

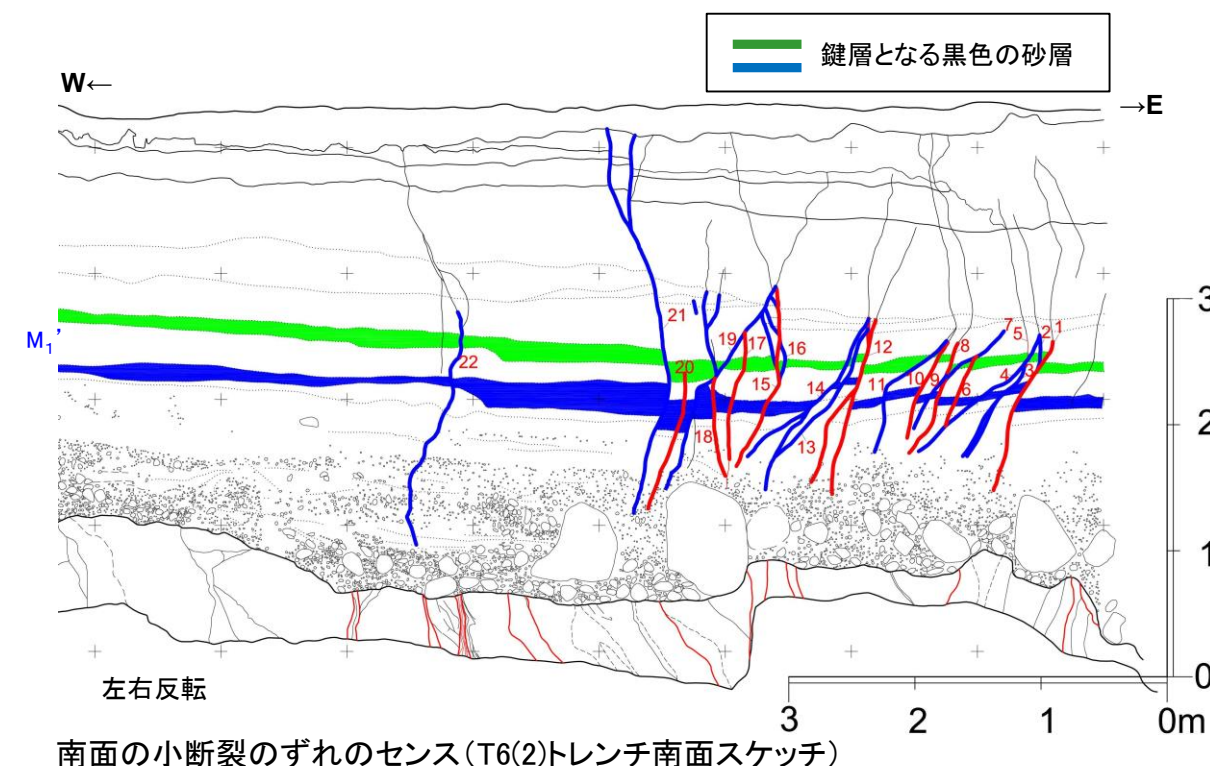
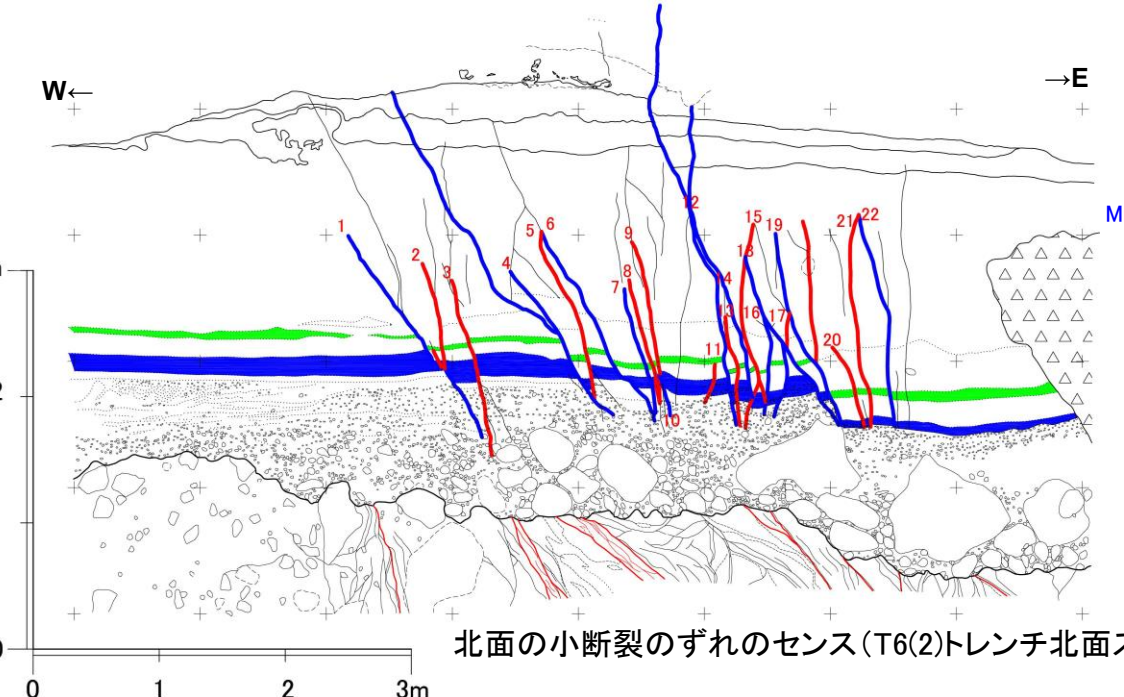
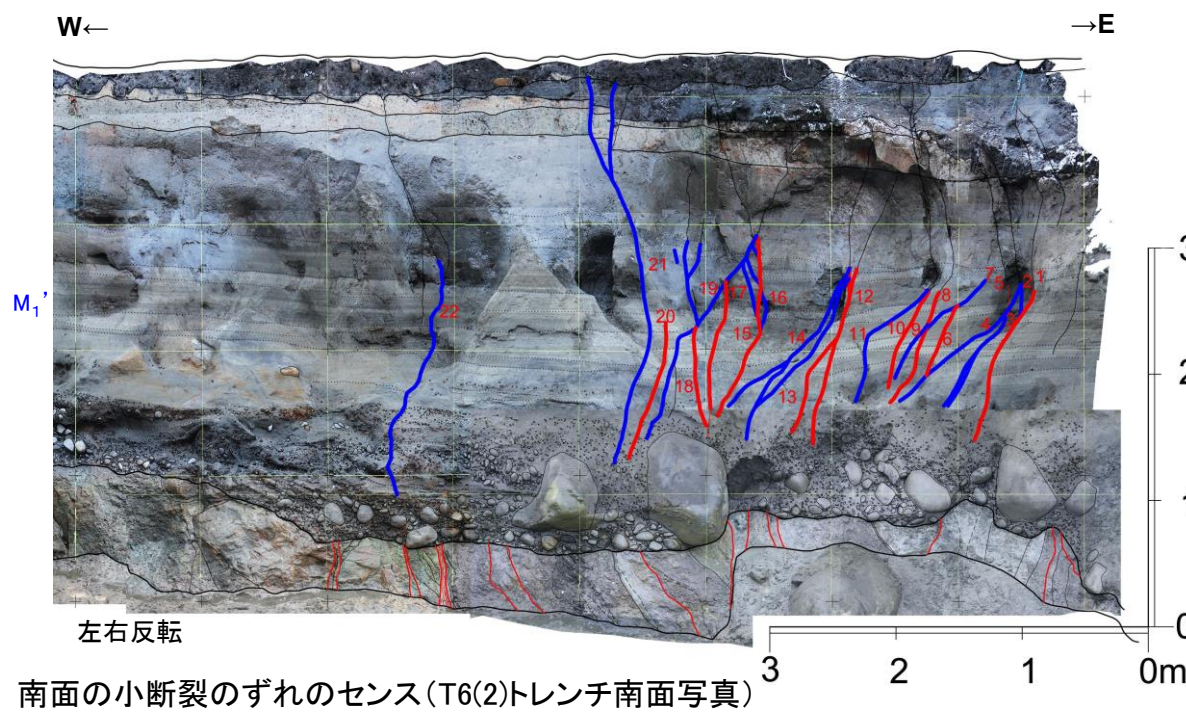
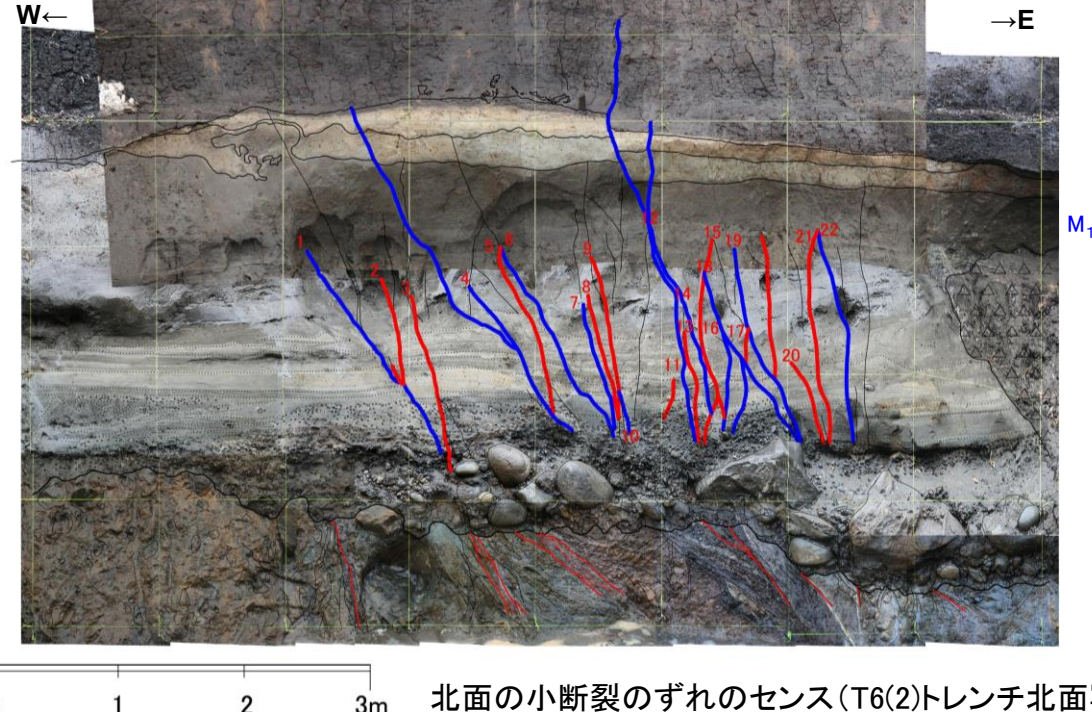
H-6断層:T6(2)トレーニチ(小断層の性状)

H28.12.1,2現地調査で確認

T6(2): 東北電力調査

- M₁'面段丘堆積物中に認められる小断層は、正断層センスと逆断層センスの小断層が混在している。
- 小断層は、いずれも高角度であり、傾斜、小断層の分布、ずれのセンスに規則性は認められない。

— 正断層センスの小断層
— 逆断層センスの小断層

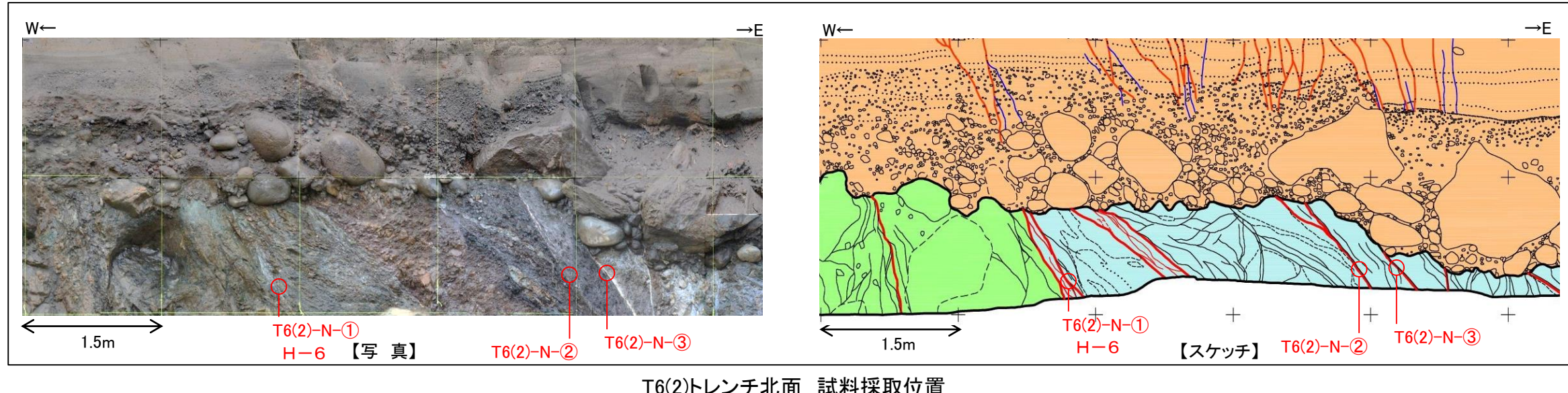


*南面は法面中央が湾曲するため小断層が屈曲しているが、実際には直線的なものが多い

H-6断層(F-1断層)の鉱物組成:T6(2)トレンチ北面

T6(2): 東京電力(2010)

▶ T6(2)トレンチ北面のH-6断層及び主に断層上盤の蒲野沢層中に分布する破碎部は、変質鉱物としてスメクタイト、カオリナイト、菱鉄鉱を含み、一部で雲母鉱物が含まれている。

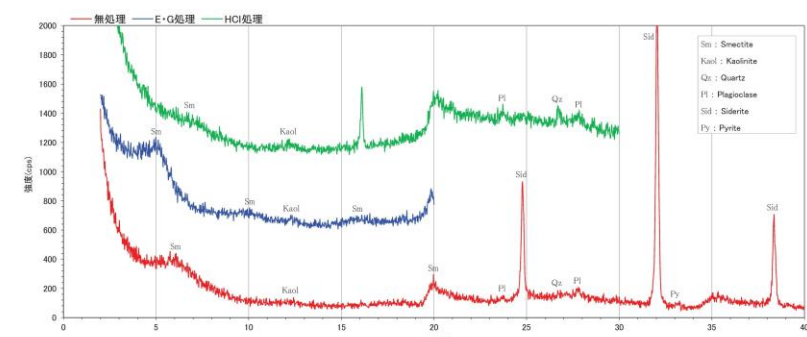
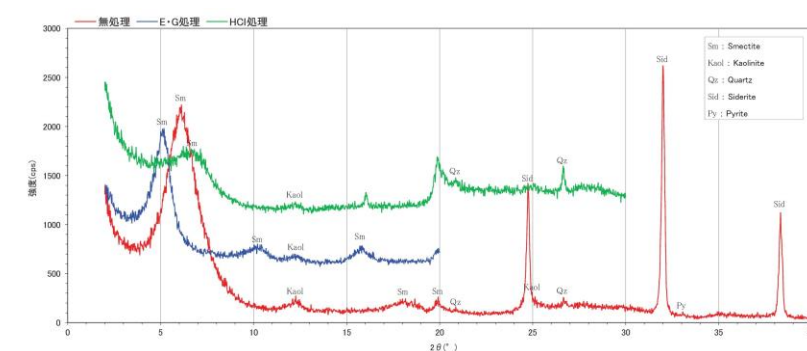
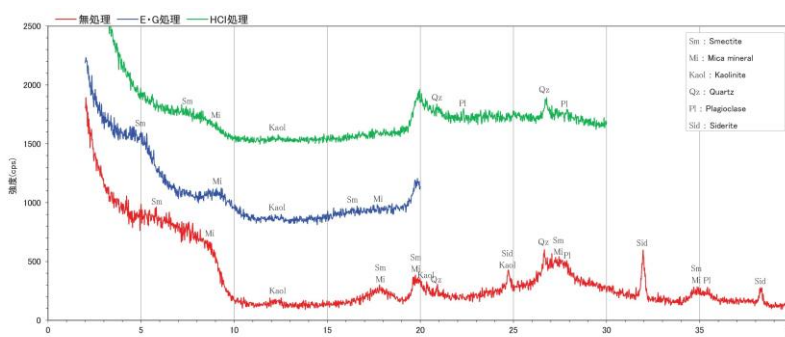


T6(2)トレンチ北面 試料採取位置

試料名	T6(2)-N-①
試料の性状	H-6断層破碎部: 暗灰色粘土

試料名	T6(2)-N-②
試料の性状	蒲野沢層中の破碎部: 黄白色粘土

試料名	T6(2)-N-③
試料の性状	蒲野沢層中の破碎部: 淡褐色粘土



鉱物名(記号)
スメクタイト(Sm)
雲母鉱物(Mi)
カオリナイト(Kaol)
石英(Qz)
斜長石(Pl)
菱鉄鉱(Sid)
スピネル(Sp)

鉱物名(記号)
スメクタイト(Sm)
カオリナイト(Kaol)
石英(Qz)
菱鉄鉱(Sid)
黄鉄鉱(Py)

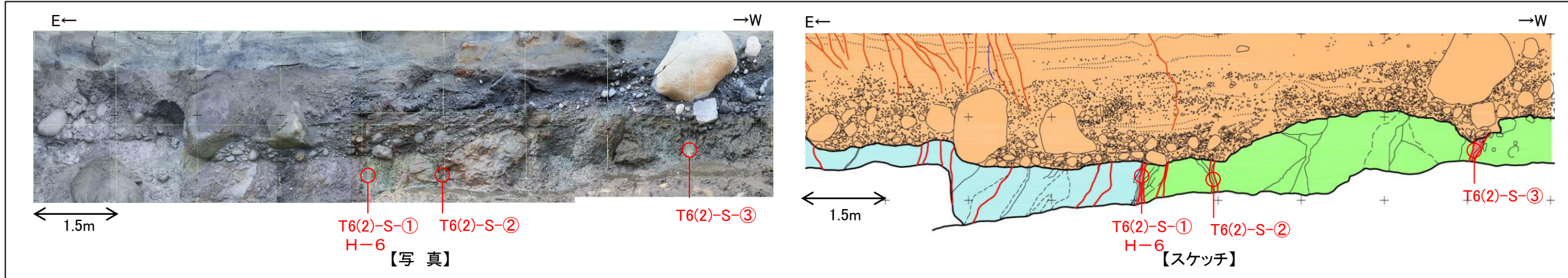
鉱物名(記号)
スメクタイト(Sm)
カオリナイト(Kaol)
石英(Qz)
斜長石(Pl)
菱鉄鉱(Sid)
黄鉄鉱(Py)

T6(2)トレンチ北面 XRD分析結果

H-6断層(F-1断層)の鉱物組成:T6(2)トレーニング南面

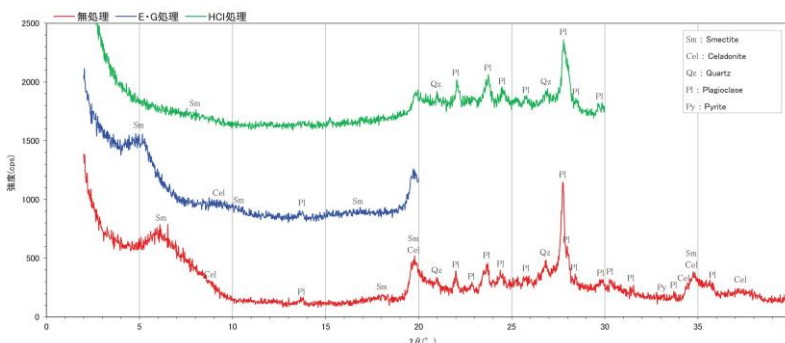
T6(2): 東京電力(2010)

➤ T6(2)トレーニング南面のH-6断層及び断層下盤の泊層中の破碎部は、変質鉱物としてスメクタイト、セラドナイトを含む箇所と、セピオライトを主体とする箇所がある。

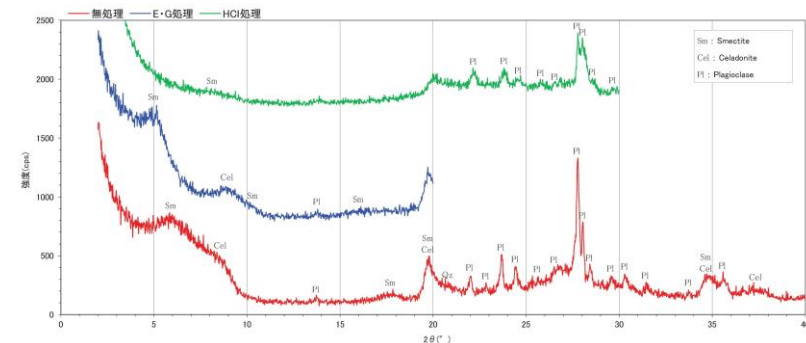


T6(2)トレーニング南面 試料採取位置

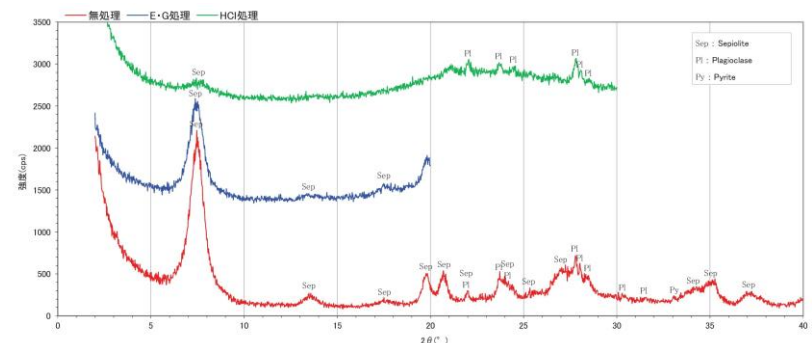
試料名	T6(2)-S-①
試料の性状	H-6断層: 緑灰色粘土



試料名	T6(2)-S-②
試料の性状	泊層中の小破碎部: 暗灰緑色粘土



試料名	T6(2)-S-③
試料の性状	泊層中の小破碎部: 青灰色粘土



鉱物名(記号)
スメクタイト(Sm)
セラドナイト(Cel)
石英(Qz)
斜長石(Pl)
黄鉄鉱(Py)
スピネル(Sp)

鉱物名(記号)
スメクタイト(Sm)
セラドナイト(Cel)
斜長石(Pl)
スピネル(Sp)

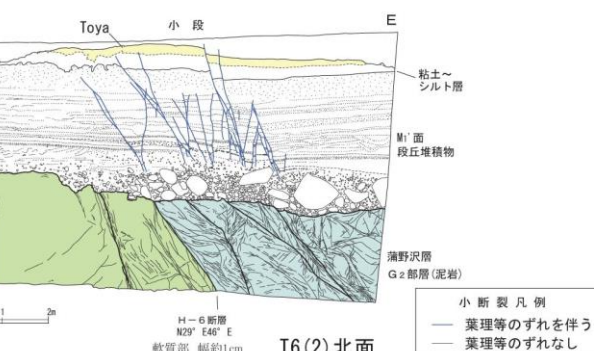
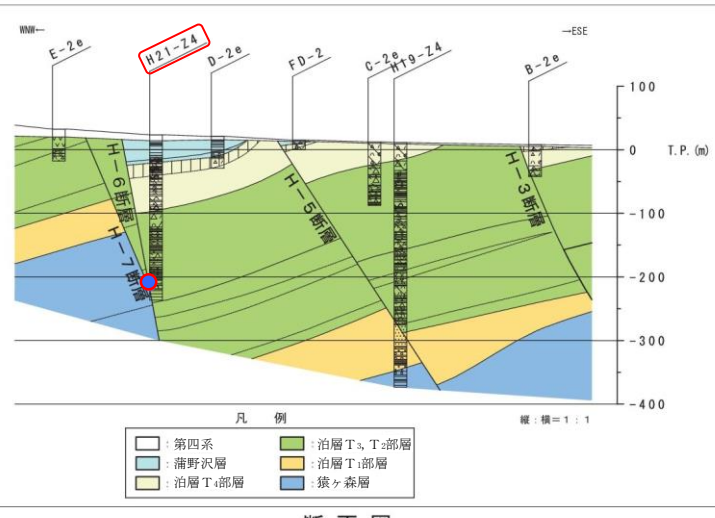
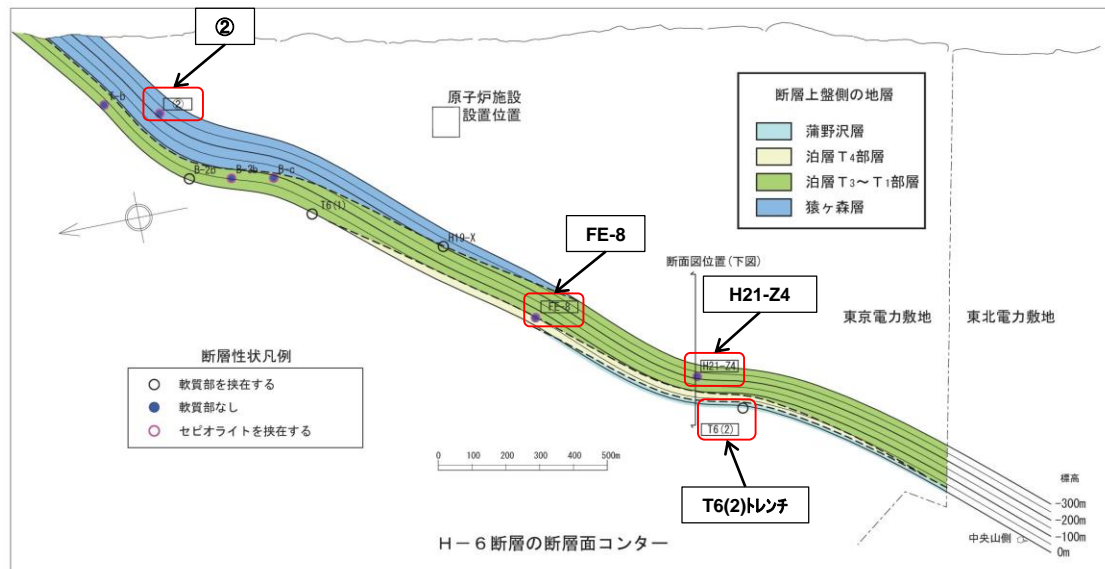
鉱物名(記号)
セピオライト(Sep)
斜長石(Pl)
黄鉄鉱(Py)

T6(2)トレーニング北面 XRD分析結果

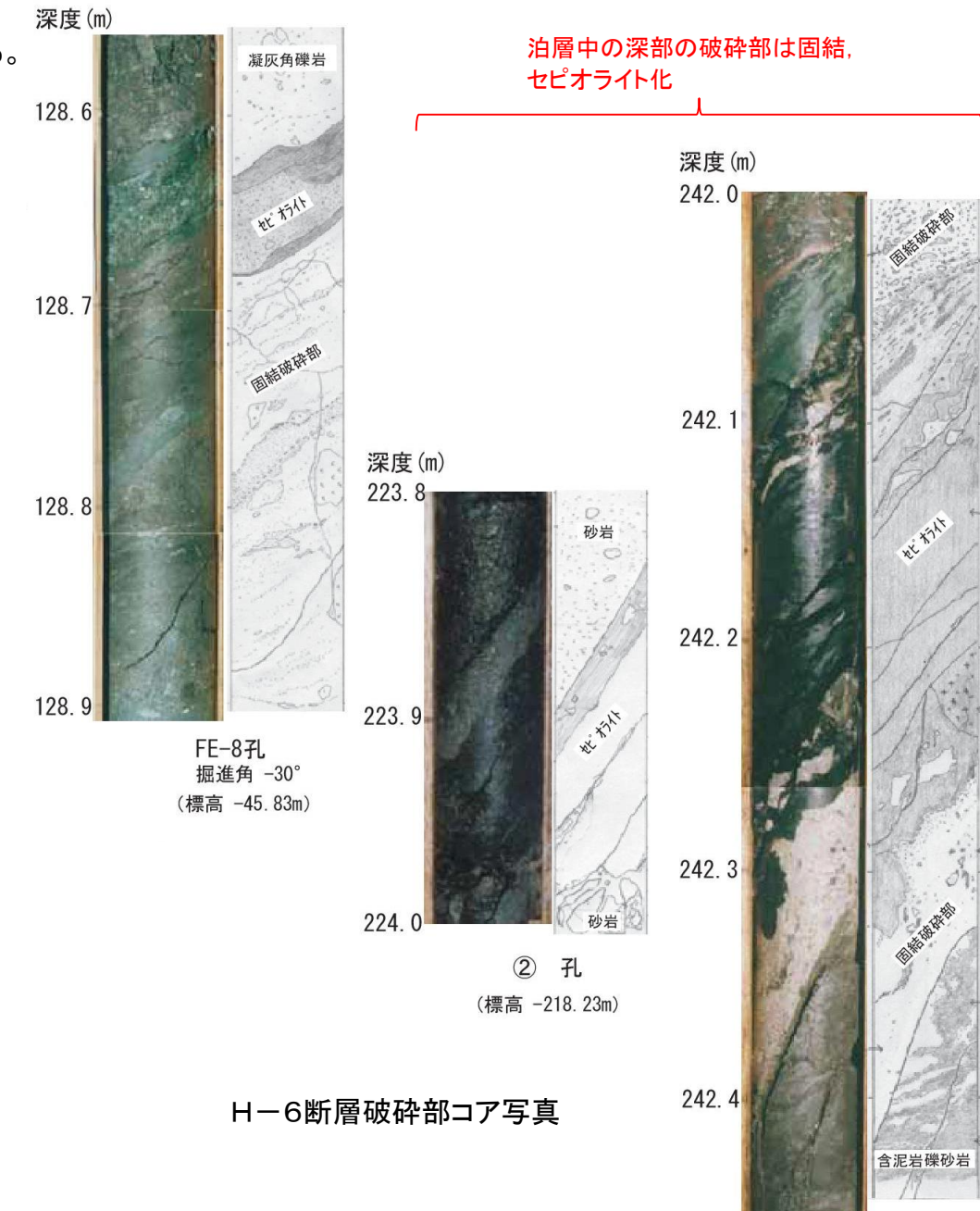
H-6断層:T6(2)トレーニング付近の断層破碎部の性状

H28.12.1,2現地調査で確認

- H-6断層は、T6(2)トレーニングで第四系に変状が認められているが、直近の断面上で実施されたH21-Z4孔において、深部では破碎部が固結し、断層ガウジを伴うシャープな断层面は認められないことが確認されている。
- H-6断層で行った②孔、FE-8孔等の他のボーリングにおいてもセピオライトを狭在した固結破碎部を確認している。



T6(2)トレーニチのH-6断層写真



H-6断層破碎部コア写真

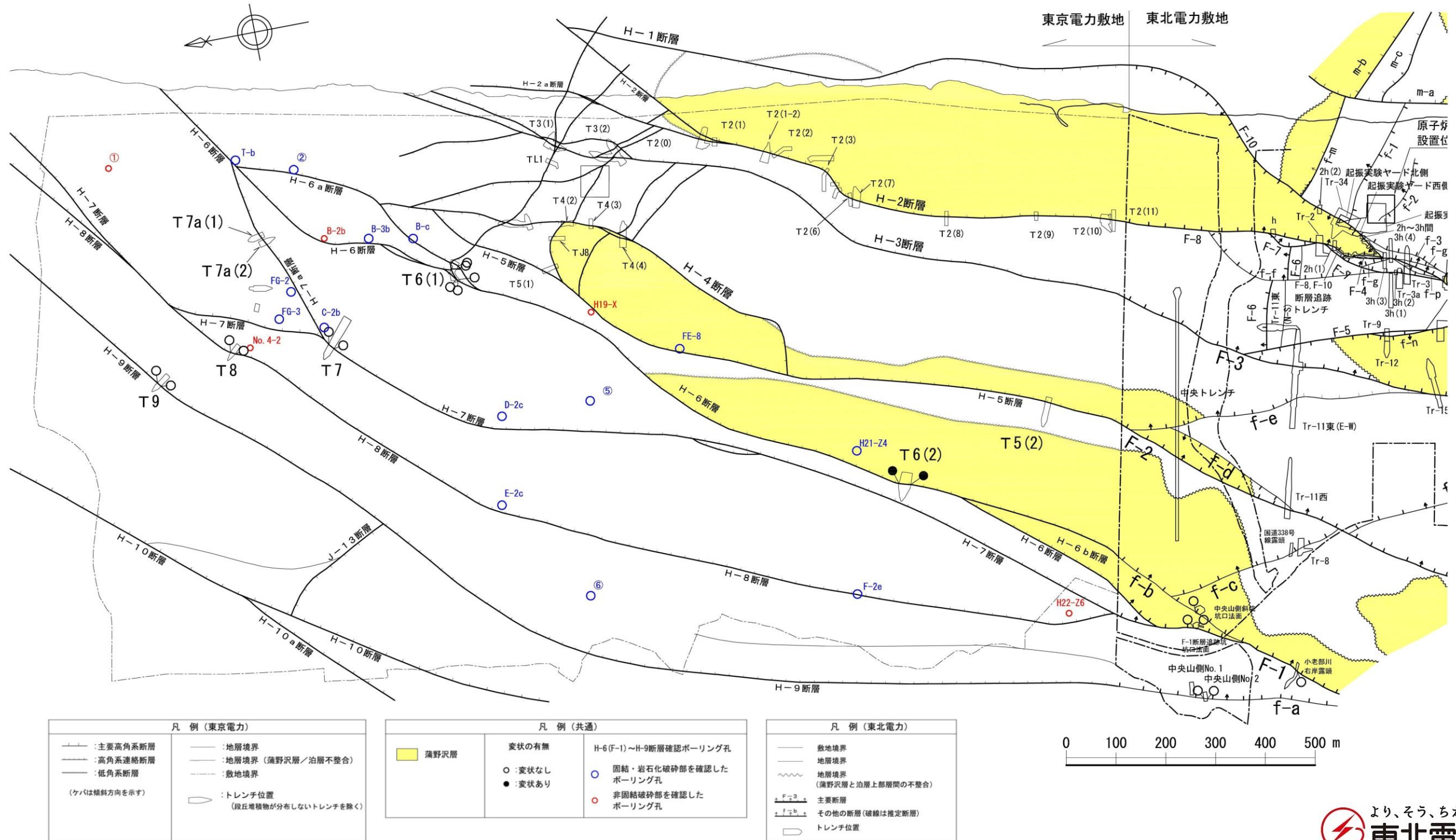
- H-6断層においては、東北電力敷地のトレーニチを含めると、3箇所中1箇所のトレーニチで変状が認められ、一部、標高-200m付近に軟質部を挟在する箇所があるが、多くは標高-50m付近を境として、それ以浅では軟質部を挟在し、それ以深ではセピオライト脈を伴うことが多い固結破碎部からなる。
- 深部のコアにおいて、活断層に特徴的な繰り返しの活動によって形成される断層破碎部及び最新活動面を示すガウジを伴うシャープな断层面は認められない。

「東京電力株式会社東通原子力発電所 敷地の地質・地質構造 敷地の断層にみられる変状について、資料第113C-10-5号(平成22年11月)」に加筆

4. 一切山東方断層(F-1断層)の露頭・トレンチ調査結果

一切山東方断層(F-1断層)の固結・岩石化

➤ H-6断層, H-7断層, H-8断層の地下深部においては、広い範囲で断層破碎部が固結・岩石化していることを確認している。

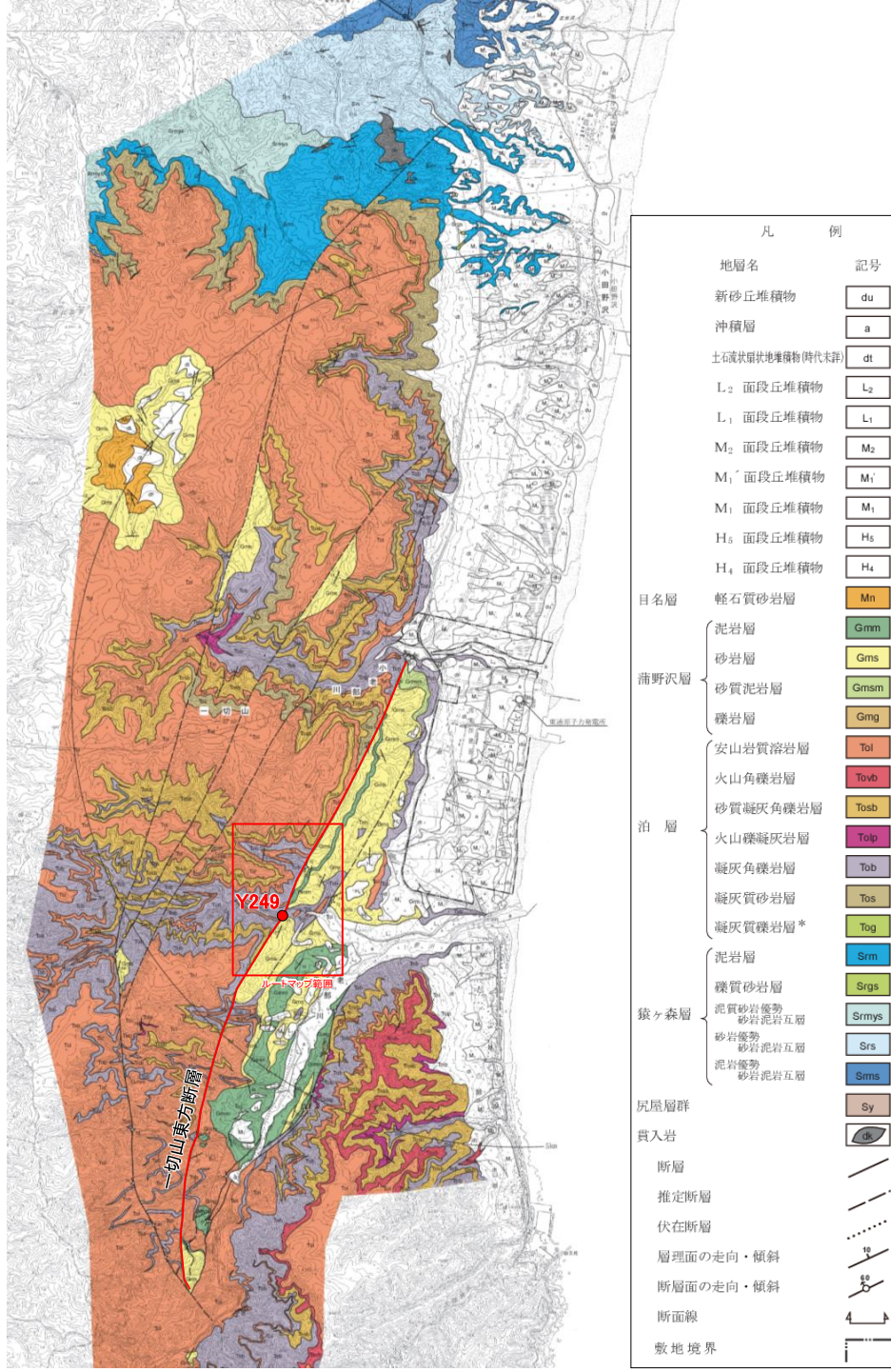


4. 一切山東方断層(F-1断層)の露頭・トレーニング調査結果

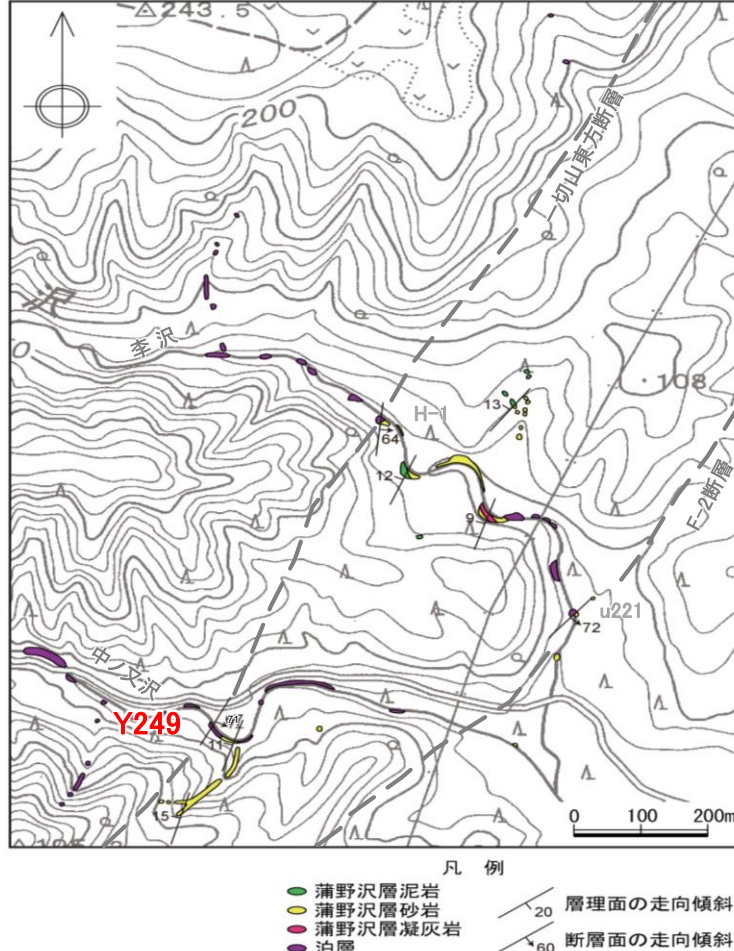
一切山東方断層(F-1断層)の固結・岩石化(中ノ又沢Y249地点①)

H28.12.1,2現地調査で確認

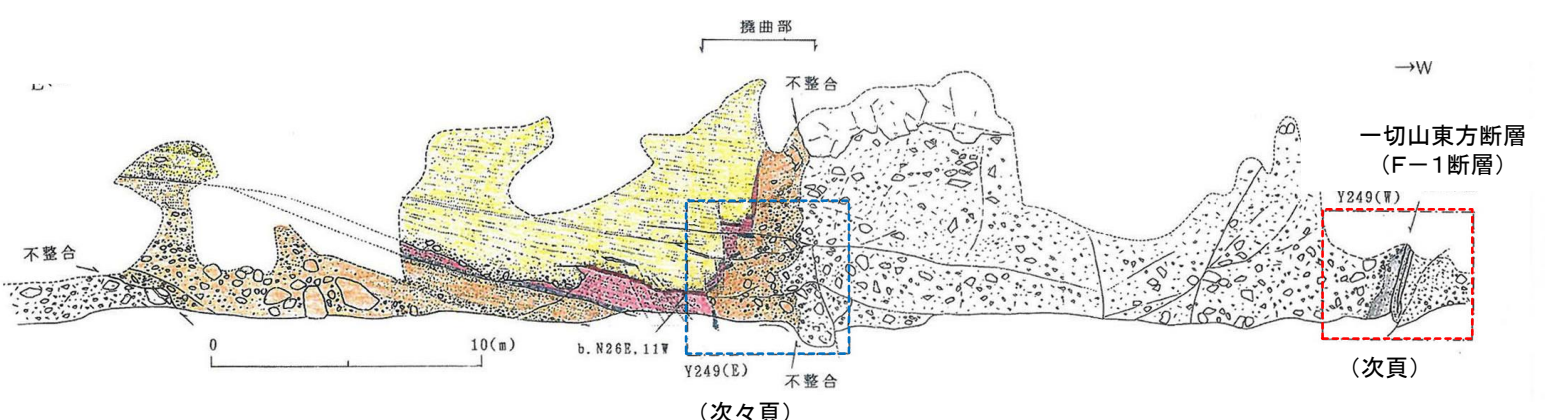
敷地から南西側に位置する中ノ又沢で確認される一切山東方断層(F-1断層)は、破碎部が熱水変質により固結している。また、続成作用により固結・岩石化した撓曲部が認められる。



断層露頭位置図(敷地近傍の地質図)



中ノ又沢付近のルートマップ

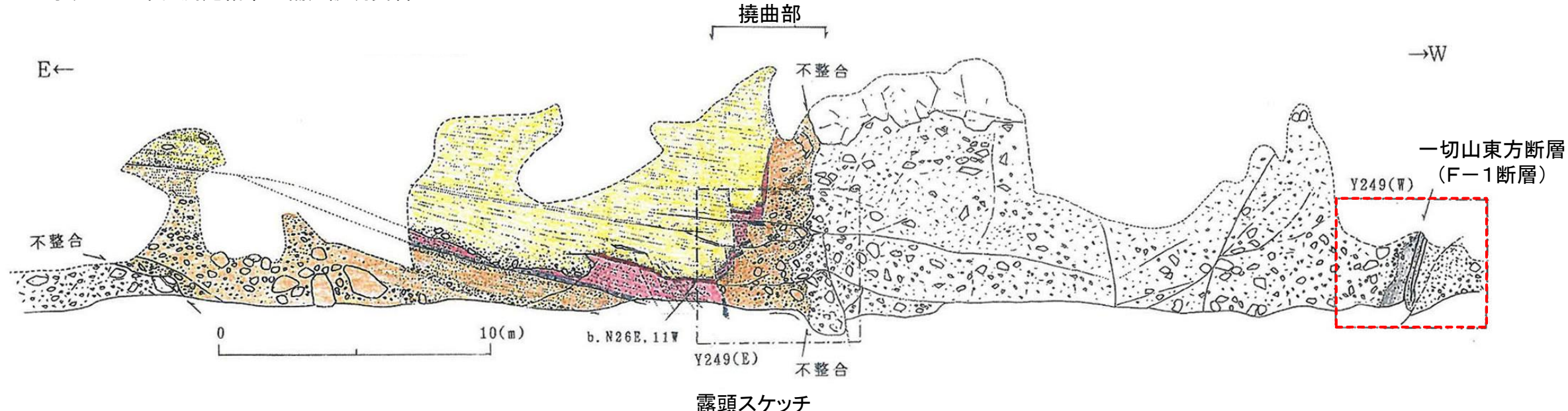


4. 一切山東方断層(F-1断層)の露頭・トレンチ調査結果

一切山東方断層(F-1断層)の固結・岩石化(中ノ又沢Y249地点②)

H28.12.1.2現地調査で確認

- 泊層凝灰角礫岩と泊層安山岩溶岩との境に一切山東方断層(F-1断層)が認められ、破碎部は熱水変質によりセピオライト化※し固結している。
※:セピオライトの年代測定結果は補足説明資料5.に示した

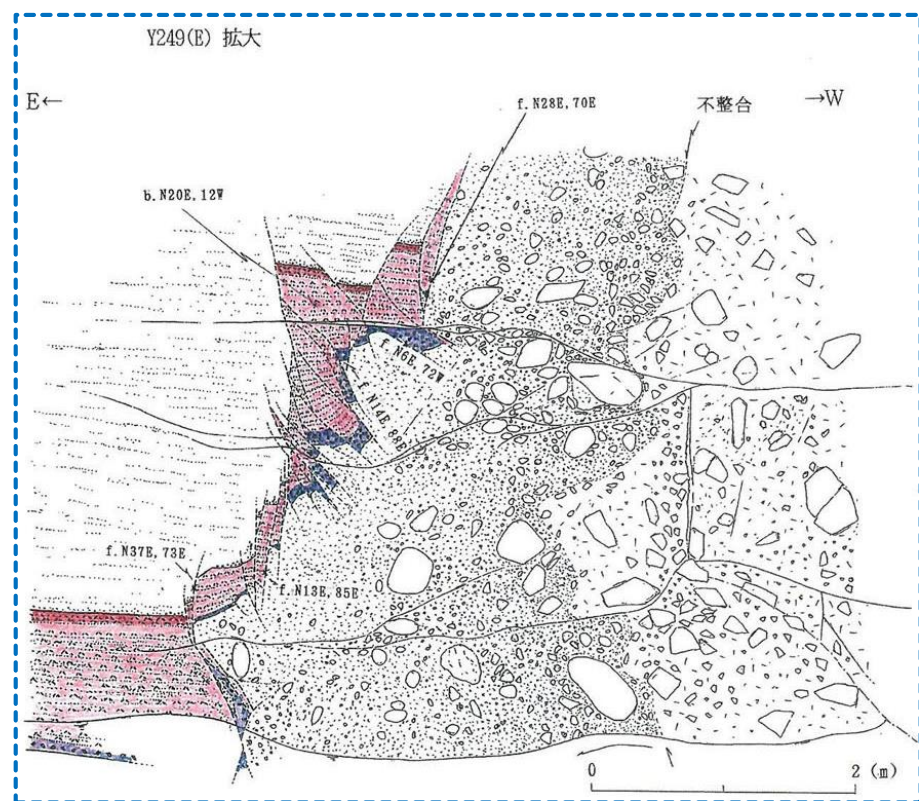
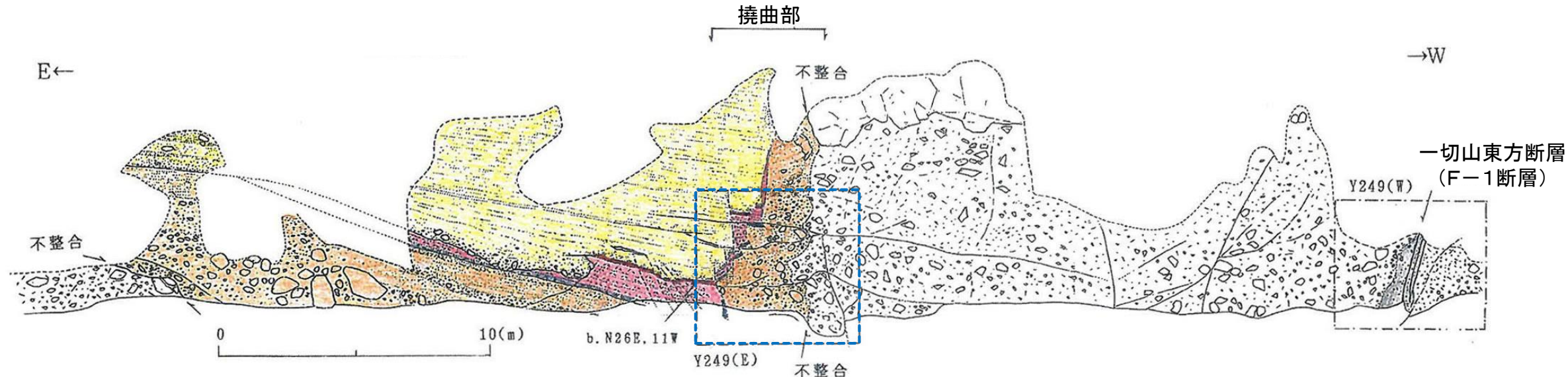


4. 一切山東方断層(F-1断層)の露頭・トレーニング調査結果

一切山東方断層(F-1断層)の固結・岩石化(中ノ又沢Y249地点③)

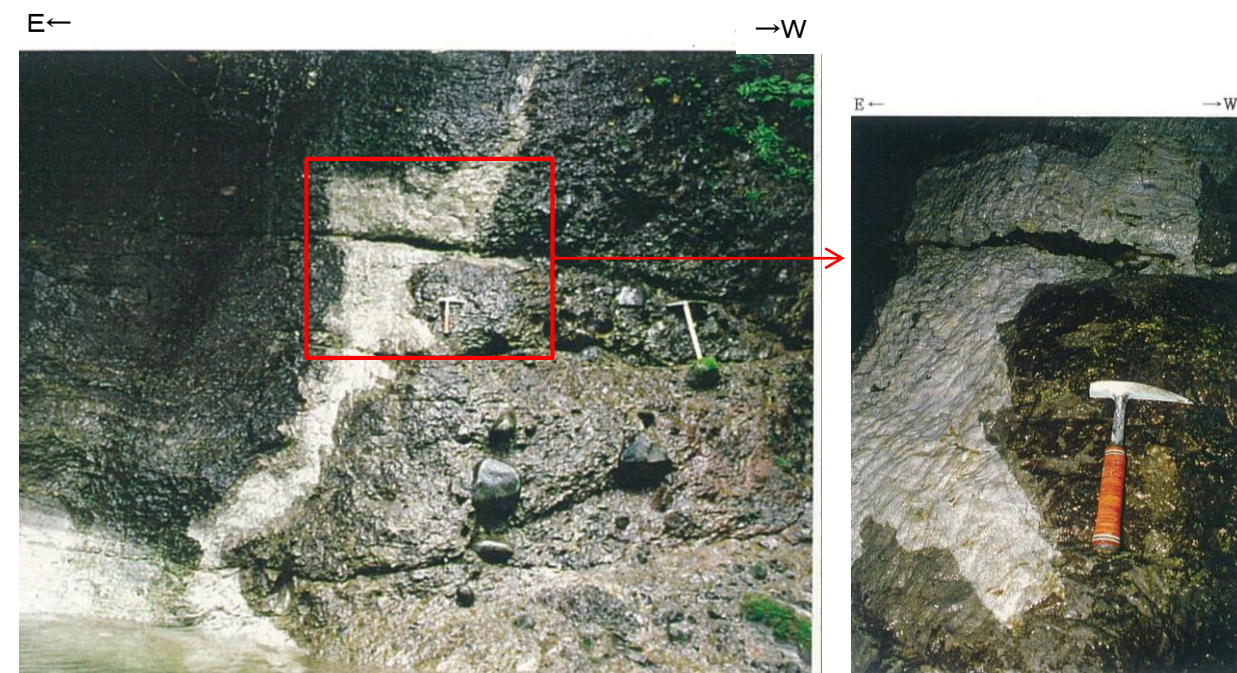
H28.12.1,2現地調査で確認

一切山東方断層(F-1断層)の破碎部から東側に、泊層凝灰角礫岩と蒲野沢層礫岩が不整合で接し、蒲野沢層の礫岩、凝灰岩、砂岩が分布する。蒲野沢層には正断層センスの地層の変形を伴う撓曲部が認められ、この撓曲部は続成作用により固結・岩石化している。



続成作用により固結・岩石化した撓曲部
(正断層センスの地層の変形が見られる)

露頭スケッチ

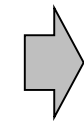


露頭写真

第四系の変状と一切山東方断層(F-1断層)との関係

一切山東方断層(F-1)断層の活動性

- 小老部川右岸露頭, F-1断層追跡坑坑口法面では断層を被覆するM₁面段丘堆積物(MIS5e)に, 変位・変形は認められず, 第四系の変状も認められない。
- 一切山東方断層(F-1断層)北方延長のH-6断層のT6(1)トレンチではM₂面段丘堆積物(MIS5c)に, H-7断層のT7トレンチおよびH-8断層のT8トレンチではM_{1'}面段丘堆積物(MIS5e)に変位・変形は認められず, 第四系の変状も認められない。
- 破碎部の多くは-50m以深でセピオライト脈を伴う固結破碎部となり, 断層ガウジを伴うシャープなせん断面は認められない。

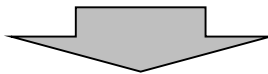


一切山東方断層はM₁面段丘堆積物堆積以降の活動はない

一切山東方断層(H-6断層)に認められる, 第四系の変状に関する検討

一切山東方断層の北方延長のH-6断層, H-7断層, H-8断層のうち, H-6断層のT6(2)トレンチのみにおいて第四系の変状(小断裂)が認められる。

走向方向の連続性	・第四系の変状(小断裂)はT6(2)トレンチのみで確認される
小断裂と断層の関係	・小断裂はM _{1'} 面段丘堆積物(MIS5e)の砂層あるいは礫層の中で消滅し, 岩盤上面に達するものはない。 ・正断層センスと逆断層センスの小断裂が混在している。
変位の累積性, 変位量	・小断裂のいずれは小規模で, 断層活動に特有な変位の累積性は認められない。
第四系基底面の性状	・岩盤中の断層, 小破碎部に変位は認められない。
深部での断層破碎部の性状	・地表のトレンチで第四系の変状が認められる箇所でも, 地下深部では断層破碎部が固結・岩石化し, 破碎部には繰り返しの活動で形成される軟質なガウジを伴うシャープなせん断面は認められない。



第四系の変状(小断裂)は, 一切山東方断層(F-1断層)の活動とは関連のない, 地表付近に限られた局所的な現象と判断される。(※)

なお, 第四系の変状の成因について, 必ずしも全てを説明できるものではないが, 断層活動とは関連のない以下の要因が可能性としては考えられる。

- | | |
|--|---|
| <ul style="list-style-type: none"> ・岩盤の劣化による岩盤表層部の膨張・収縮 ・パイピング, 湧水等による第四系中の重力性の沈下 ・地震動による受動的な作用 | <ul style="list-style-type: none"> ・断層破碎部に沿う熱水等の注入 ・凍結・融解による膨張・収縮 |
|--|---|

※ 反射法地震探査の結果において, 一切山東方断層をはじめとする敷地～敷地近傍の断層は, 地下1,000m以浅で消滅しており整合的である。

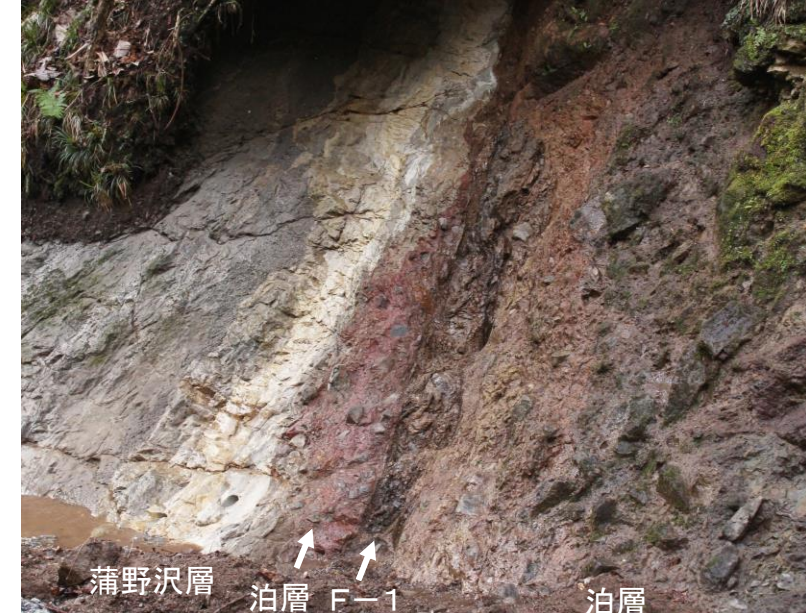
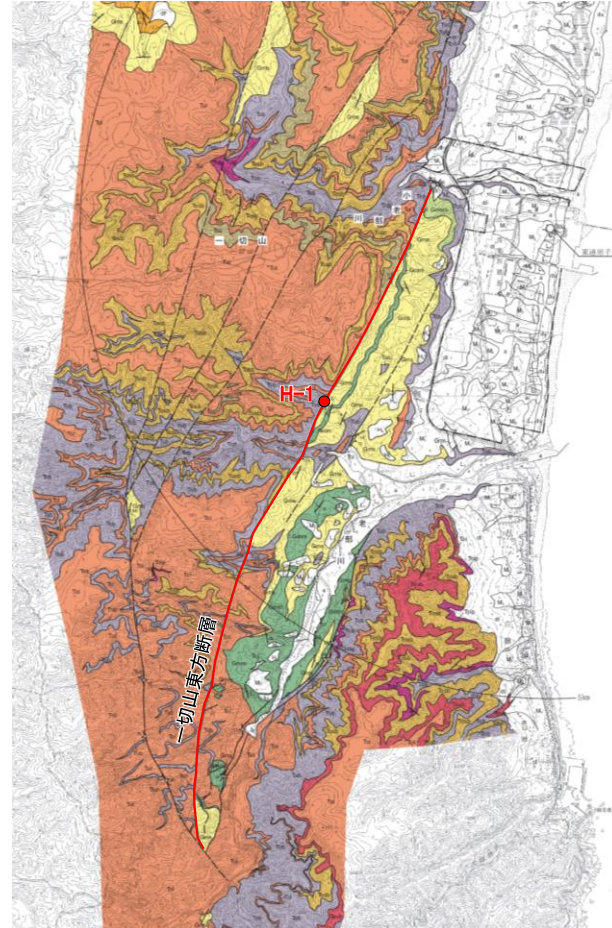
5. 一切山東方断層の破碎部詳細性状

5. 一切山東方断層の破碎部詳細性状

断層破碎部の分析 試料採取位置(李沢H-1地点:CD-F1-1孔)

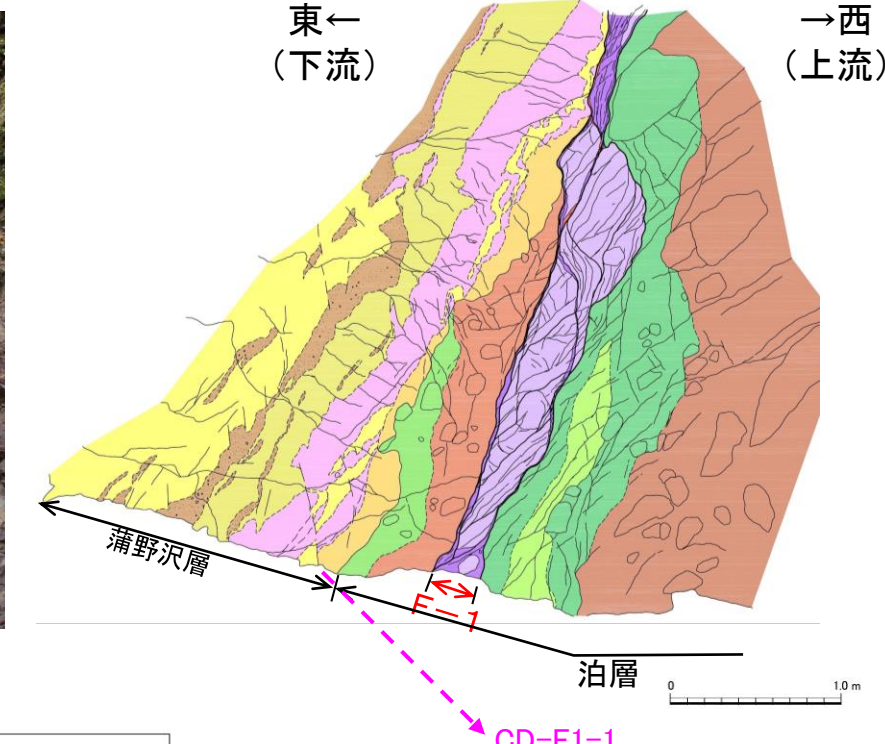
H28.12.1,2現地調査で確認

一切山東方断層(F-1断層)の李沢H-1露頭において、コアドリルにより断層破碎部を採取し、詳細観察を行った。



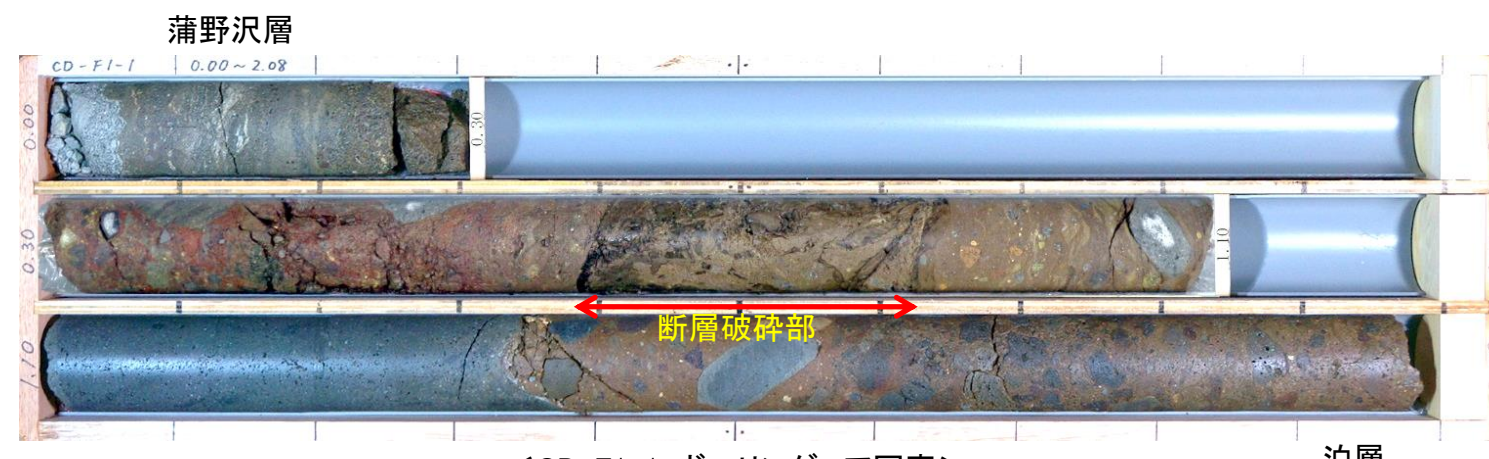
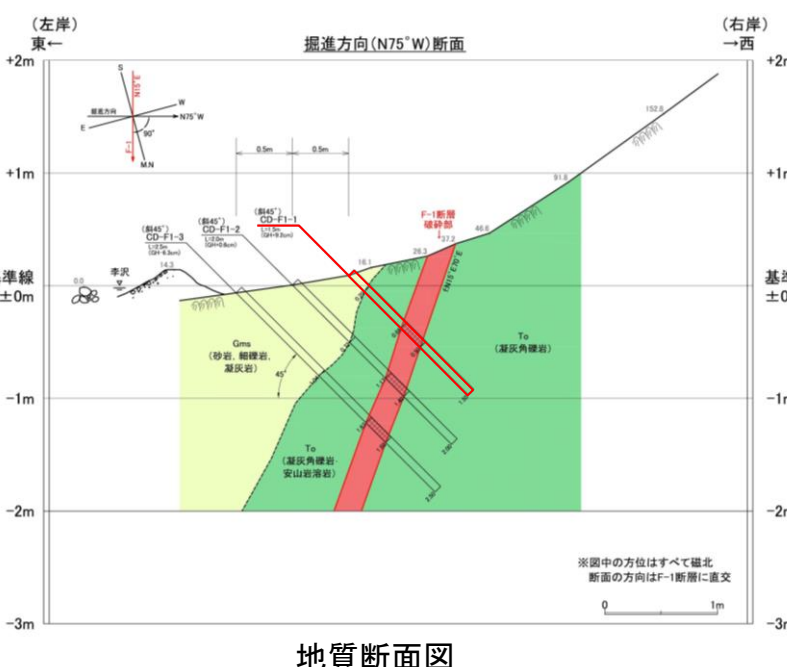
一切山東方断層(F-1断層)の露頭写真(Loc.H-1)
凡例

断層	葉片状粘土:葉片状破碎部の風化部
	葉片状破碎部:セビオライト
蒲野沢層	弱破碎部:砂質シルト岩状、安山岩礫含む
	礫岩:径2cm以下の円礫主体
泊層	凝灰質砂岩:細粒、凝灰岩より漸移
	凝灰岩:灰白色、細粒
CD-F1-1	細粒砂岩:礫岩、粗粒砂岩をレンズ状に挟む
	含軽石細粒砂岩:径1cm以下の軽石が点在
CD-F1-1	火山凝灰岩:基質が赤色を呈する
	赤色自破碎溶岩:基質が赤色を呈する
CD-F1-1	凝灰角礫岩:亜円礫を主体
	凝灰岩:少量の安山岩礫を含む
CD-F1-1	安山岩熔岩:上流側で塊状となる
	0 1.0 m



コアドリル掘進方向(斜45°)

一切山東方断層(F-1断層)のスケッチ(Loc.H-1)



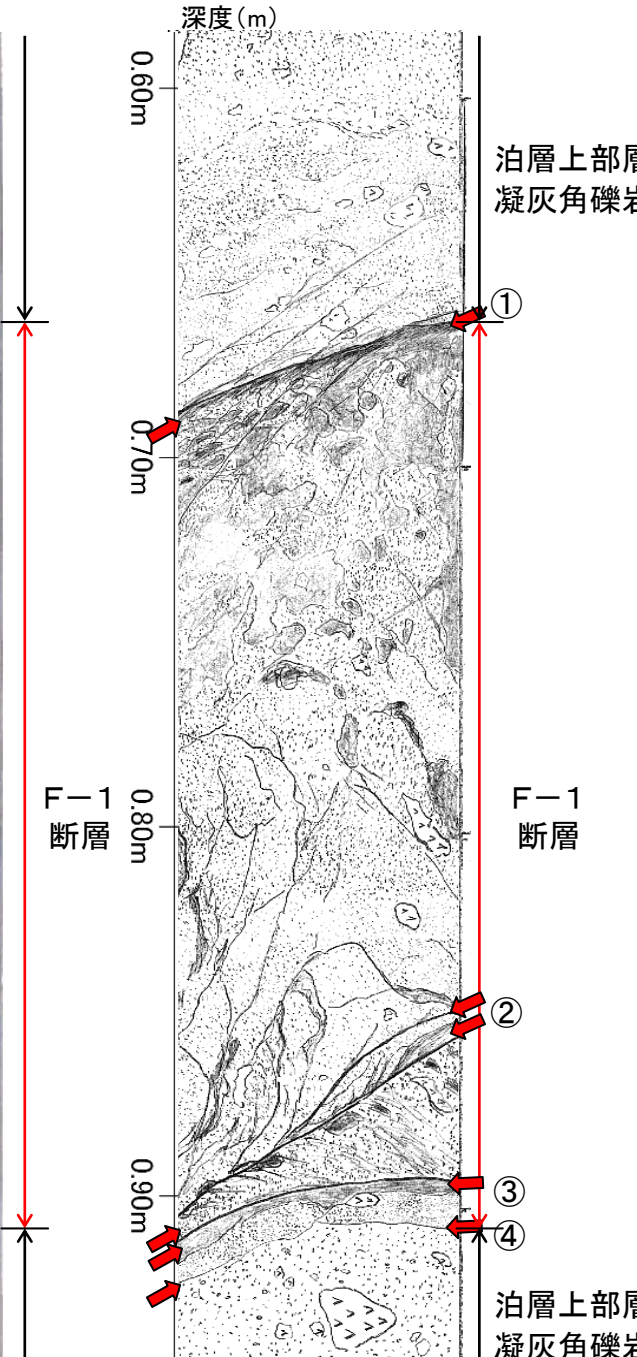
<CD-F1-1:ボーリングコア写真>

5. 一切山東方断層の破碎部詳細性状

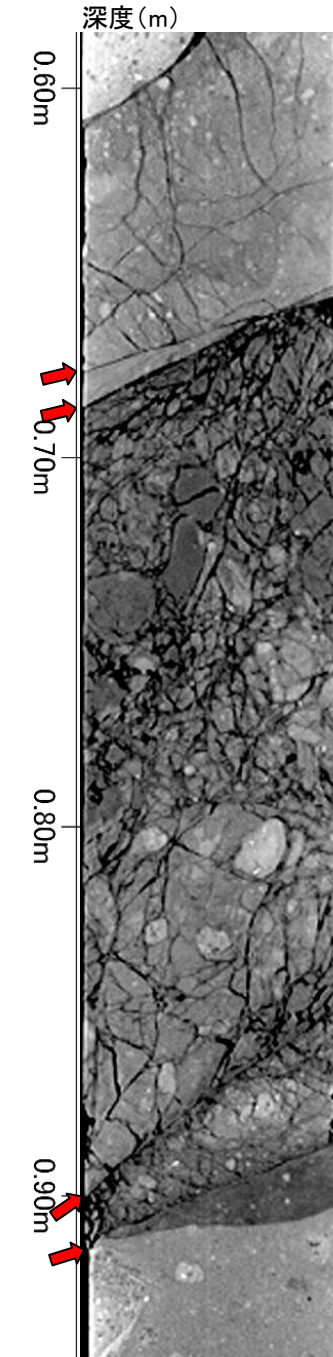
断層破碎部の分析 (a)最新面の認定: CT画像等

H28.12.1,2現地調査で確認

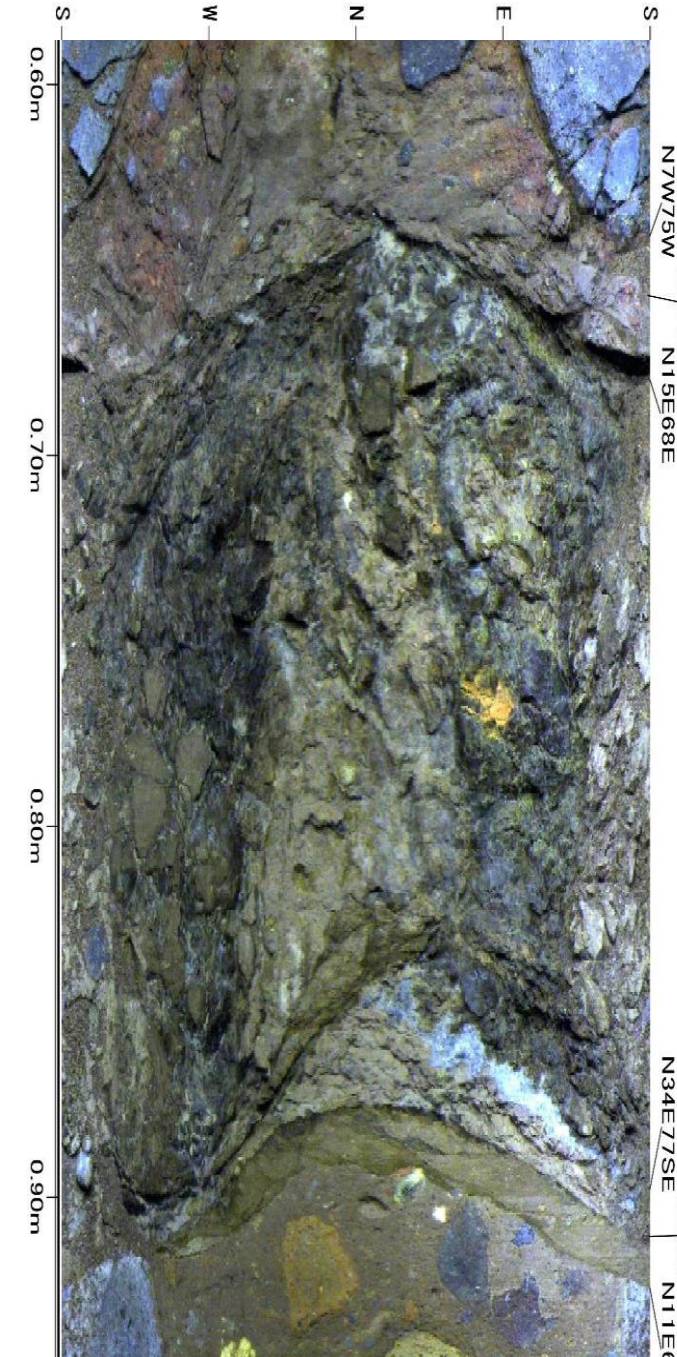
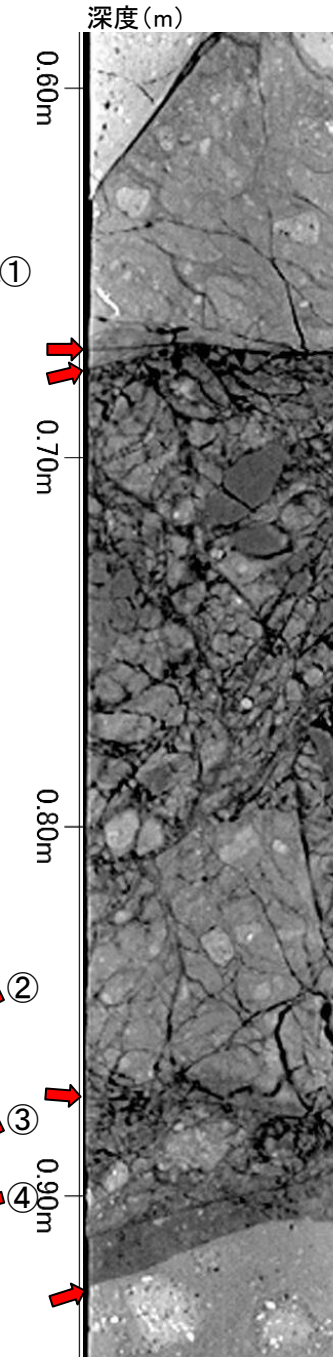
- コア観察、CT画像及びボアホールテレビ画像から、CD-F1-1孔のF-1断層破碎部は固結している。
- 断層破碎部中には4条のせん断面(せん断面①～④)が認められる。



F-1断層破碎部コア写真(左)・スケッチ(右)



F-1断層破碎部X線CT画像: 傾斜方向(左)・走向方向(右)



F-1断層破碎部ボアホールテレビ画像

5. 一切山東方断層の破碎部詳細性状

断層破碎部の分析 (a)最新面の認定: 研磨片

H28.12.1,2現地調査で確認

【研磨片観察によるF-1断層破碎部の性状、運動センス】

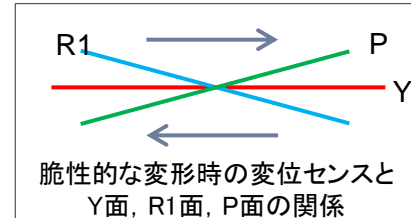
➢ 断層破碎部は断層角礫からなり、上盤側と下盤側の母岩との境界付近は細粒な破碎部からなる。

➢ 全体的に複合面構造が発達し、逆断層センスのP面及びR1面が見られる。

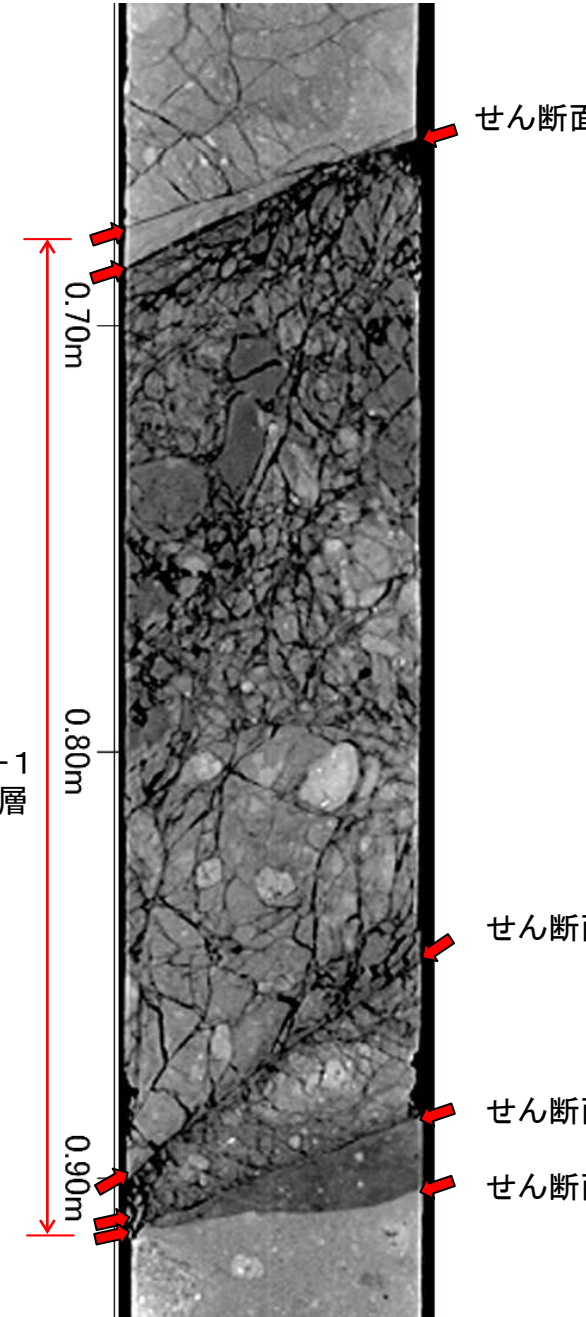
【せん断面の連続性】

➢ せん断面①～③のせん断面は連続性に富みシャープであるが、せん断面④は、連続性に富むものの緩やかに湾曲する。

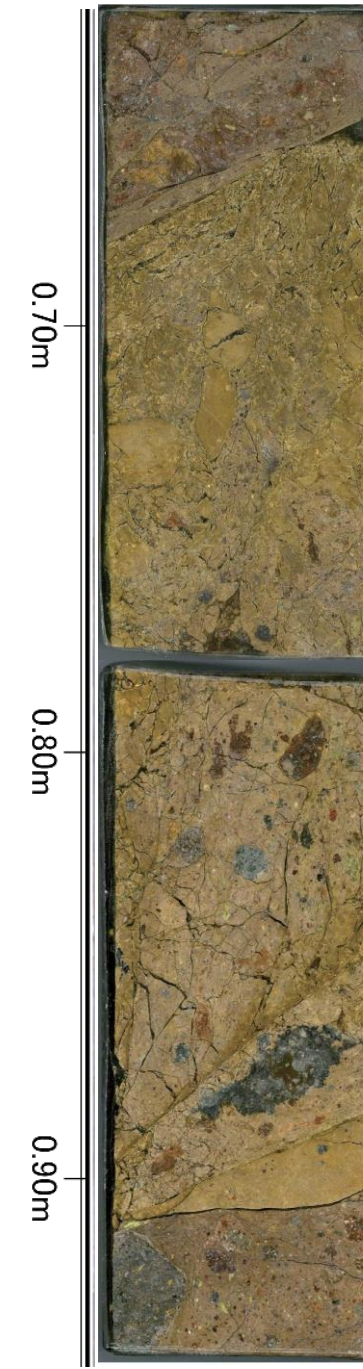
⇒せん断面①～③について顕微鏡、薄片観察を行った。



深度(m)

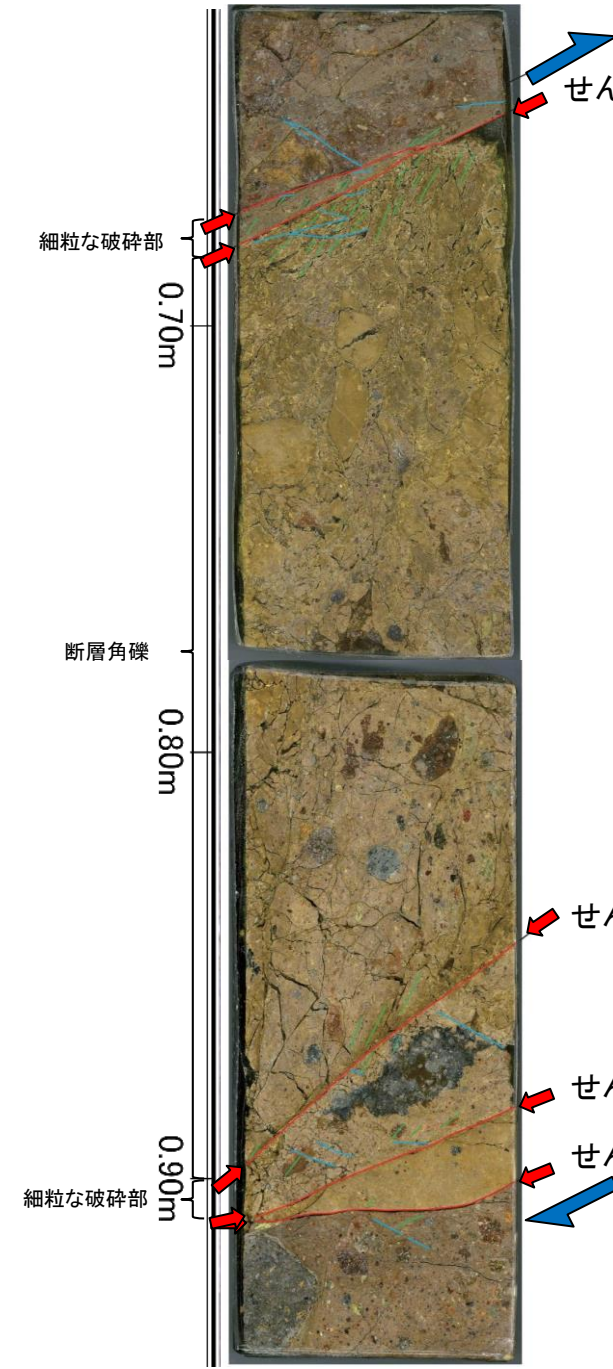
F-1
断層

深度(m)



F-1断層破碎部研磨片画像

深度(m)



F-1断層破碎部X線CT画像(傾斜方向)

- ・連続性に富み明瞭で比較的シャープなせん断面である。
- ・逆断層の変位センスを示す。

- ・せん断面②はシャープでせん断面に沿って細粒化が見られる。
- ・逆断層の変位センスを示す。

- ・せん断面③はシャープで概ね直線的。
- ・せん断面④は緩やかに湾曲している。
- ・逆断層の変位センスを示す。

5. 一切山東方断層の破碎部詳細性状

H28.12.1,2現地調査で確認

断層破碎部の分析 (a)最新面の認定: 薄片, 顕微鏡観察結果(せん断面①)

【薄片観察によるせん断面①の性状, 運動センス】

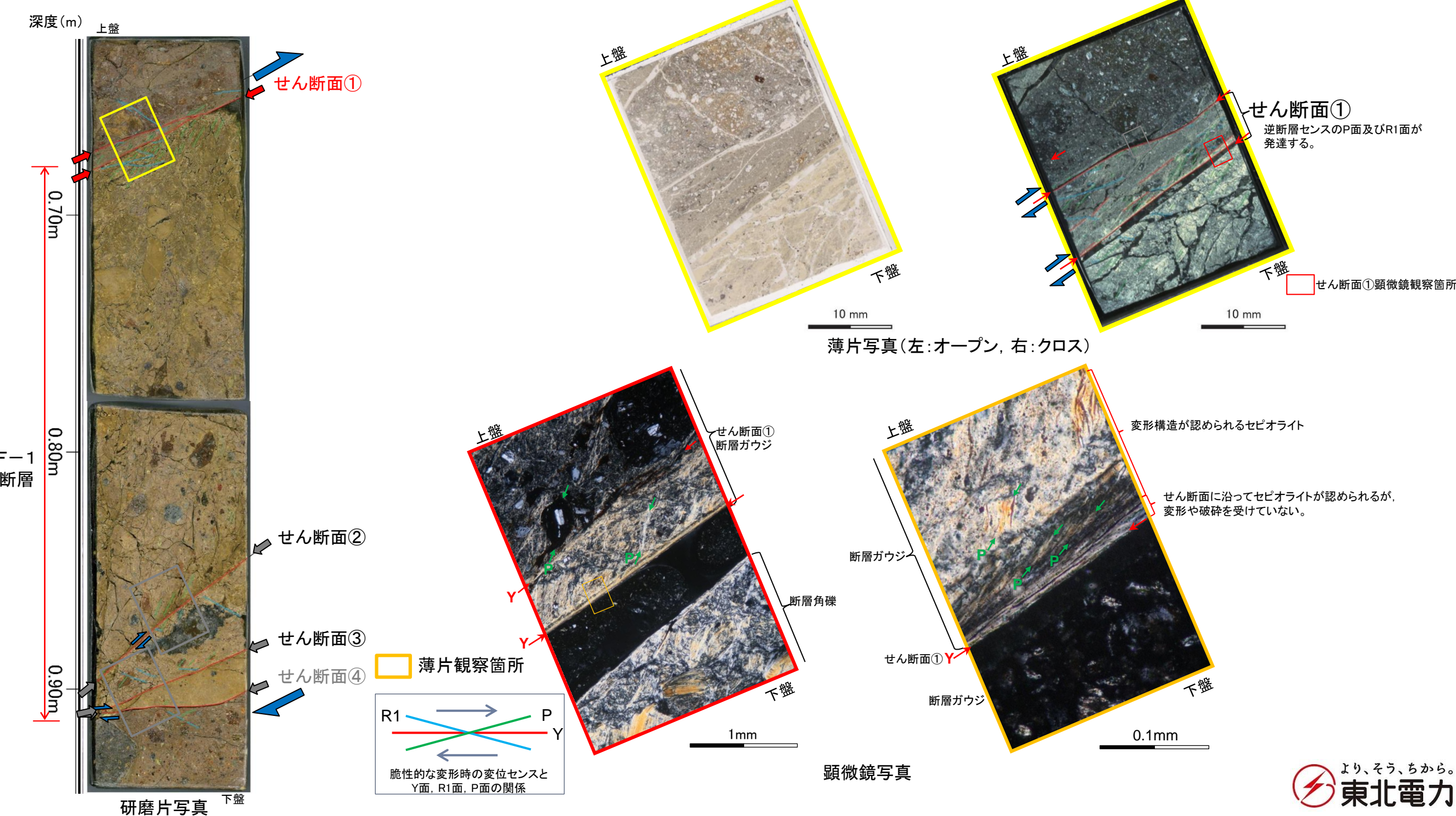
➤ 安山岩や凝灰岩の岩石片, 斜長石, 不透明鉱物と, 粘土質な基質からなる。

➤ 複合面構造が発達し, 逆断層センスのP面及びR1面が見られる。

【顕微鏡観察によるせん断面①(下盤側)の性状】

➤ せん断面は明瞭かつ直線的で, 境界にあたる割れ目に沿ってセピオライトが認められるが, 変形や破碎を受けていない。

⇒せん断面①を最新面の可能性のあるせん断面としてSEM観察を行った。



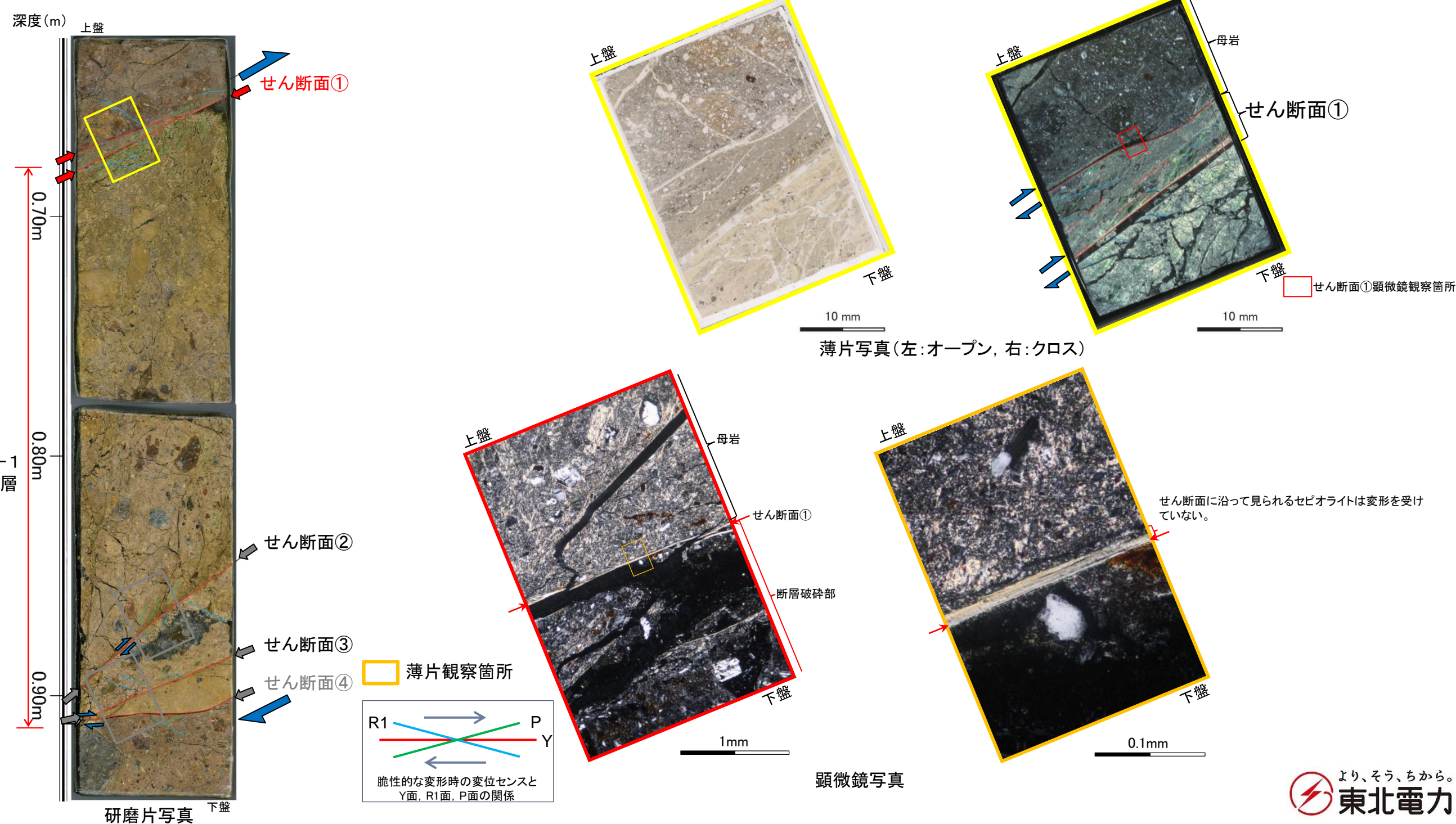
5. 一切山東方断層の破碎部詳細性状

H28.12.1,2現地調査で確認

断層破碎部の分析 (a)最新面の認定: 薄片, 顕微鏡観察結果(せん断面①)

【顕微鏡観察によるせん断面①(上盤側)の性状】

- せん断面は連続性がよいものの湾曲しており、境界にあたる割れ目に沿ってセピオライトが認められる。
- せん断面に沿って見られるセピオライトは変形を受けていない。



5. 一切山東方断層の破碎部詳細性状

H28.12.1,2現地調査で確認

断層破碎部の分析 (a)最新面の認定: 薄片, 顕微鏡観察結果(せん断面②)

【薄片観察によるせん断面②の性状, 運動センス】

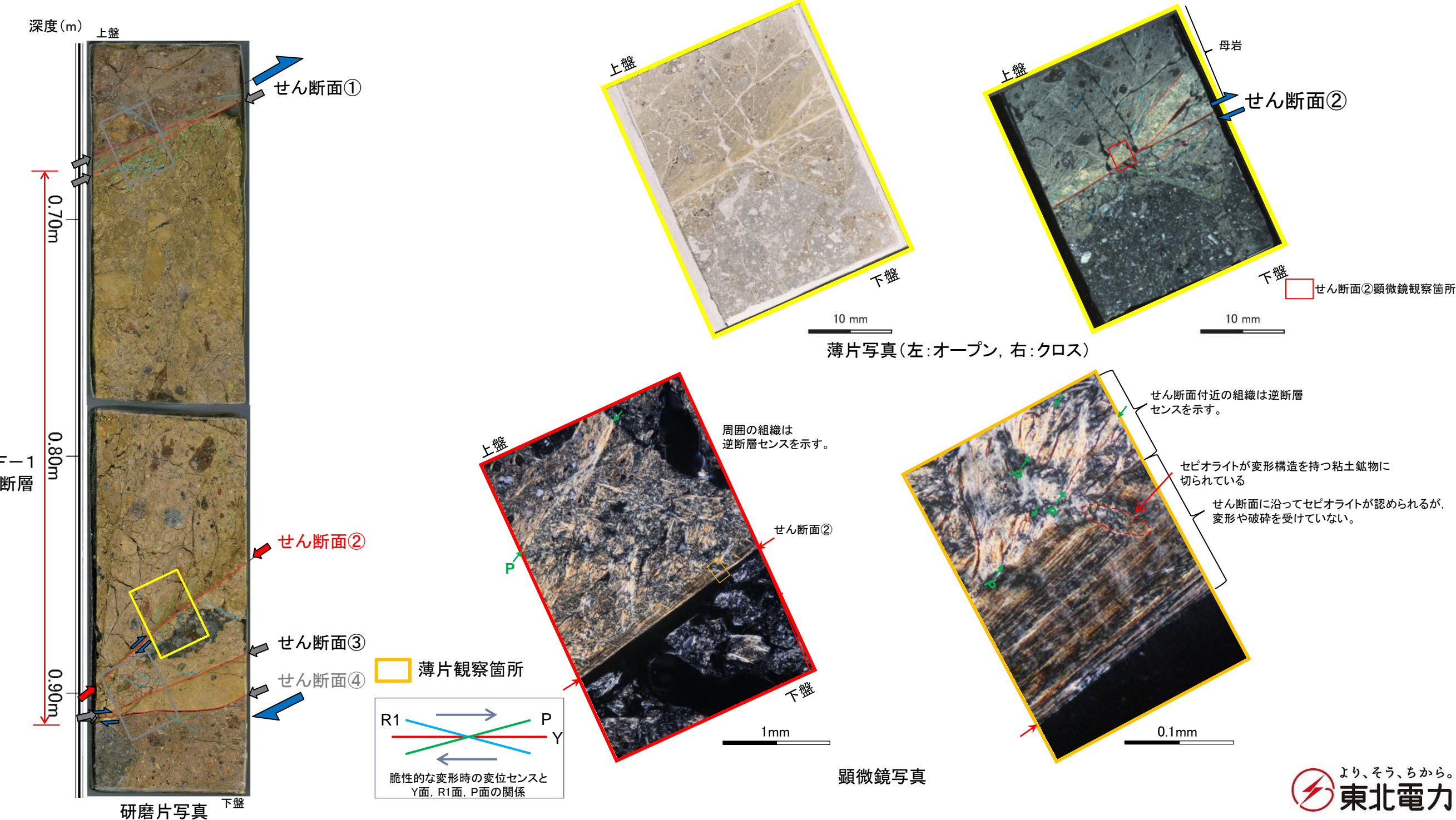
➤ 安山岩や凝灰岩の岩石片, 斜長石, 不透明鉱物と, 細粒な粘土質の基質からなる。

➤ 複合面構造が発達し, 逆断層センスのP面及びR1面が見られる。

【顕微鏡観察によるせん断面②の性状】

➤ せん断面は明瞭かつ直線的で, 境界にあたる割れ目に沿ってセピオライトが認められるが, 変形や破碎を受けていない。

⇒せん断面②を最新面の可能性のあるせん断面としてSEM観察を行った。



5. 一切山東方断層の破碎部詳細性状

H28.12.1,2現地調査で確認

断層破碎部の分析 (a)最新面の認定: 薄片, 顕微鏡観察結果(せん断面③)

【薄片観察によるせん断面③の性状, 運動センス】

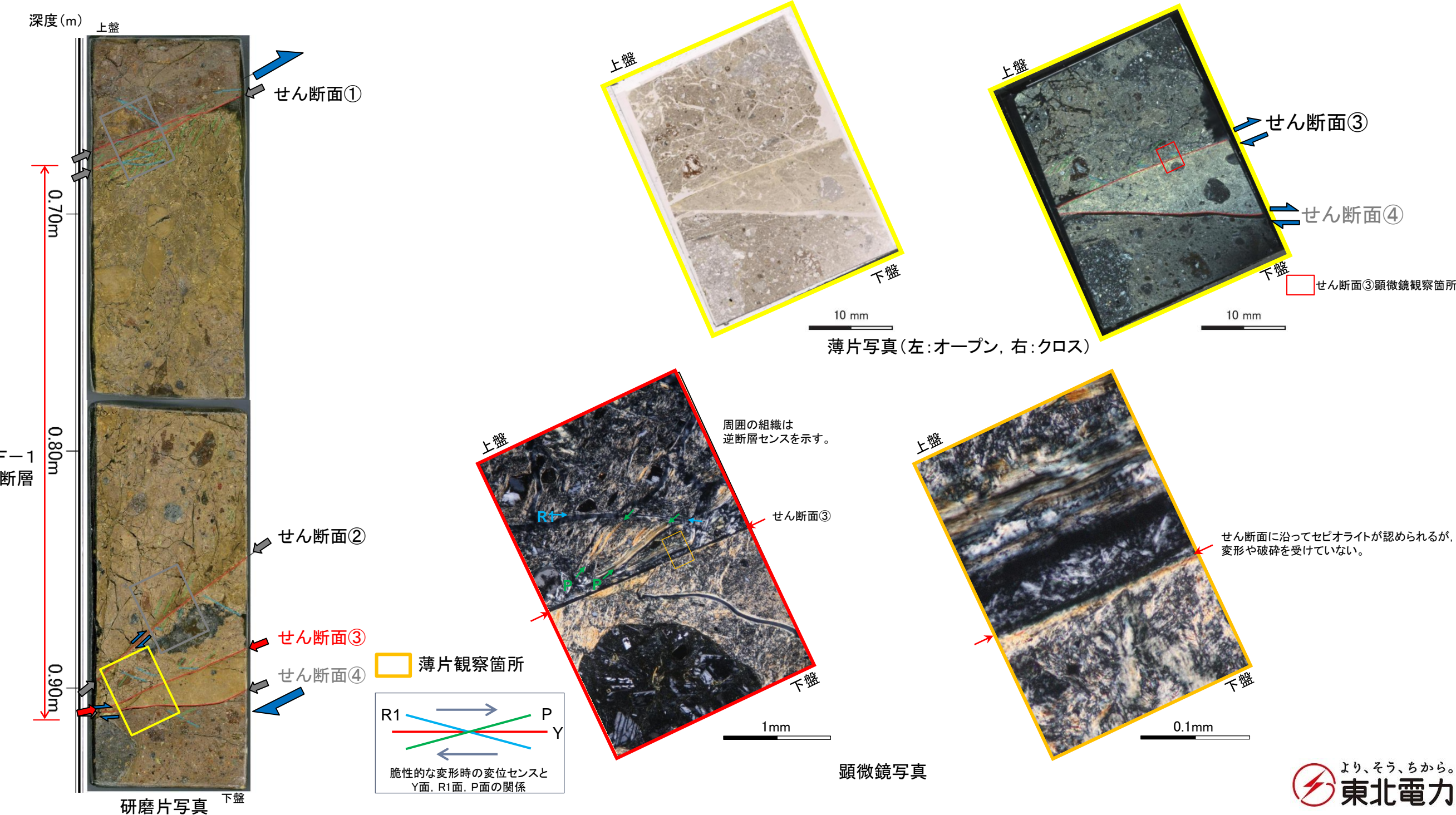
- 安山岩や凝灰岩の岩石片, 斜長石, 不透明鉱物と, 細粒な粘土質の基質からなる。

- 複合面構造が発達し, 逆断層センスのP面及びR1面が見られる。

【顕微鏡観察によるせん断面③の性状】

- せん断面は明瞭かつ直線的で, 境界にあたる割れ目に沿ってセピオライトが認められるが, 変形や破碎を受けていない。

⇒せん断面③を最新面の可能性のあるせん断面としてSEM観察を行った。

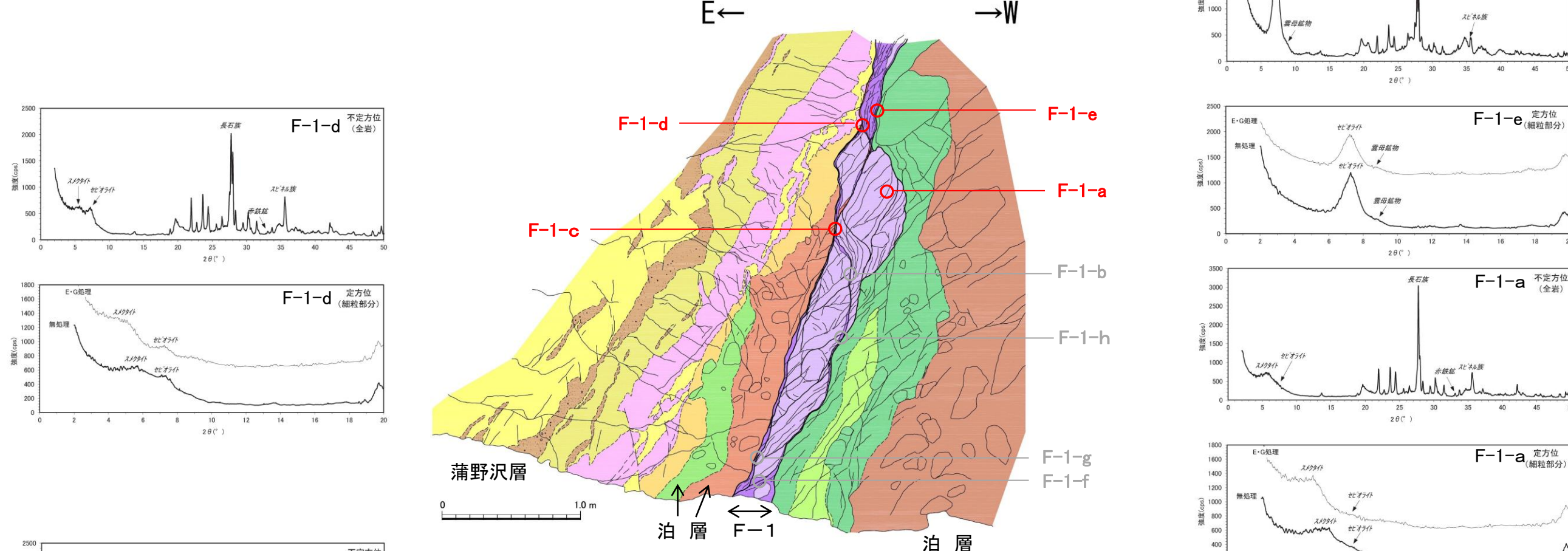


5. 一切山東方断層の破碎部詳細性状

断層破碎部の分析 (b) 破碎部を構成する粘土鉱物の確認:XRD分析

H28.12.1,2現地調査で確認

➤ 断層破碎部を構成する粘土鉱物は主としてセピオライト、スメクタイトからなる。



一切山東方断層(F-1断層)の分析試料採取位置

F-1断層破碎部のX線回折分析結果

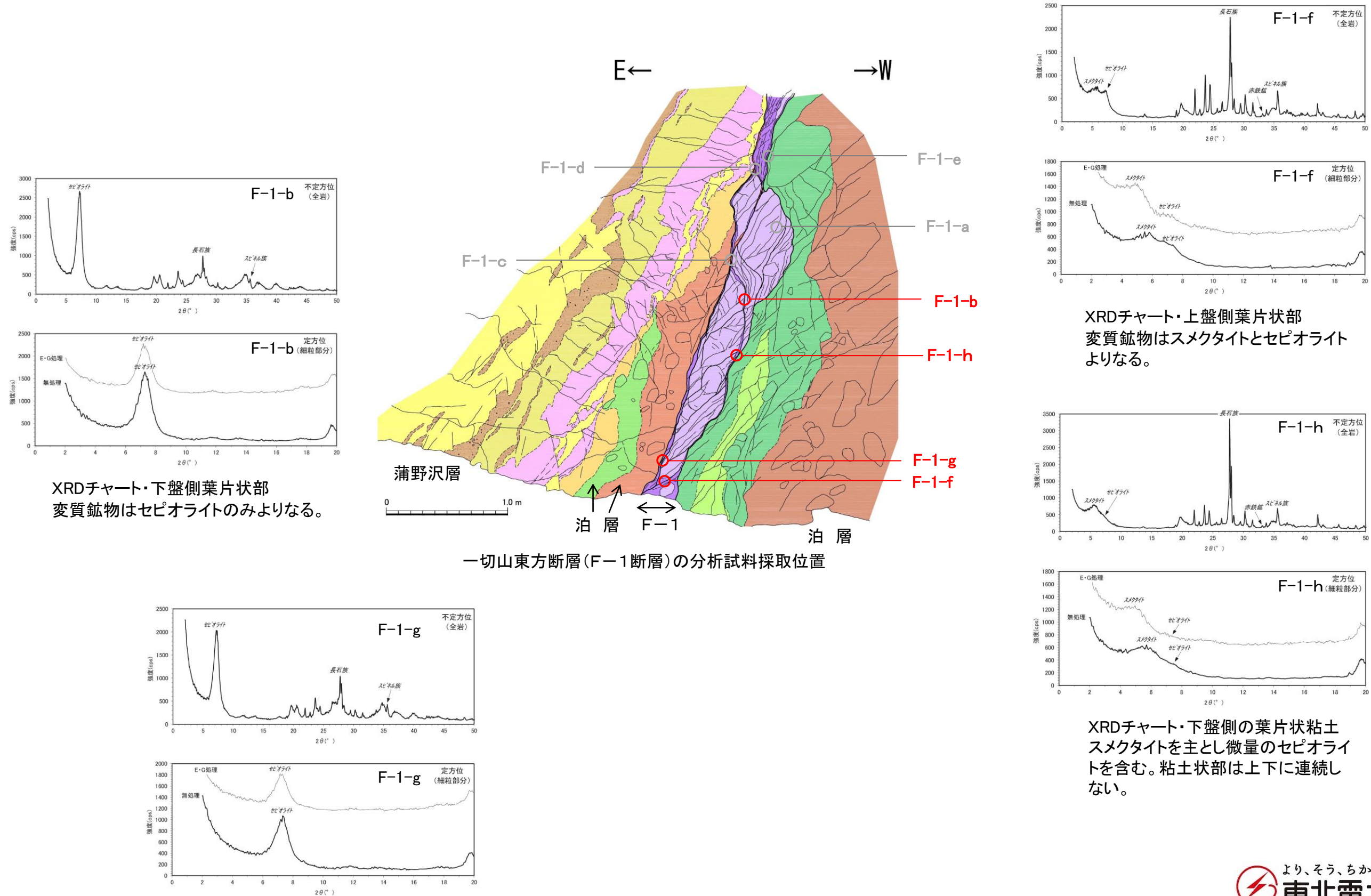
試料名	試料性状	X線回折分析による同定鉱物					
		スメクタイト	セピオライト	雲母粘土鉱物	長石族	赤鉄鉱	スピネル族
F-1-a	岩片状, 岩片は固結	++	tr	-	+++	tr	++
F-1-b	葉片状, 葉片は固結	-	+++	-	++	-	+
F-1-c	葉片状粘土, 風化により半固結状	tr	+++	-	++	-	++
F-1-d	葉片状粘土, 風化により軟質化(非固結)	++	++	-	+++	+	++
F-1-e	葉片状, 弱風化によりやや軟質化	-	+++	tr	++	-	+
F-1-f	葉片状, 半固結	++	++	-	+++	+	++
F-1-g	葉片状, 葉片は固結	-	+++	-	++	-	+
F-1-h	葉片状粘土～砂質粘土, 非固結	++	tr	-	+++	+	++

(全岩に対する推定相対量 +++ 多量 ++ 中量 + 少量 tr 微量 - 不検出)

5. 一切山東方断層の破碎部詳細性状

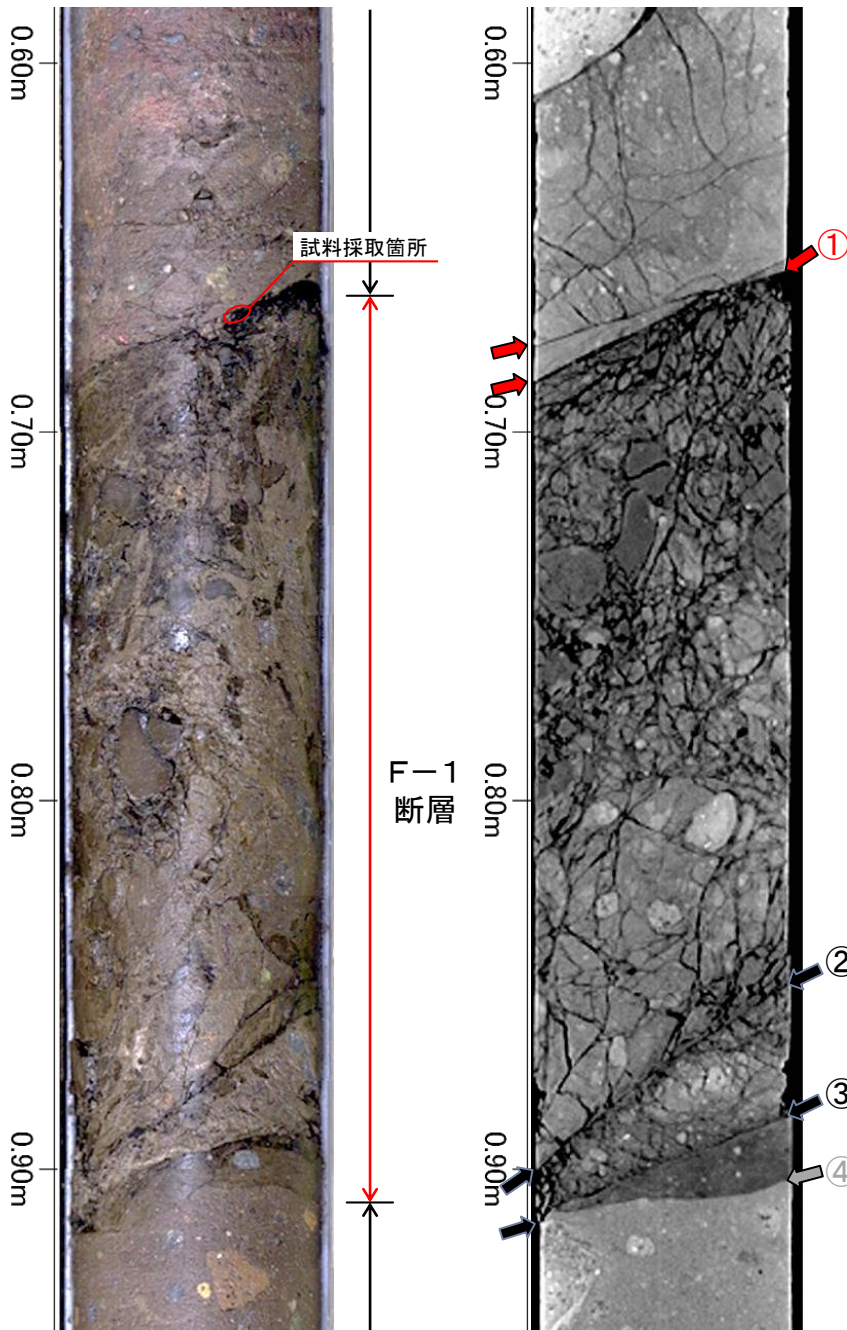
断層破碎部の分析 (b) 破碎部を構成する粘土鉱物の確認:XRD分析

H28.12.1,2現地調査で確認

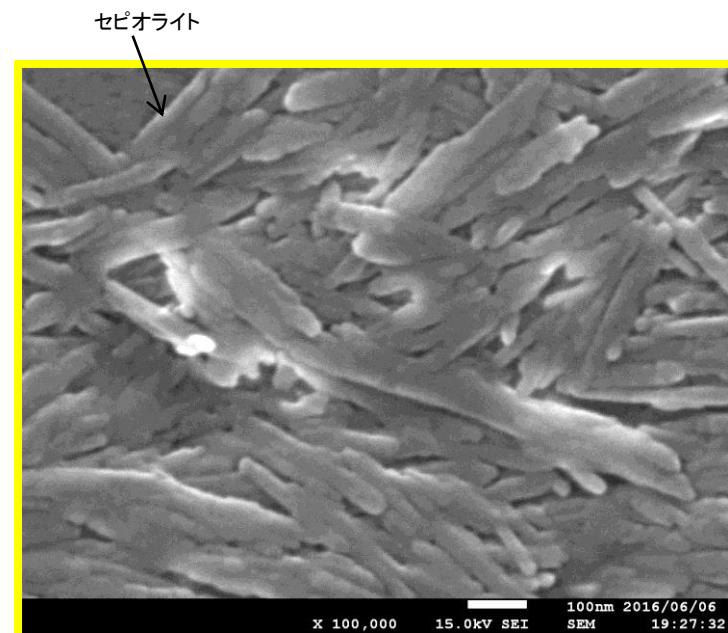
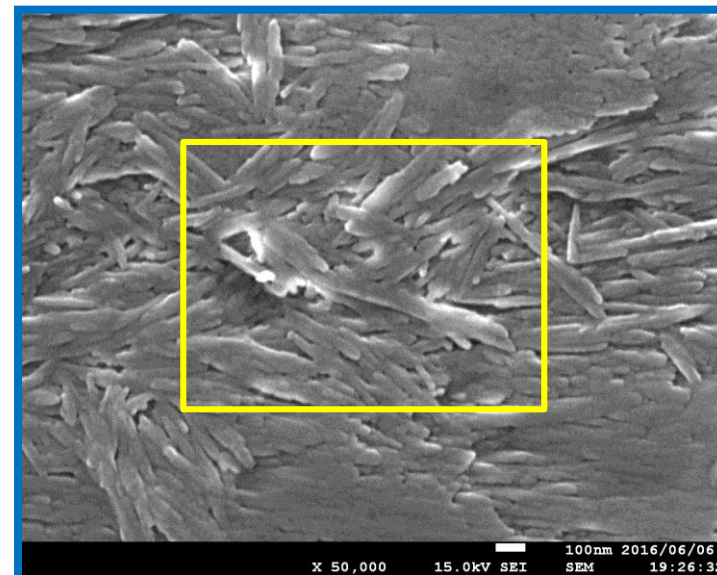
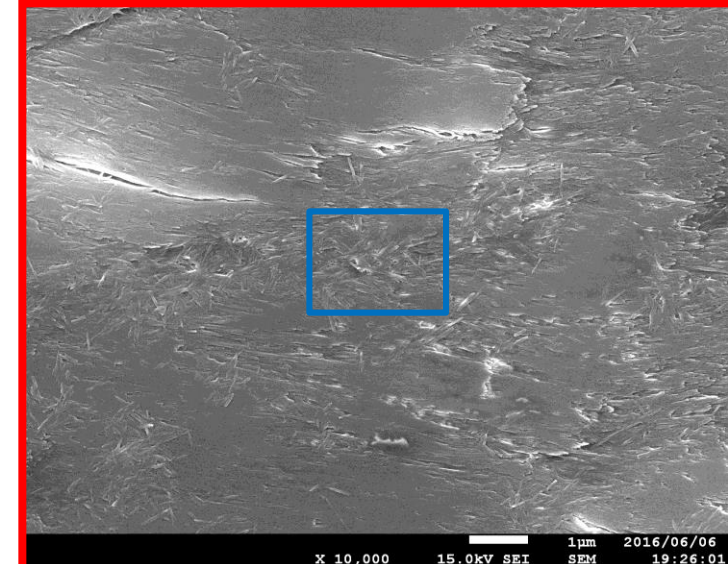
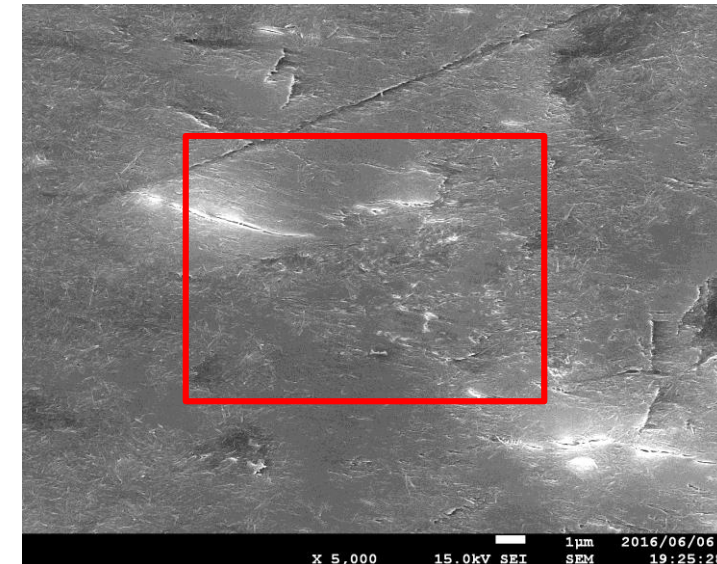


5. 一切山東方断層の破碎部詳細性状

断層破碎部の分析 (c)最新面の鉱物の晶出状況: SEM観察(せん断面①)

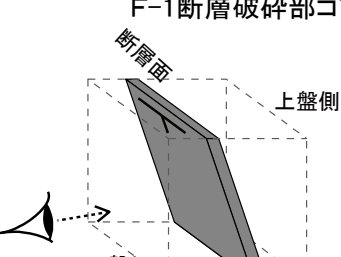
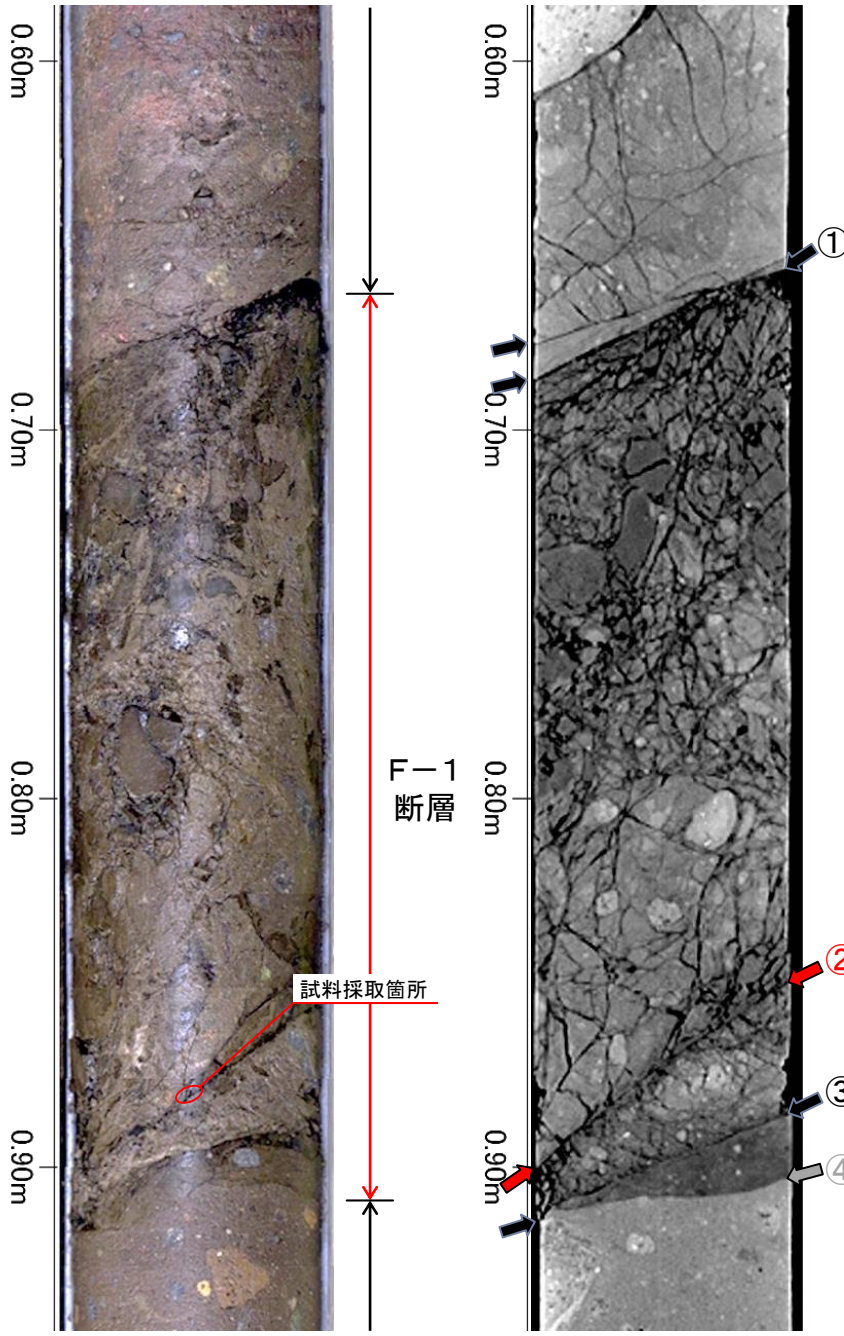


➤ せん断面①のSEM観察の結果、纖維状の自形のセピオライトが生成している様子が見られ、破碎を受けた組織は認められない。

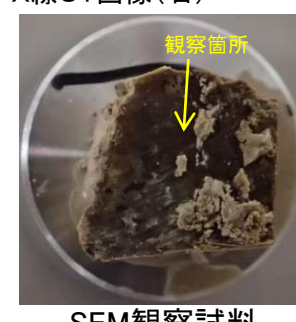


5. 一切山東方断層の破碎部詳細性状

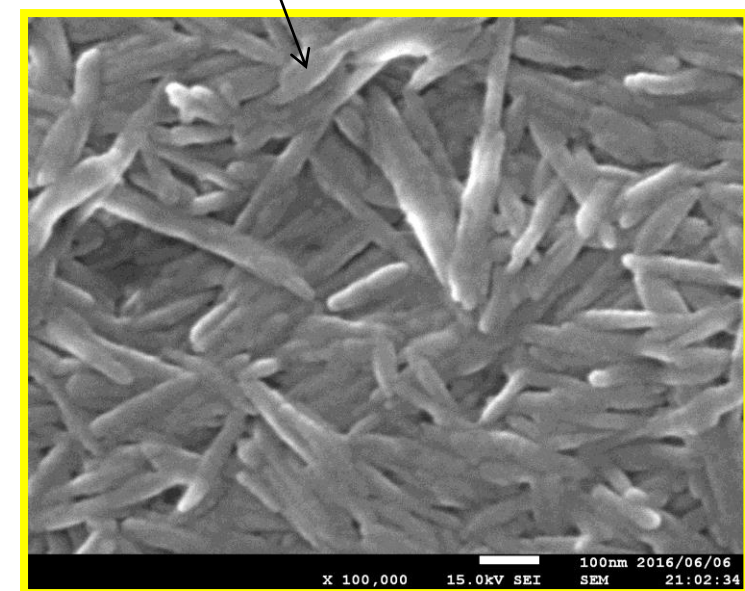
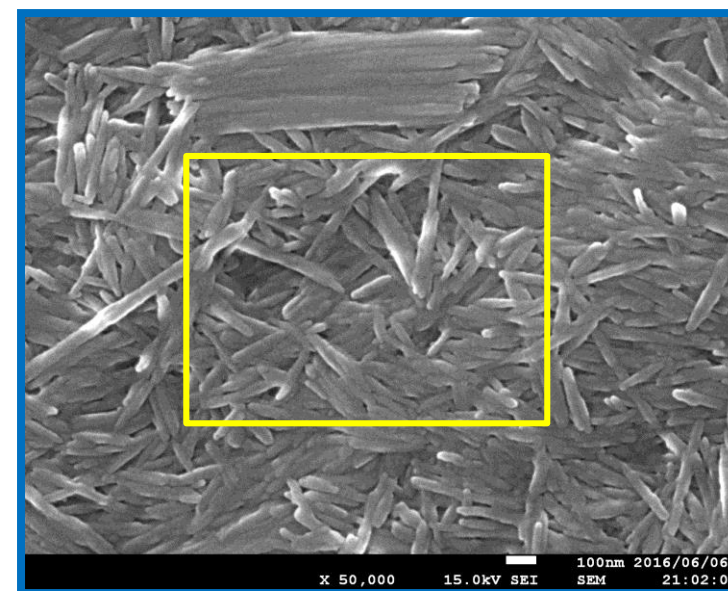
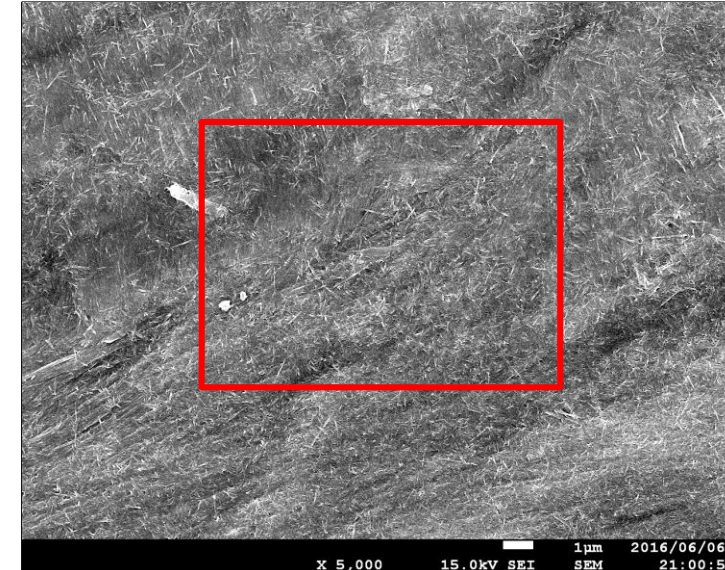
断層破碎部の分析 (c)最新面の鉱物の晶出状況: SEM観察(せん断面②)



下盤側から断層面を観察

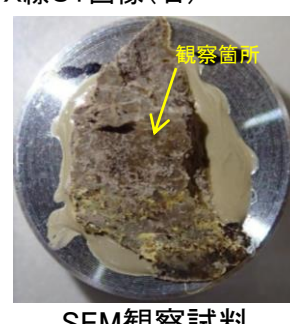
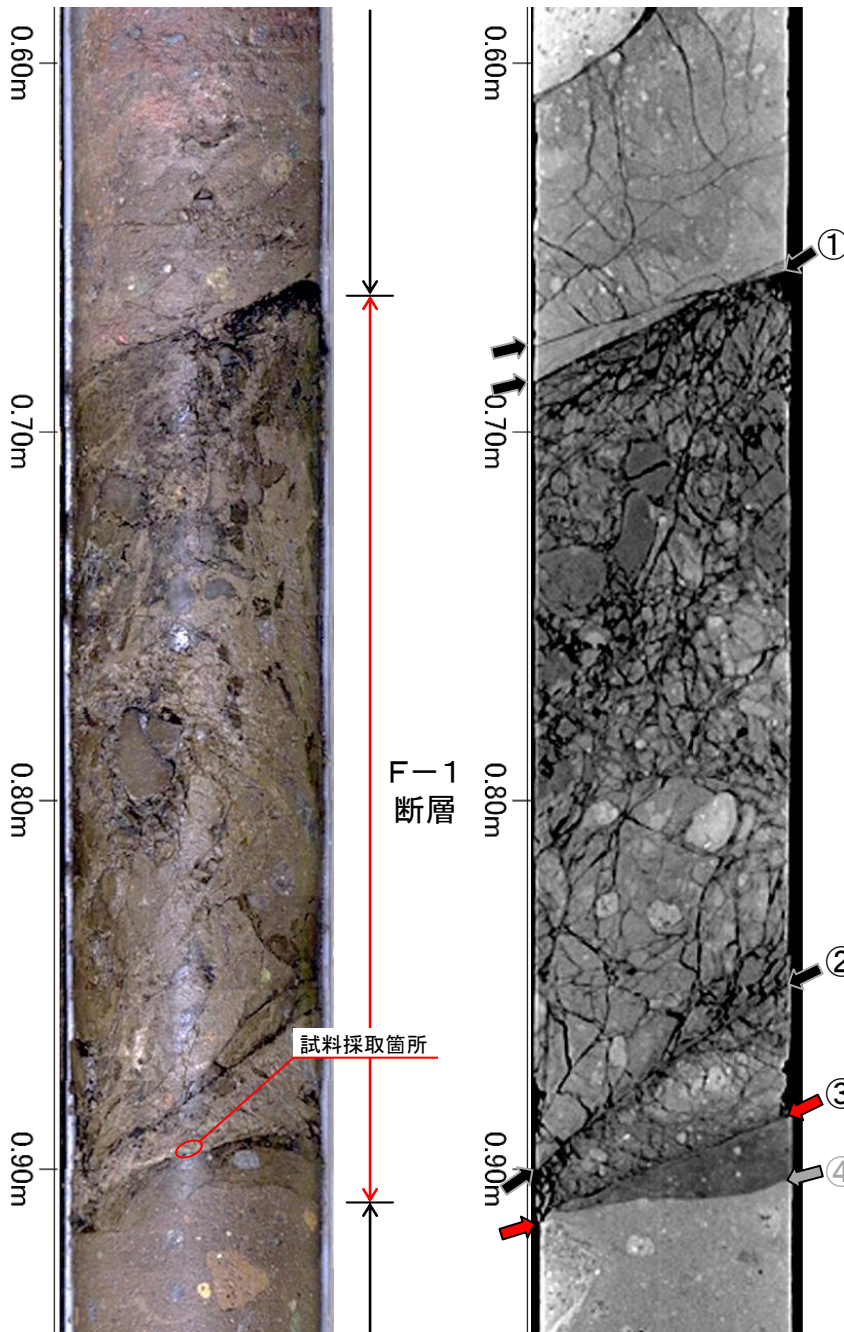


➤ せん断面②のSEM観察の結果、纖維状の自形のセピオライトが生成している様子が見られ、破碎を受けた組織は認められない。

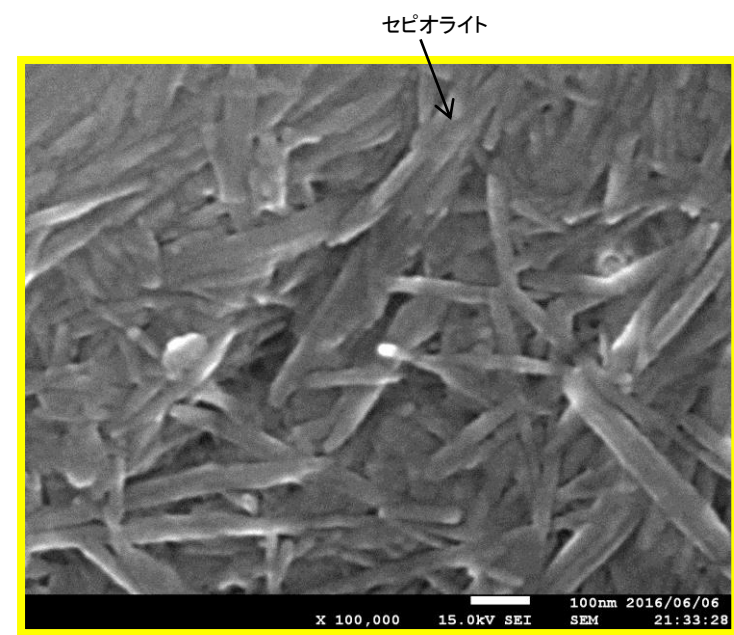
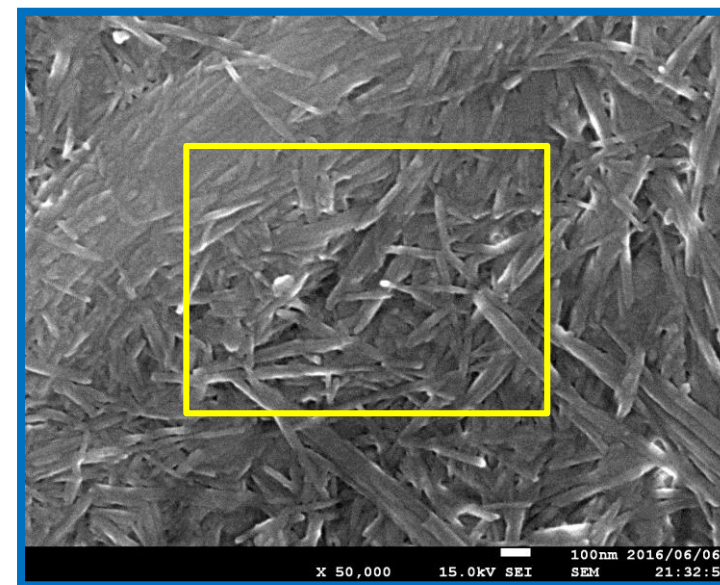
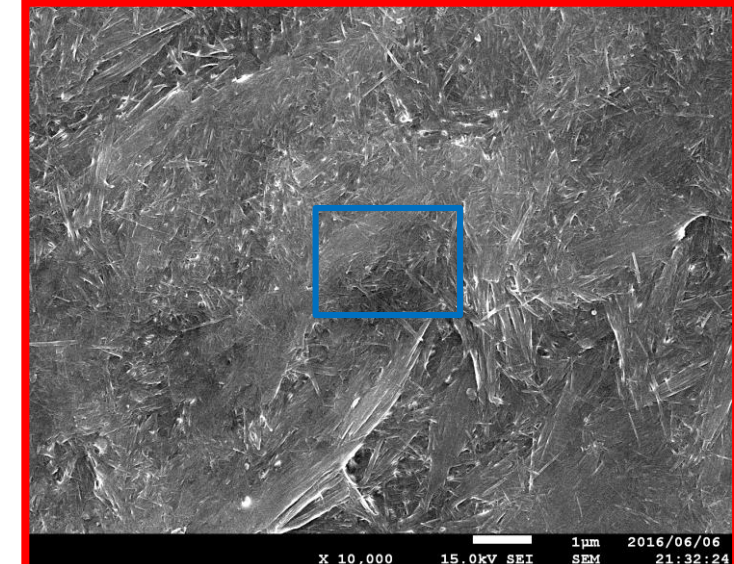
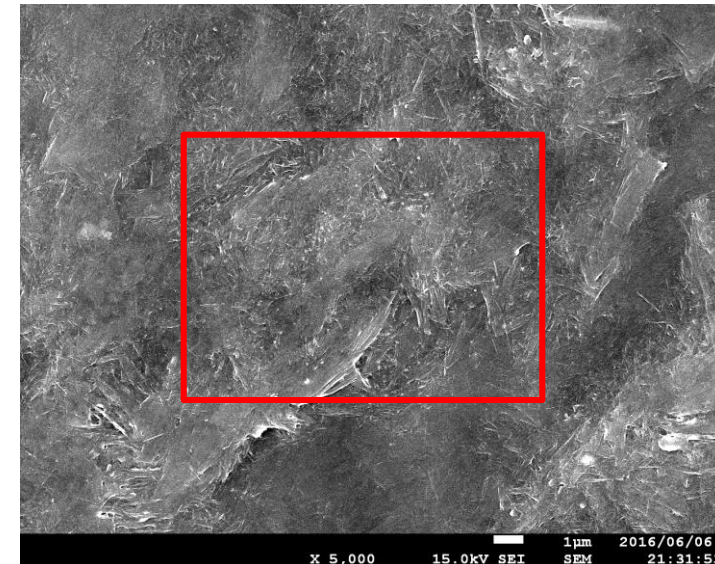


5. 一切山東方断層の破碎部詳細性状

断層破碎部の分析 (c)最新面の鉱物の晶出状況: SEM観察(せん断面③)



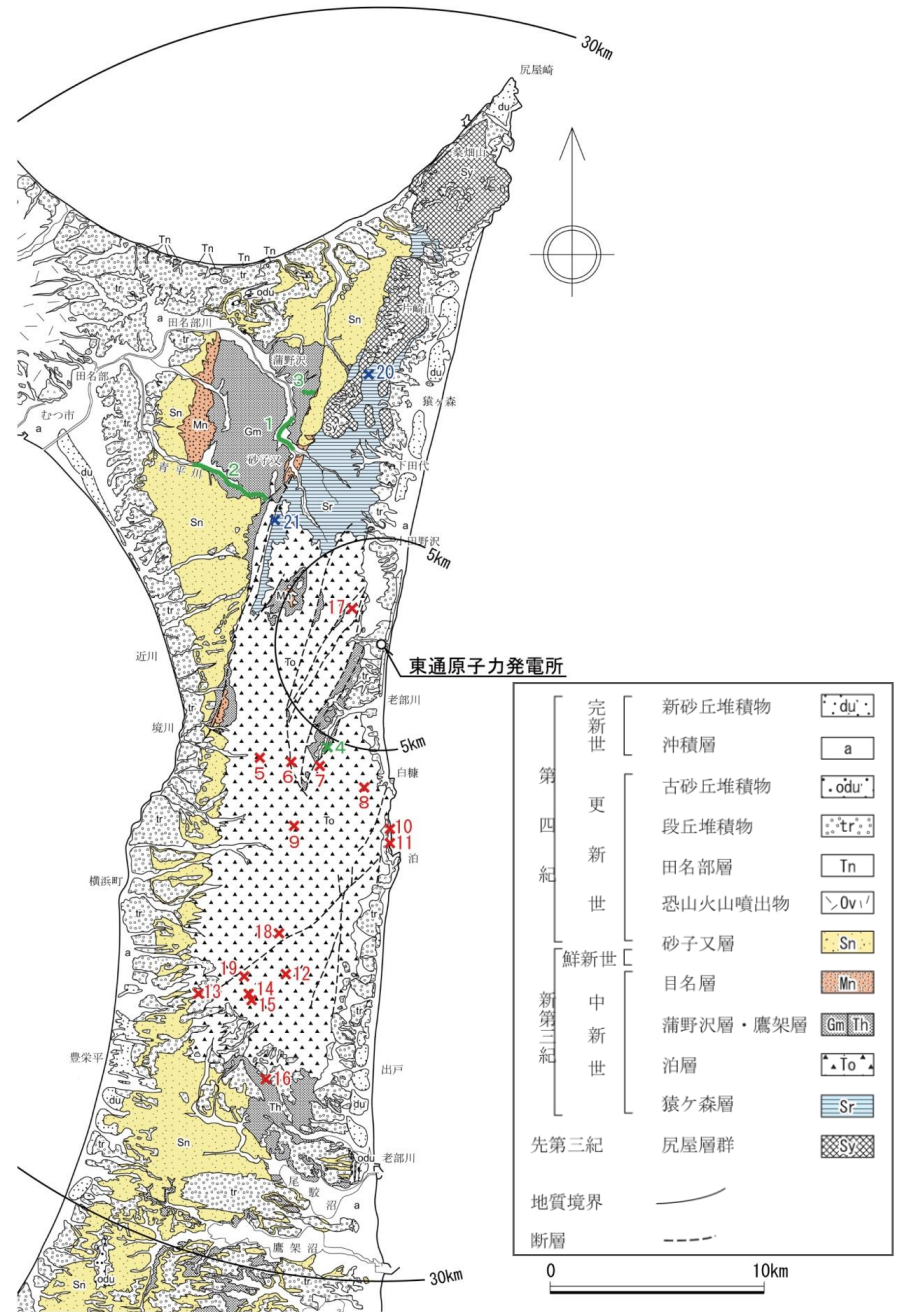
➤ せん断面③のSEM観察の結果、纖維状の自形のセピオライトが生成している様子が見られ、破碎を受けた組織は認められない。



5. 一切山東方断層の破碎部詳細性状

猿ヶ森層、泊層及び蒲野沢層の堆積年代

- 敷地近傍陸域及び敷地に分布する主要な地層である猿ヶ森層、泊層及び蒲野沢層について、敷地周辺陸域において堆積年代に関するデータが得られている。
- 猿ヶ森層からは台島型植物群に属する植物化石が産出し、本層最上部から *Crucidenticula kanayae* zone (16.9 Ma ~ 16.3 Ma) に対比される珪藻化石群集が産出する。
- 泊層からは約 15.2 Ma ~ 約 12.7 Ma の K-Ar 年代が得られており、本層下部から *Denticulopsis praelauta* zone (16.3 Ma ~ 15.9 Ma) 及び *Denticulopsis lauta* zone (15.9 Ma ~ 14.9 Ma) に対比される珪藻化石群集が産出する。
- 蒲野沢層からは *D. lauta* zone (15.9 Ma ~ 14.9 Ma) ~ *Thalassiosira yabei* zone (11.5 Ma ~ 10.0 Ma) に対比される珪藻化石群集が産出する。



敷地周辺陸域の堆積年代データ

	分析結果・測定結果	出典
蒲野沢層	1 硅藻化石帶 <i>Denticulopsis lauta</i> Zone (15.9~14.9 Ma※) ～ <i>Denticulopsis praedimorpha</i> Zone (12.9~11.5 Ma※)	秋葉・平松(1988)
	2 硅藻化石帶 <i>Denticulopsis lauta</i> Zone (15.9~14.9 Ma※) ～ <i>Thalassiosira yabei</i> Zone (11.5~10.0 Ma※)	
	3 硅藻化石帶 <i>Denticulopsis lauta</i> Zone (15.9~14.9 Ma※) ～ <i>Denticulopsis praedimorpha</i> Zone (12.9~11.5 Ma※)	事業者調査結果
	4 硅藻化石帶 <i>Denticulopsis lauta</i> Zone (15.9~14.9 Ma※)	
泊層	5 K-Ar 年代(斜長石) 14.6±0.9 Ma	watanabe et al. (1993)
	6 K-Ar 年代(斜長石) 12.8±1.0 Ma	
	7 K-Ar 年代(全岩) 14.5±0.4 Ma	
	8 K-Ar 年代(全岩) 13.7±0.9 Ma	
	9 K-Ar 年代(全岩) 15.2±0.5 Ma	
	10 K-Ar 年代(全岩) 13.2±0.6 Ma	
	11 K-Ar 年代(全岩) 13.0±0.6 Ma	
	12 K-Ar 年代(全岩) 14.6±0.5 Ma	
	13 K-Ar 年代(全岩) 13.9±0.5 Ma	
	14 K-Ar 年代(全岩) 13.6±0.5 Ma	
	15 K-Ar 年代(全岩) 13.1±0.7 Ma	
	16 K-Ar 年代(全岩) 14.5±0.9 Ma	
	17 K-Ar 年代(斜長石) 12.7±0.6 Ma	
	18 硅藻化石帶 <i>Denticulopsis praelauta</i> Zone (16.3~15.9 Ma※)	事業者調査結果
	19 硅藻化石帶 <i>Denticulopsis lauta</i> Zone (15.9~14.9 Ma※)	
猿ヶ森層	20 台島型植物群 (前期中新世後半～中期中新世初頭※※)	棚井(1955)
	21 硅藻化石帶 <i>Crucidenticula kanayae</i> Zone (16.9~16.3 Ma※)	事業者調査結果

※年代は、Yanagisawa・Akiba(1998)による。

※※年代は、地学団体研究会編(1996)による。

~~~~ 蒲野沢層の年代試料採取箇所  
 ✕ 泊層の年代試料採取箇所  
 ✕ 猿ヶ森層の年代試料採取箇所

# 高角度の変質鉱物脈のK-Ar年代測定結果

▶ 高角度の変質鉱物脈中には自形の鉱物が生成しており、K-Ar年代はいずれの試料も概ね10Maの値を示す。

年代測定結果

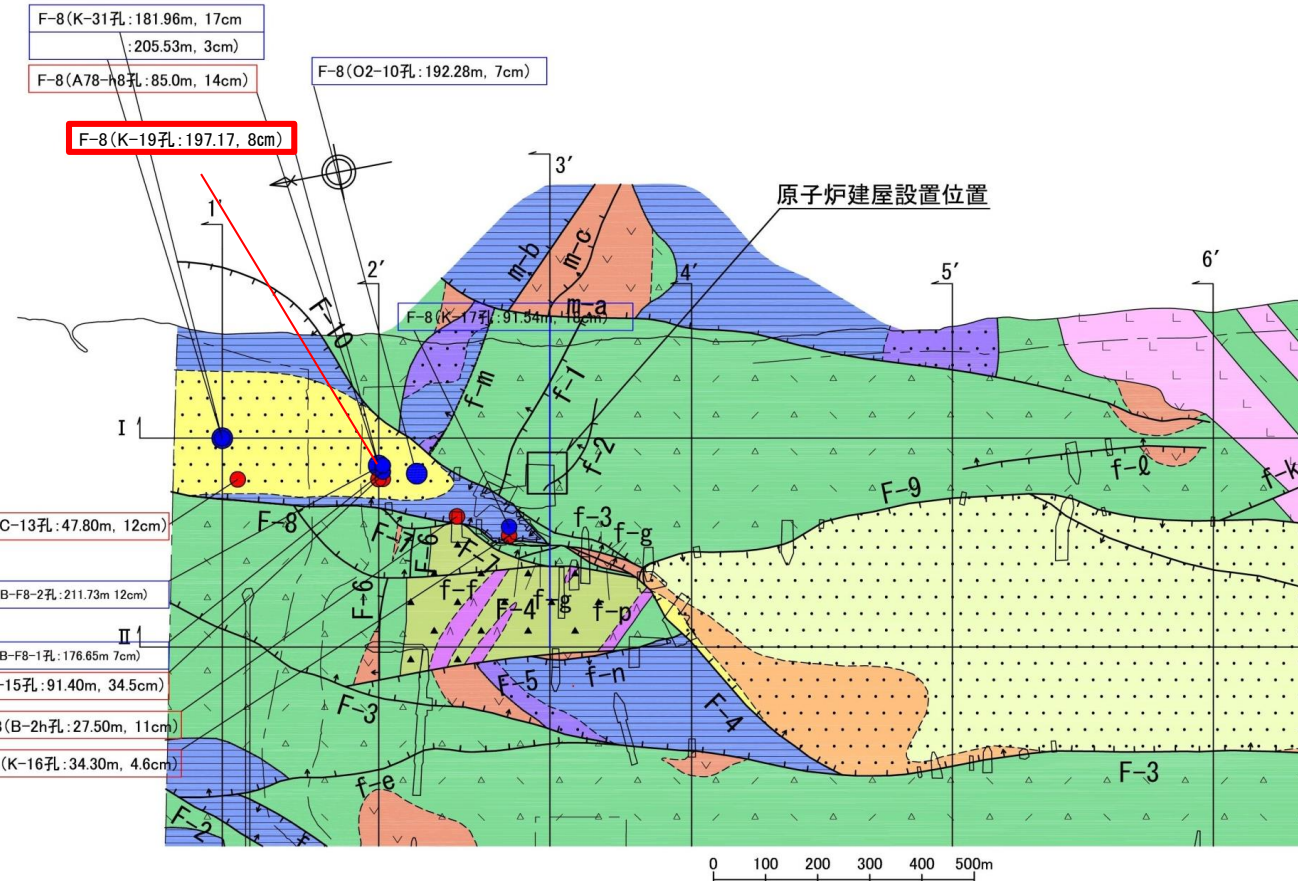
| 試料番号 | 測定鉱物<br>(粒径)                                  | カリウム含有量<br>(N=2)<br>(wt.%) | 放射性起源 <sup>40</sup> Ar<br>(10 <sup>-8</sup> cc STP/g) | K-Ar年代<br>(Ma) | 非放射性起源 <sup>40</sup> Ar<br>(%) |
|------|-----------------------------------------------|----------------------------|-------------------------------------------------------|----------------|--------------------------------|
| V-e1 | セラドナイト<br>(0.2-2 μm)                          | 3.386 ± 0.068              | 134.8 ± 4.5                                           | 10.23 ± 0.39   | 62.7                           |
| V-e2 | セラドナイト<br>(0.2-2 μm)                          | 4.410 ± 0.088              | 161.2 ± 4.0                                           | 9.40 ± 0.30    | 52.5                           |
| V-c  | セラドナイト<br>(0.2-2 μm)                          | 2.487 ± 0.050              | 106.1 ± 4.3                                           | 10.96 ± 0.49   | 68.2                           |
| V-1  | スメクタイト<br>セピオライト<br>雲母鉱物<br>斜長石<br>(0.2-2 μm) | 2.220 ± 0.044              | 91.1 ± 6.7                                            | 10.54 ± 0.80   | 81.2                           |

## [年代値について]

- ▶ 東北日本の新第三系の熱水変質起源のセラドナイトのK-Ar年代から、約14.8Ma～4.9Maの年代値が得られている。(植田・鈴木, 1973)
- ▶ 青函トンネル掘削時に新第三紀系中新統の断層を埋めて産出したセピオライトの報告事例がある。(Sakamoto et. al., 1980)
- ▶ 泊層の安山岩溶岩の K-Ar年代測定結果から、約15Ma～13Maの年代値が得られている。(Watanabe et al., 1993)
  - ⇒ 高角度の変質鉱物脈は、泊層中に認められる。自生鉱物のK-Ar年代値は泊層より若い年代を示しており、既存の報告とも整合しており、10Ma前後の熱水変質によって形成されたと考えられる。

# セピオライトのK-Ar年代測定結果(F-8断層)

- F-8断層の破碎部は、f-1断層の破碎部と同様にセピオライトが形成されている。F-8断層の破碎部は、軟質なガウジを伴わず、固結・岩石化している。
- 本孔におけるセピオライトのK-Ar法による年代は、 $11.6 \pm 1.0$  Maの値が得られている。



## セピオライトのK-Ar年代測定結果(F-8断層:薄片, EDS分析結果)

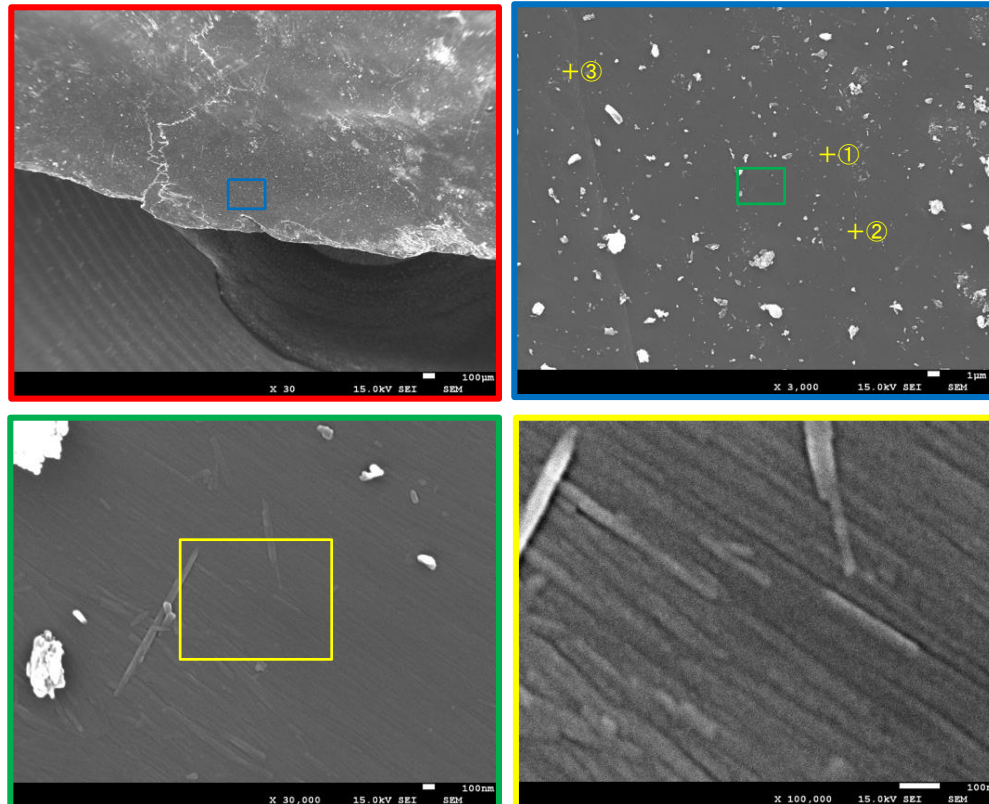
- 年代測定を行った断層破碎部のEDS定量分析を行った。
- EDS定量分析値は、セピオライトの値と概ね一致している。
- SEM観察から纖維状の自生鉱物が見られた。



研磨片

薄片写真  
(左:オープン, 右:クロス)顕微鏡写真  
(左:オープン, 右:クロス)

EDS定量分析試料



試料のSEM像とEDS定量分析箇所

+ 分析個所

EDS定量分析結果

| 化合物                            | ①     | ②      | ③      | セピオライト文献値(1) | セピオライト文献値(2) |
|--------------------------------|-------|--------|--------|--------------|--------------|
| SiO <sub>2</sub>               | 62.74 | 63.76  | 64.12  | 52.17        | 54.56        |
| TiO <sub>2</sub>               | 0.00  | 0.00   | 0.00   | 0.20         | -            |
| Al <sub>2</sub> O <sub>3</sub> | 0.50  | 0.49   | 0.33   | 1.47         | 0.99         |
| Fe <sub>2</sub> O <sub>3</sub> | -     | -      | -      | 8.16         | 1.56         |
| FeO                            | 10.89 | 10.75  | 11.52  | 1.43         | 0.88         |
| MgO                            | 19.97 | 19.92  | 19.94  | 18.28        | 21.72        |
| CaO                            | 0.14  | 0.00   | 0.00   | 0.11         | 3.02         |
| Na <sub>2</sub> O              | 4.85  | 4.28   | 3.21   | 0.12         | 0.01         |
| MnO                            | 0.75  | 0.61   | 0.72   | 0.09         | -            |
| K <sub>2</sub> O               | 0.15  | 0.19   | 0.16   | 0.15         | 0.02         |
| H <sub>2</sub> O(+)            | -     | -      | -      | 9.38         | 9.23         |
| H <sub>2</sub> O(-)            | -     | -      | -      | 8.29         | 7.92         |
| Total                          | 99.99 | 100.00 | 100.00 | 99.85        | 99.91        |

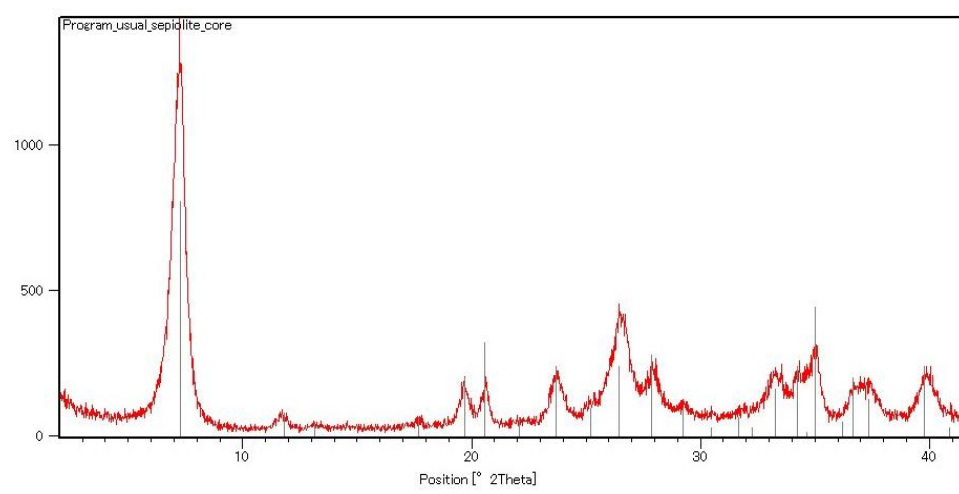
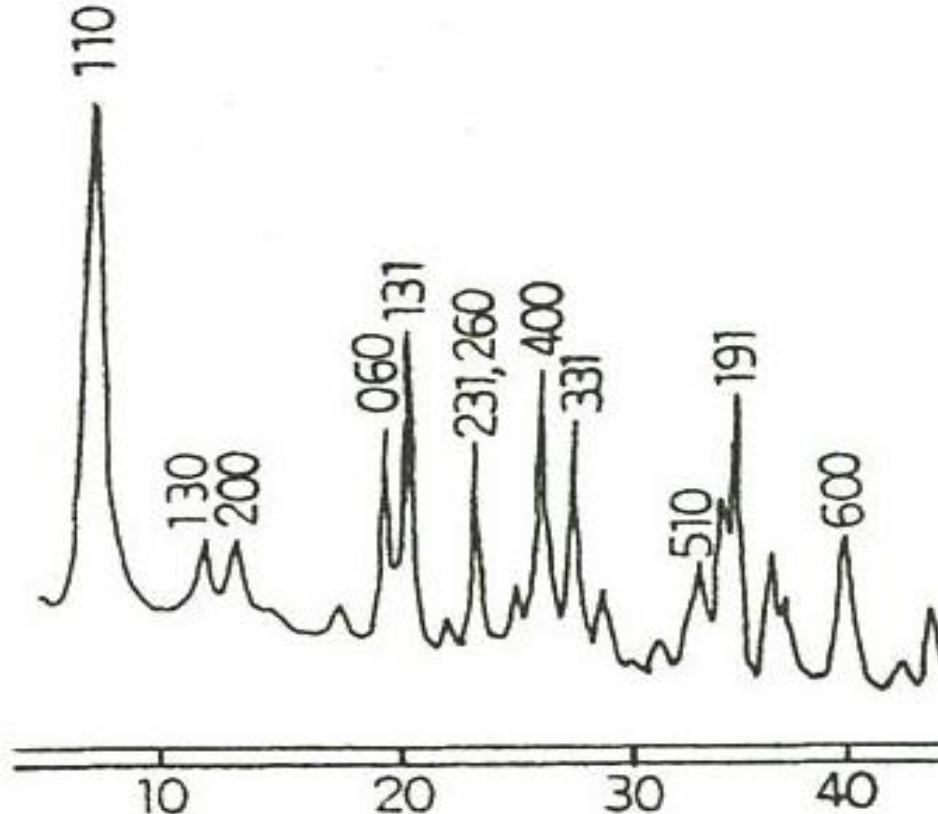
文献値(1): 青函トンネル産 Fe-セピオライト (Sakamoto et. al., 1980)

文献値(2): 新潟県赤谷鉱山産セピオライト (Imai et. al., 1967)

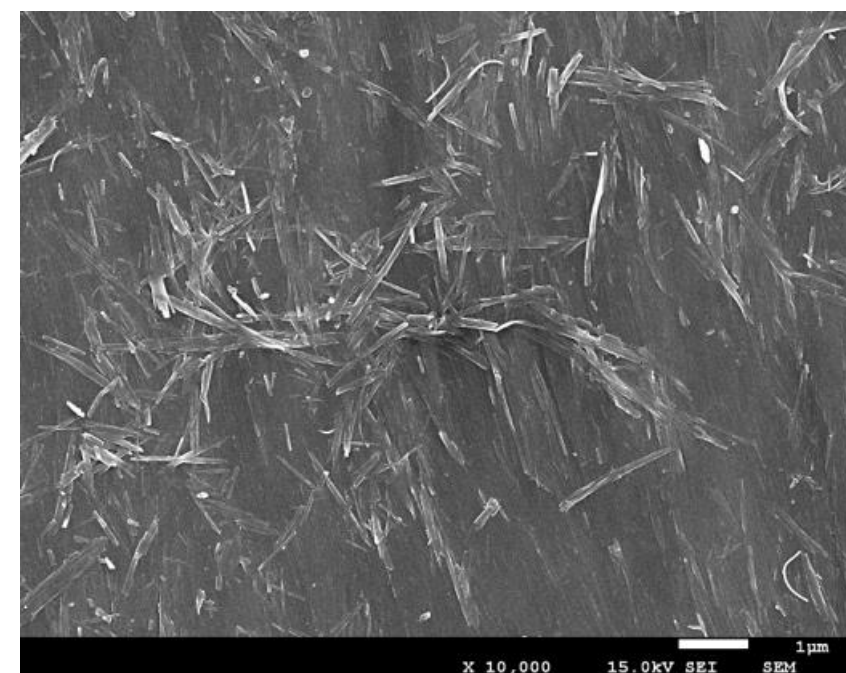
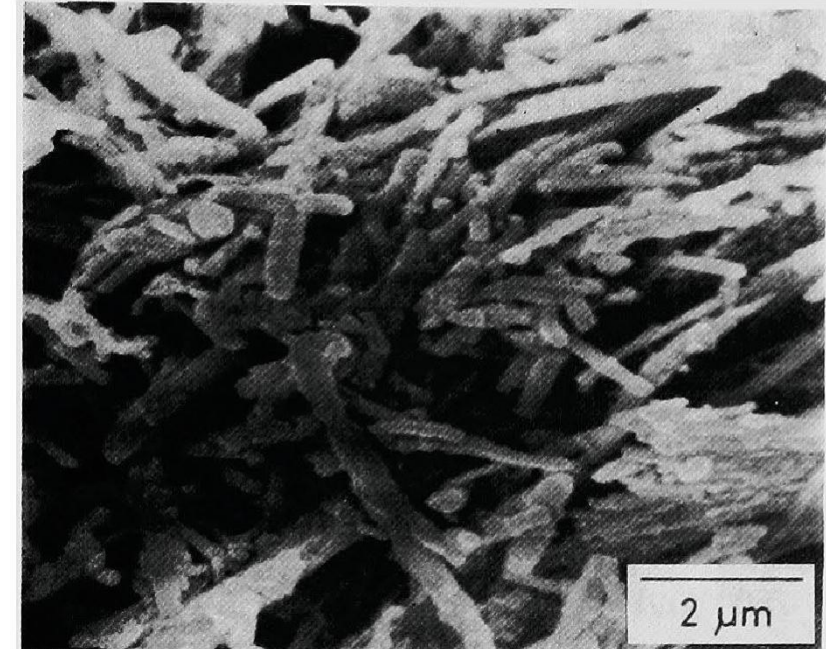
(単位:w%)

# セピオライトのK-Ar年代測定結果(F-8断層:セピオライトについて)

- 栃木県葛生で産出するセピオライト(今井, 1966)と敷地で見られるセピオライトのX線チャートと比較し、それぞれ同様のプロファイルを示すことを確認した。
- 青函トンネルで産出したセピオライトのSEM像(Sakamoto et.al., 1980)と比較し、類似した形態であることを確認した。



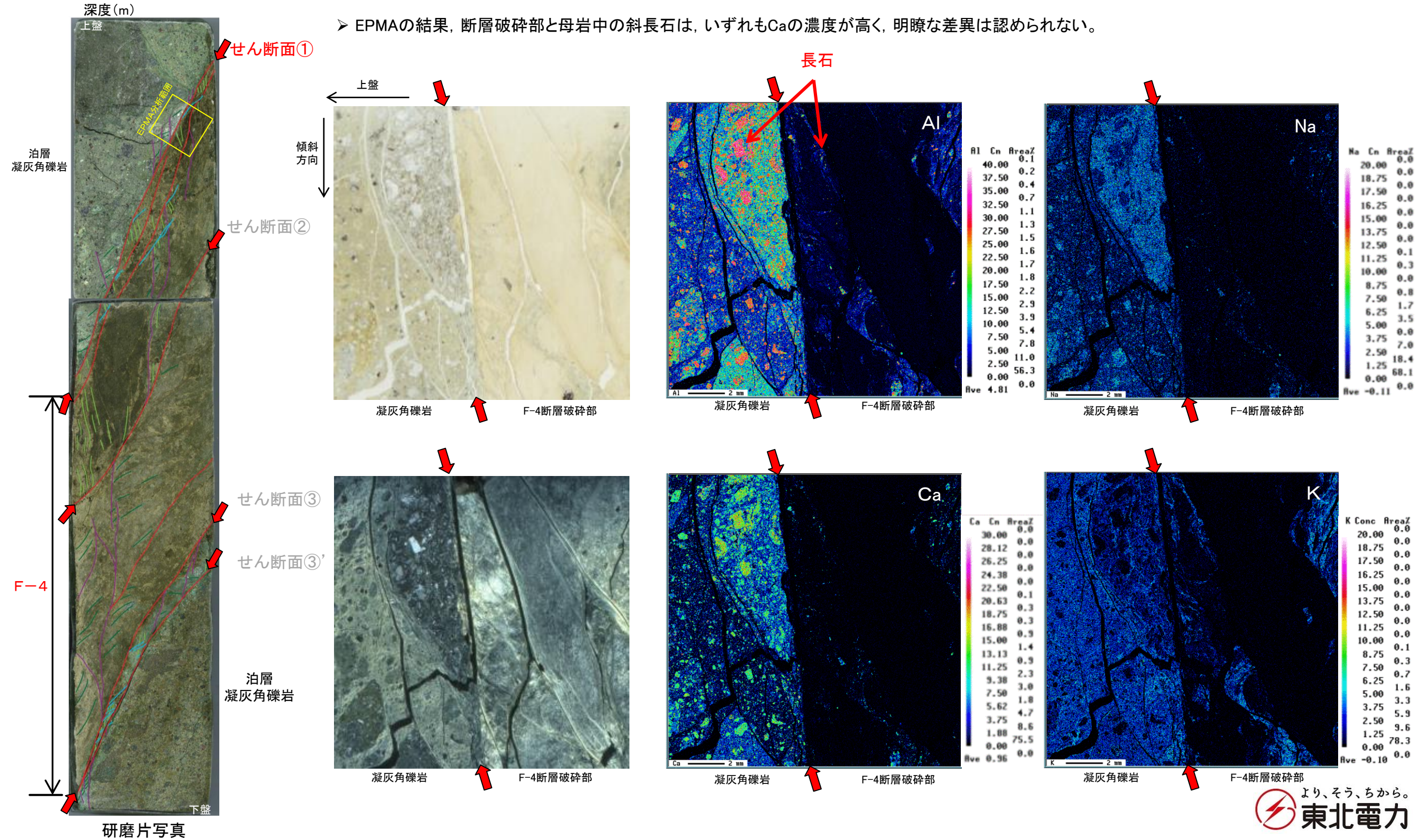
(上) 栃木県葛生で産出するセピオライトのX線チャート(今井, 1966)  
(下) 東通敷地内(F-8断層破碎部)のX線チャート



(上写真) 青函トンネル産セピオライトのSEM像(Sakamoto. et. al., 1980)  
(下写真) 東通敷地内(F-8断層破碎部)セピオライトのSEM像

## セピオライトの形成条件について

- 熱水によるセピオライト化について検討するため、F-4断層破碎部と母岩の泊層凝灰角礫岩における、長石類のEPMA分析を行い、斜長石の热水変質によるアルバイト化の有無に関する検討を行った。
- 斜長石は変質・变成作用によりCaを放出してNaを取り込むことによってアルバイト化(曹長石化)することが知られている。
- EPMAの結果、断層破碎部と母岩中の斜長石は、いずれもCaの濃度が高く、明瞭な差異は認められない。



# セピオライトの形成条件について

- ▶ 断層破碎部と母岩はいずれもアノーサイト(灰長石)の成分に富むことから、斜長石はセピオライト化した熱水の影響でアルバイト化(曹長石化)していないと考えられる。  
 ⇒セピオライトは、アルバイト化するような高温の熱水で生成したものではないと考えられる。

